

JAERI-M  
8468

有限要素法による燃料ペレットの  
照射挙動解析プログラム

1979年9月

山田 禮司・原山 泰雄・石橋 明弘\*・小野 正夫\*

日本原子力研究所  
Japan Atomic Energy Research Institute

この報告書は、日本原子力研究所が JAERI-M レポートとして、不定期に刊行している研究報告書です。入手、複製などのお問い合わせは、日本原子力研究所技術情報部（茨城県那珂郡東海村）あて、お申しこしください。

JAERI-M reports, issued irregularly, describe the results of research works carried out in JAERI. Inquiries about the availability of reports and their reproduction should be addressed to Division of Technical Information, Japan Atomic Energy Research Institute, Tokai-mura, Naka-gun, Ibaraki-ken, Japan.

有限要素法による燃料ペレットの照射挙動解析プログラム

日本原子力研究所東海研究所安全工学部

山田 礼司<sup>+</sup>・原山 泰雄・石橋 明弘<sup>\*</sup>・小野 正夫<sup>\*</sup>

(1979年9月6日受理)

燃料の安全性を評価するためには、燃料棒の照射による局所的な変化を理解しておく必要がある。燃料の局所的な変化の原因の大部分は、燃料ペレットの照射による変化に起因している。これらの変化を理解する手段として有限要素法に基づいた弾塑性解析プログラムを作成した。

プログラムはペレットのクラックの解析に重点をおいて作成された。プログラムの現段階ではペレットと被覆管の機械的相互作用は考慮していない。

プログラムは、 $r-z$ 体系の二次元軸対称モデルに基づく解析プログラムFEMF3と $r-\theta$ 体系の平面モデルによる解析プログラムFREB4の二種を作成した。

これらのプログラムを用い、燃料ペレットのクラックがその出力の変化によってどのように変化するかについて考察を加えた。

---

+ ) 現在、核融合研究部

\* ) センチュリ リサーチ センター

JAERI-M 8468

Finite Element Method Programs to Analyze Irradiation  
Behavior of Fuel Pellets.

Rayji YAMADA<sup>†</sup>, Yasuo HARAYAMA,  
Akihiro ISHIBASHI<sup>\*</sup> and Masao ONO<sup>\*</sup>.

Division of Reactor Safety, Tokai Research Establishment, JAERI.

(Received September 6, 1979)

For the safety assessment of reactor fuel, it is important to grasp local changes of fuel pins due to irradiation in a reactor. Such changes of fuel result mostly from irradiation of fuel pellets. Elasto-plastic analysis programs based on the finite element method were developed to analyze these local changes. In the programs, emphasis is placed on the analysis of cracks in pellets; the interaction between cracked-pellets and cladding is not taken into consideration.

The two programs developed are FEMF3 based on a two-dimensional axially symmetric model ( $r$ - $z$  system) and FREB4 on a two-dimensional plane model ( $r$ - $\theta$  system). It is discussed in this report how the occurrence and distribution of cracks depend on heat rate of the fuel pin.

Keywords: Fuel Pellet, Crack, Finite Element Method, Program,  
Local Changes, 2-Dimensional Model, Plane Stress and  
Strain, Elasto-Plastic Analysis, Irradiation Effects.

---

<sup>†</sup>Present address: Division of Thermonuclear Fusion Research,  
Tokai, JAERI.

<sup>\*</sup>CRC Co. Ltd., Tokyo, Japan.

## 目 次

1. 概 要 .....	1
2. 解 析 法 .....	2
2.1 熱伝導解析 .....	2
2.2 弾塑性解析 .....	4
2.3 クラックおよびクラックヒーリングモデル .....	8
2.4 クリープおよび歪硬化率 $H'$ の取扱い .....	10
3. プログラム概説 .....	11
3.1 タイムステップ決定法およびブロックダイヤグラム .....	11
3.2 サブプログラム概説およびプログラムの使用条件 .....	11
3.3 データ入力法 .....	11
4. サンプル問題による燃料ペレットクラックの解析結果 .....	20
参考文献 .....	58
Appendix - A プログラム組込み物性値 .....	59
Appendix - B データ入力法 .....	65
Appendix - C プログラムリスト ( <u>マイクロフィッシュ</u> ) .....	77
C.1 FEMF3 プログラムリスト	
C.2 FREB4 プログラムリスト	
C.3 PLOTF プログラムリスト	
Appendix - D サンプルアウトプット ( <u>マイクロフィッシュ</u> )	
D.1 FEMF3のサンプルアウトプット	
D.2 FREB4のサンプルアウトプット	

## C o n t e n t s

1. Introduction .....	1
2. Analytical method .....	2
2.1 Heat conductivity analysis .....	2
2.2 Elasto-plasticity analysis .....	4
2.3 Modeling of pellet crack and crack healing .....	8
2.4 Creep strain and strain hardening coefficient $H'$ .....	10
3. Description of programs .....	11
3.1 Time step determination and block diagram .....	11
3.2 Explanation of subprogram and remarks for usage of program .....	11
3.3 Data inputing .....	11
4. Calculation results of pellet cracks for a sample problem .....	20
References .....	58
Appendix - A Material properties used in programs .....	59
Appendix - B Inputing data .....	65
Appendix - C Listing of programs (Microfiches) .....	77
C.1 Listing of program FEMF3	
C.2 Listing of program FREB4	
C.3 Listing of program PLOTF	
Appendix - D Output lists of the sample problems (Microfiches)	
D.1 Sample output of FEMF3	
D.2 Sample output of FREB4	

## 1. 概 要

燃料の安全性を評価するためには、燃料棒の照射による局所的な変化を理解しておくことが必要である。この局所的な変化の原因の大部分は燃料ペレットの照射による変化に起因している。このような燃料ペレットの燃料出力による照射挙動をシュミレートするプログラムの開発が望まれた。出力に応じた燃料ペレットの局所的な挙動をシュミレートするには、弾塑性解析を基にした有限要素法は非常に有効な手段である。

そこで、有限要素法による二種類のプログラムを作成した。一つは、二次元軸対称モデルによるプログラムFEMF3であり、他の一つは二次元平面モデル(平面応力場)としたプログラムFREB4である。これらのプログラムは弾性、塑性、熱膨張およびクリープによる燃料の応力および歪を計算する。そのさい、計算に必要な燃料ペレットの発熱による燃料内の温度についても、有限要素法を用いた熱伝導解析によって求める。

これらのプログラムの特長は、燃料ペレットのクラックとクラックのヒーリングを扱うことが可能なことである。しかし、燃料ペレット-被覆管の間の接触問題は、プログラムの現段階では扱えない。また、計算対象を有限要素に分割する自動メッシュ分割機能がプログラムに組込まれ、入力データの簡素化が計られている。さらに、プログラムの使用適用範囲を軽水炉の燃料棒に限定し、計算上必要な燃料ペレットおよび被覆管の物性値はすべてプログラムに内蔵している。なお、これら物性値は両プログラムを通じ同一である。

使用する要素は三角形要素を基本にしている。FEMF3は三角形リング要素である。FREB4は三角形要素のほかに四角形要素をも使用可能である。

有限要素法による計算結果は、そのままでは読みにくい。計算結果を見やすくするためには、図化することが望ましい。そこで、作成した二つのプログラムについての計算結果を処理しプロッターで出力する専用のプログラムPLOT Fが作成された。

この報告書は、作成したプログラムの基礎になっている解析方法、プログラム内容の概要とサンプル問題とその出力を記述した。サンプル問題とその計算結果については、PLOT Fによって結果を出力し、ペレット内の応力の変化について考察を加えた。特に、ペレットのクラックが、出力および照射履歴によってどのような変化をするかを追ってみた。その結果、しばしば、燃料棒の照射後試験に見られるパイナップル状クラック分布が出来る過程についての情報がえられた。

## 2. 解 析 法

## 2.1 熱伝導解析

熱伝導解析には、定常熱伝導方程式を使用した<sup>1)</sup>。基礎方程式は、

$$\frac{\partial}{\partial r} \left( k r_B \frac{\partial T}{\partial r} \right) + \frac{\partial}{\partial z} \left( k r_B \frac{\partial T}{\partial z} \right) - r_B Q = 0 \quad (2.1.1)$$

であり、境界条件として膜熱伝導率を用いた次の条件

$$k \left( \frac{\partial T}{\partial n} \right)_s = -h (T_s - T_0) + q \quad (2.1.2)$$

を用いる。但し、(2.1.1)式に於いて軸対称モデル(FEMF3)の時  $r_B = r$ 、平面モデル(FREB4)の時  $r = x$ ,  $z = y$ ,  $r_B = 1$  である。ここで、 $T$ ; 温度( $^{\circ}\text{C}$ ),  $k$ ; 熱伝導率( $\text{W}/\text{cm}^{\circ}\text{C}$ ),  $Q$ ; 出力密度( $\text{W}/\text{cm}^3$ ),  $h$ ; 熱伝達率( $\text{W}/\text{cm}^2\text{ }^{\circ}\text{C}$ ),  $T_s$ ; 表面温度( $^{\circ}\text{C}$ ),  $T_0$ ; 外部温度( $^{\circ}\text{C}$ ),  $q$ ; 境界での単位面積当りの熱流入量( $\text{W}/\text{cm}^2$ ),  $n$ ; 境界での単位法線ベクトルである。

(2.1.1)および(2.1.2)を満たす汎関数 $X$ は

$$X = \int_V \frac{1}{2} \left[ \left\{ k r_B \left( \frac{\partial T}{\partial r} \right)^2 + k r_B \left( \frac{\partial T}{\partial z} \right)^2 \right\} - r_B Q T \right] dV \\ + \int_S r_B q T ds + \int_S \frac{1}{2} h r_B (T_s - T_0)^2 ds \quad (2.1.3)$$

である。いま、節点数  $n$  より構成される要素があり各節点の温度を  $T_i$  ( $i=1 \sim n$ )、形状関数を  $N_i$  ( $i=1 \sim n$ ) とすれば要素内の任意の点の温度は、

$$T(r, z) = \sum_{i=1}^n N_i T_i \quad (2.1.4)$$

で表わされる。(以下、FREB4の時  $r = x$ ,  $z = y$  とおく。)形状関数  $N_i$  は<sup>2)</sup> 三角形要素のとき要素の節点番号を  $i, j, k$  とし、その座標を  $(r_i, z_i)$ ,  $(r_j, z_j)$ ,  $(r_k, z_k)$  とすると、

$$N_i = a_i + b_i r + c_i z, \quad a_i = r_j z_k - r_k z_j, \quad b_i = z_j - z_k, \quad c_i = r_k - r_j \quad (2.1.5)$$

で与えられる。(  $N_j, N_k$  は、添字  $i, j, k$  を循環的に置換して得られる。)四角形要素の時、形状関数  $N_i$  はあらわに全体座標  $(r, z)$  で表わせないので局所座標系で表わす。すなわち、要素の図心を原点とし、四辺形の辺上で  $\xi, \eta$  が  $\pm 1$  となるような局所座標  $(\xi, \eta)$  とする。四角形要素の節点番号を  $i, j, k, l$  とし、その局所座標を  $(-1, -1)$ ,  $(1, -1)$ ,  $(1, 1)$ ,  $(-1, 1)$  とすると、形状関数  $N_i$  は

$$\left. \begin{aligned} N_i &= 0.25 \times (1-\xi)(1-\eta), & N_j &= 0.25 \times (1+\xi)(1-\eta) \\ N_k &= 0.25 \times (1+\xi)(1+\eta), & N_l &= 0.25 \times (1-\xi)(1+\eta) \end{aligned} \right\} \quad (2.1.6)$$



となる。

汎関数  $X$  を表す (2.1.3) 式を最小化することにより得られる方程式は、

$$\frac{\partial X^e}{\partial \{T\}^e} = [H]^e \{T\}^e - \{F\}^e = 0 \quad (2.1.7)$$

である。(添字  $e$  は要素を意味する。) また、(2.1.7) 式におけるマトリックス及びベクトルの成分は、

$$H_{ij} = \iint \left\{ k \frac{\partial N_i}{\partial r} \frac{\partial N_j}{\partial r} + k \frac{\partial N_i}{\partial z} \frac{\partial N_j}{\partial z} \right\} r_B dr dz + \int h N_i \{N\} r_B ds \quad (2.1.8)$$

$$F_i = \iint Q N_i r_B dr dz + \int h N_i T_0 r_B ds \quad (2.1.9)$$

である。(2.1.7) 式をすべての要素について求め、その総和を求めれば、次の連立一次方程式を得る。

$$[H] \{T\} = \{F\} \quad (2.1.10)$$

(2.1.10) 式を解けば求める温度  $\{T\}$  を得る。

ギャップ熱伝達の影響は、(2.1.10) 式の  $[H]$  を次のように修正する。Fig. 2.1 に示すように、 $g_1, g_2, g_3, g_4$  をギャップを構成する節点、 $g_1$  と  $g_2$  の距離を  $l_{12}$ 、 $g_3$  と  $g_4$  の距離を  $l_{34}$  としたとき、 $L = 0.5 \times (l_{12} + l_{34})$  とし、ギャップマトリックスを次のように定義する。<sup>3)</sup>

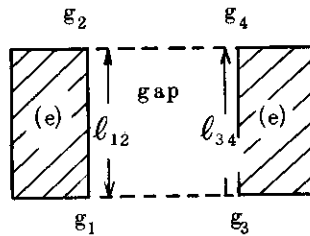


Fig. 2.1 Gap Element

$$\begin{bmatrix} \frac{1}{3} & \frac{1}{6} & -\frac{1}{3} & -\frac{1}{6} \\ & \frac{1}{3} & -\frac{1}{6} & -\frac{1}{3} \\ \text{Sym.} & & \frac{1}{3} & \frac{1}{6} \\ & & & \frac{1}{3} \end{bmatrix} \times h_g \times \bar{r} \times L \quad (2.1.11)$$

(2.1.11) 式を (2.1.10) 式の  $[H]$  に加え込むことにより、ギャップ熱伝達を扱う。但し、 $h_g$  はギャップ熱伝達率であり、平面問題の時  $\bar{r} = 1$ 、軸対称問題の時  $\bar{r}$  は  $g_1, g_2, g_3, g_4$  の図心の  $r$  座標である。なお、熱伝導解析に於て、FEMF3, FREB4 両コードとも物性

値が温度依存であるため収束計算を行ない、より正解な解を求めている。

## 2.2 弾塑性解析

FEMF3, FREB4ともに増分型手法で解析する<sup>4)</sup>。全歪増分  $\{\Delta \varepsilon\}$  は、

$$\{\Delta \varepsilon\} = \{\Delta \varepsilon^e\} + \{\Delta \varepsilon^\theta\} + \{\Delta \varepsilon^c\} + \{\Delta \varepsilon^p\} \quad (2.2.1)$$

で与えられるとする。但し、 $\{\Delta \varepsilon^e\}$ ；弾性歪増分， $\{\Delta \varepsilon^\theta\}$ ；熱歪増分， $\{\Delta \varepsilon^c\}$ ；クリープ歪増分， $\{\Delta \varepsilon^p\}$ ；塑性歪増分である。(2.2.1)式に弾性応力マトリックス  $[D^e]$  を乗ずれば、

$$\begin{aligned} [D^e] \{\Delta \varepsilon\} &= [D^e] \{\Delta \varepsilon^e\} + [D^e] (\{\Delta \varepsilon^\theta\} + \{\Delta \varepsilon^c\} + \{\Delta \varepsilon^p\}) \\ &= \{\Delta \sigma\} + [D^e] (\{\Delta \varepsilon^\theta\} + \{\Delta \varepsilon^c\} + \{\Delta \varepsilon^p\}) \end{aligned}$$

したがって、

$$\{\Delta \sigma\} = [D^e] \{\Delta \varepsilon\} - [D^e] (\{\Delta \varepsilon^\theta\} + \{\Delta \varepsilon^c\} + \{\Delta \varepsilon^p\}) \quad (2.2.2)$$

ここで、降伏条件を  $f$  とした時塑性歪増分は  $H'$  を比例定数とすると、Reuss の式より

$$\{\Delta \varepsilon^p\} = \frac{1}{H'} \left\{ \frac{\partial f}{\partial \sigma} \right\} \Delta f \quad (2.2.3)$$

である。ここで、 $\Delta f$  は

$$\Delta f = \left\{ \frac{\partial f}{\partial \sigma} \right\}^T \{\Delta \sigma\} \quad (2.2.4)$$

で与えられる。(Tは転置行列を表わし、比例定数  $H'$  は歪硬化率を表わす。)(2.2.2)と(2.2.4)式より、

$$\begin{aligned} \Delta f &= \left\{ \frac{\partial f}{\partial \sigma} \right\}^T ([D^e] \{\Delta \varepsilon\} - [D^e] \{\Delta \varepsilon^\theta\} - [D^e] \{\Delta \varepsilon^c\}) \\ &\quad - \left\{ \frac{\partial f}{\partial \sigma} \right\}^T [D^e] \frac{1}{H'} \left\{ \frac{\partial f}{\partial \sigma} \right\} \Delta f \end{aligned}$$

がえられ、これを  $\Delta f/H'$  について解けば

$$\frac{\Delta f}{H'} = \frac{\left\{ \frac{\partial f}{\partial \sigma} \right\}^T ([D^e] \{\Delta \varepsilon\} - [D^e] \{\Delta \varepsilon^\theta\} - [D^e] \{\Delta \varepsilon^c\})}{H' + \left\{ \frac{\partial f}{\partial \sigma} \right\}^T [D^e] \left\{ \frac{\partial f}{\partial \sigma} \right\}} \quad (2.2.5)$$

となる。

(2.2.3)，(2.2.5)式より、(2.2.2)式は次のように表わせる。

$$\{\Delta \sigma\} = \left( [D^e] - \frac{[D^e] \left\{ \frac{\partial f}{\partial \sigma} \right\} \left\{ \frac{\partial f}{\partial \sigma} \right\}^T [D^e]}{H' + \left\{ \frac{\partial f}{\partial \sigma} \right\}^T [D^e] \left\{ \frac{\partial f}{\partial \sigma} \right\}} \right) (\{\Delta \varepsilon\} - \{\Delta \varepsilon^\theta\} - \{\Delta \varepsilon^c\}) \quad (2.2.6)$$

(2.2.6)式で

$$[D^p] = [D^e] - \frac{[D^e] \left\{ \frac{\partial f}{\partial \sigma} \right\} \left\{ \frac{\partial f}{\partial \sigma} \right\}^T [D^e]}{H' + \left\{ \frac{\partial f}{\partial \sigma} \right\}^T [D^e] \left\{ \frac{\partial f}{\partial \sigma} \right\}} \quad (2.2.7)$$

とおけば

$$\{ \Delta \sigma \} = [D^p] (\{ \Delta \varepsilon \} - \{ \Delta \varepsilon^0 \} - \{ \Delta \varepsilon^e \}) \quad (2.2.8)$$

となる。Misesの降伏条件  $f$  は

$$f = \left[ \frac{1}{2} \{ (\sigma_z - \sigma_r)^2 + (\sigma_r - \sigma_\theta)^2 + (\sigma_\theta - \sigma_z)^2 + 6\tau_{rz}^2 \} \right]^{\frac{1}{2}} = \sigma_e \quad (2.2.9)$$

で与えられる。平面応力場の問題では、(2.2.9)式に於て  $\sigma_z = 0$ ,  $\sigma_r = \sigma_x$ ,  $\sigma_\theta = \sigma_y$ ,  $\tau_{rz} = \tau_{xy}$  とすることにより次式をうる

$$f = (\sigma_x^2 - \sigma_x \sigma_y + \sigma_y^2 + 3\tau_{xy}^2)^{\frac{1}{2}} = \sigma_e \quad (2.2.10)$$

弾性応力マトリックス  $[D^e]$  に等方性を仮定すれば、軸対称問題のとき、

$$[D^e] = \frac{E(1-\nu)}{(1+\nu)(1-2\nu)} \begin{bmatrix} 1 & \frac{\nu}{1-\nu} & \frac{\nu}{1-\nu} & 0 \\ & 1 & \frac{\nu}{1-\nu} & 0 \\ \text{Sym.} & & 1 & 0 \\ & & & \frac{1-2\nu}{2(1-\nu)} \end{bmatrix} \quad (2.2.11)$$

である。平面応力問題のとき

$$[D^e] = \frac{E}{1-\nu^2} \begin{bmatrix} 1 & \nu & 0 \\ \nu & 1 & 0 \\ 0 & 0 & (1-\nu)/2 \end{bmatrix} \quad (2.2.12)$$

である。

但し、 $E$  はヤング率、 $\nu$  はポアソン比である。 $[D^p]$  マトリックスは(2.2.7), (2.2.9), (2.2.10), (2.2.11), (2.2.12)式より求めることができる。すなわち軸対称問題の時

$$[D^p] = [D^e] - \begin{bmatrix} S_1^2/S & S_1 S_2/S & S_1 S_3/S & S_1 S_6/S \\ & S_2^2/S & S_2 S_3/S & S_2 S_6/S \\ & & S_3^2/S & S_3 S_6/S \\ \text{Sym.} & & & S_6^2/S \end{bmatrix} \quad (2.2.13)$$

で与えられる。但し、

$$S = \frac{4}{9} \sigma_e^2 H' + S_1 \sigma_2' + S_2 \sigma_r' + S_3 \sigma_\theta' + 2S_6 \tau_{rz}'$$

$$S_1 = \frac{E(1-\nu)}{(1+\nu)(1-2\nu)} \sigma_z' + \frac{E\nu}{(1+\nu)(1-2\nu)} (\sigma_r' + \sigma_\theta')$$

$$S_2 = \frac{E(1-\nu)}{(1+\nu)(1-2\nu)} \sigma_r' + \frac{E\nu}{(1+\nu)(1-2\nu)} (\sigma_\theta' + \sigma_z')$$

$$S_3 = \frac{E(1-\nu)}{(1+\nu)(1-2\nu)} \sigma_\theta' + \frac{E\nu}{(1+\nu)(1-2\nu)} (\sigma_z' + \sigma_r')$$

$$S_6 = \frac{E}{1+\nu} \tau_{rz}'$$

$$\sigma_z' = (2\sigma_z - \sigma_r - \sigma_\theta)/3, \quad \sigma_r' = (2\sigma_r - \sigma_\theta - \sigma_z)/3$$

$$\sigma_\theta' = (2\sigma_\theta - \sigma_r - \sigma_z)/3, \quad \tau_{rz}' = \tau_{rz}$$

である。一方、平面応力場の〔D<sup>p</sup>〕マトリックスは

$$〔D^p〕 = 〔D^e〕 - \begin{bmatrix} S_1^2/S & S_1S_2/S & S_1S_6/S \\ \text{Sym.} & S_2^2/S & S_2S_6/S \\ & & S_6^2 \end{bmatrix} \quad (2.2.14)$$

である。

但し、

$$S = \frac{4}{9} \sigma_e^2 H' + S_1 \sigma_x' + S_2 \sigma_y' + 2S_6 \tau_{xy}'$$

$$S_1 = \frac{E}{1-\nu^2} \sigma_x' + \frac{\nu E}{1-\nu^2} \sigma_y', \quad S_2 = \frac{E}{1-\nu^2} \sigma_x' + \frac{\nu E}{1-\nu^2} \sigma_y'$$

$$S_6 = \frac{E}{1+\nu} \tau_{xy}', \quad \sigma_x' = (2\sigma_x - \sigma_y)/3, \quad \sigma_y' = (2\sigma_y - \sigma_x)/3,$$

$$\tau_{xy}' = \tau_{xy}$$

とする。弾性要素には(2.2.11)、(2.2.12)式を、塑性要素には(2.2.13)、(2.2.14)式をそれぞれ〔D〕として、FEMF3、FREB4に対して用いる。

解くべき剛性方程式は、

$$〔K〕\{\Delta U\} = \{\Delta F\} \quad (2.2.15)$$

である。ここで〔K〕は全体剛性マトリックスで、〔K〕=∑<sub>e</sub>〔K<sup>e</sup>〕である。〔K<sup>e</sup>〕は

$$〔K^e〕 = \int_V 〔B〕^T 〔D〕 〔B〕 dV \quad (2.2.16)$$

である。{ΔU}は解かれるべき未知変位増分であり、{ΔF}は荷重増分で外圧、熱歪、クリープ歪増分によるものにわけられる。すなわち、

$$\{\Delta F\} = \sum_e (\{\Delta F_p^e\} + \{\Delta F_{\text{thermal}}^e\} + \{\Delta F_{\text{creep}}^e\}) \quad (2.2.17)$$

$$\{\Delta F_p^e\} = \int (N)^T \{\Delta P\} ds \quad (\text{但し、Pは外圧}) \quad (2.2.18)$$

$$\{\Delta F_{\text{thermal}}^e\} = \int_V (B)^T (D) \{\Delta \epsilon_{\text{thermal}}^e\} dV \quad (2.2.19)$$

$$\{\Delta F_{\text{creep}}^e\} = \int_V (B)^T (D) \{\Delta \epsilon_{\text{creep}}^e\} dV \quad (2.2.20)$$

である。{Δε<sup>e</sup><sub>thermal</sub>}は熱歪増分で、次のように与えられる。

$$\{\Delta \epsilon_{\text{thermal}}^e\} = \{\alpha \Delta T \quad \alpha \Delta T \quad \alpha \Delta T \quad 0\}^T \quad (\text{軸対称の時})$$

$$= \{\alpha \Delta T \quad \alpha \Delta T \quad 0\}^T \quad (\text{平面応力場})$$

$\alpha$  は熱膨張率,  $\Delta T$  は温度増分である。

$\{\Delta \epsilon_{\text{creep}}\}$  はクリープ歪増分で, 次のように与えられる。

$$\begin{aligned} \{\Delta \epsilon_{\text{creep}}\} &= \frac{3 \dot{\epsilon}_c \Delta t}{2 \sigma_e} \{\sigma'_z \ \sigma'_r \ \sigma'_\theta \ \tau'_{rz}\}^T \quad (\text{軸対称の時}) \\ &= \frac{3 \dot{\epsilon}_c \Delta t}{2 \sigma_e} \{\sigma'_x \ \sigma'_y \ \tau'_{xy}\}^T \quad (\text{平面応力の時}) \end{aligned}$$

$\dot{\epsilon}_c$  はクリープ歪速度である。また,  $\Delta t$  は時間増分とする。

(2.2.16), (2.2.19), (2.2.20) 式中の  $[B]$  は形状マトリックスで, (2.1.5) 及び (2.1.6) で示された形状関数より求まる。すなわち軸対称三角形要素のときは,

$$[B] = \begin{bmatrix} 0 & \partial N_i / \partial z & 0 & \partial N_j / \partial z & 0 & \partial N_k / \partial z \\ \partial N_i / \partial r & 0 & \partial N_j / \partial r & 0 & \partial N_k / \partial r & 0 \\ N_i / \bar{r} & 0 & N_j / \bar{r} & 0 & N_k / \bar{r} & 0 \\ \partial N_i / \partial z & \partial N_i / \partial r & \partial N_j / \partial z & \partial N_j / \partial r & \partial N_k / \partial z & \partial N_k / \partial r \end{bmatrix} \quad (2.2.21)$$

で与えられる。この式中の  $N_i, N_j, N_k$  は (2.1.5) 式による。 $\bar{r}$  は要素図心の  $r$  座標。平面三角形要素のときは,

$$[B] = \begin{bmatrix} \partial N_i / \partial x & 0 & \partial N_j / \partial x & 0 & \partial N_k / \partial x & 0 \\ 0 & \partial N_i / \partial y & 0 & \partial N_j / \partial y & 0 & \partial N_k / \partial y \\ \partial N_i / \partial y & \partial N_i / \partial x & \partial N_j / \partial y & \partial N_j / \partial x & \partial N_k / \partial y & \partial N_k / \partial x \end{bmatrix} \quad (2.2.22)$$

で与えられる。平面四角形要素のときは,

$$[B] = \begin{bmatrix} \partial N_1 / \partial x & 0 & \partial N_2 / \partial x & 0 & \partial N_3 / \partial x & 0 & \partial N_4 / \partial x & 0 \\ 0 & \partial N_1 / \partial y & 0 & \partial N_2 / \partial y & 0 & \partial N_3 / \partial y & 0 & \partial N_4 / \partial y \\ \partial N_1 / \partial y & \partial N_1 / \partial x & \partial N_2 / \partial y & \partial N_2 / \partial x & \partial N_3 / \partial y & \partial N_3 / \partial x & \partial N_4 / \partial y & \partial N_4 / \partial x \end{bmatrix} \quad (2.2.23)$$

で与えられる。

このときの  $N$  は (2.1.6) 式に従う。

全歪増分  $\{\Delta \epsilon\}$  は (2.2.15) 式より求まる要素変位ベクトル  $\{\Delta U\}$  を使って,

$$\{\Delta \epsilon\} = [B] \{\Delta U\} \quad (2.2.24)$$

で求まり, 応力増分  $\{\Delta \sigma\}$  は, (2.2.24) 式を用いて (2.2.8) 式より求まる。解かれた増分量 (変位, 応力, 歪) よりステージ  $i$  における全体量は

$$\left. \begin{aligned} \{U\}_i &= \{U\}_{i+1} + \{\Delta U\}_i, \quad \{\sigma\}_i = \{\sigma\}_{i-1} + \{\Delta \sigma\}_i \\ \{\epsilon\}_i &= \{\epsilon\}_{i-1} + \{\Delta \epsilon\}_i \end{aligned} \right\} \quad (2.2.25)$$

で与えられる。なお, FREQ4 で出力する径方向及び円周方向の応力, 歪は,  $x-y$  座標系で求めた後, 次の式により  $r-\theta$  座標系に変換している。

$$\begin{Bmatrix} \sigma_r \\ \sigma_\theta \\ \tau_{r\theta} \end{Bmatrix} = \begin{bmatrix} \cos^2 \theta & \sin^2 \theta & 2 \sin \theta \cos \theta \\ \sin^2 \theta & \cos^2 \theta & -2 \sin \theta \cos \theta \\ -\sin \theta \cos \theta & \sin \theta \cos \theta & \cos^2 \theta - \sin^2 \theta \end{bmatrix} \begin{Bmatrix} \sigma_x \\ \sigma_y \\ \tau_{xy} \end{Bmatrix} \quad (2.2.26)$$

$$\begin{Bmatrix} \varepsilon_r \\ \varepsilon_\theta \\ \gamma_{r\theta} \end{Bmatrix} = \begin{bmatrix} \cos^2\theta & \sin^2\theta & -2\sin\theta\cos\theta \\ \sin^2\theta & \cos^2\theta & 2\sin\theta\cos\theta \\ \sin\theta\cos\theta & -\sin\theta\cos\theta & \cos^2\theta - \sin^2\theta \end{bmatrix} \begin{Bmatrix} \varepsilon_x \\ \varepsilon_y \\ \gamma_{xy} \end{Bmatrix} \quad (2.2.27)$$

但し、 $\theta$ はx軸とr方向とのなす角度である。

### 2.3 クラックモデルおよびクラックヒーリング

#### 2.3.1 クラックが要素に入るか否かの判定

A. 要素の等価応力 $\sigma^{eq}$ が破壊応力 $\sigma^{ULT}(T)$ より大きい場合、その要素にクラックが入るとする。但し、計算技術上 $0.95\sigma^{ULT}(T)$ を判定に用いている。ここでT=温度である。

B. Aの条件を満足していても、各応力成分( $\sigma_r, \sigma_\theta, \sigma_z$ )がすべて圧縮(負値)であった場合は、 $0.95\sigma^{ULT}(T)f_{comp}$ を判定に用いる。 $f_{comp}$ は定数で、ここでは4.0を採用している。

#### 2.3.2 クラックが入る方向の判定

クラックの入る方向は、要素の偏差応力( $\sigma'_r, \sigma'_\theta, \sigma'_z$ )の最大値をもつ方向に直交する面に入るものとする。

#### 2.3.3 クラックの本数の定義

2.3.1の条件を満足する毎に、その要素のクラックが1本ずつ増えることとする。クラックの本数は2.3.2で決定されたクラック方向毎に加算され、クラックヒーリングが生じると、その方向のクラック本数は0となる。

#### 2.3.4 クラックが入ることによる剛性の劣化

クラックが入ることによりヤング率のみ劣化させる。各要素の各方向に $M_i$  ( $i=r, \theta, z$ )の三つの係数を用意し、本来のヤング率 $E(T)$ のかわりに、 $E_i^* = E(T)/M_i$  ( $M_i \geq 1, i=r, \theta, z$ )を用いる。但しクラック面に直交する方向 $i$ の $M_i$ は、 $M_i = M_0 + (\ell_j - 1) \times 2$ を用い、その他の方向については $M = M_i \times g$ を用いる。ここで、 $j$ はクラック方向を、 $\ell_j$ は $j$ 方向のクラックの数を表わす。現在プログラム中では、 $M_0 = 7.0$ 、 $g = \frac{1}{4}$ を用いている。 $g = 0.0$ の場合 $M = 1.0$ である。

#### 2.3.5 FEMF3におけるクラックした要素の応力-歪マトリックス

歪と応力を結びつける関係式は、2.3.4で述べたことを考慮すると以下のように書ける。すなわち、

$$\begin{Bmatrix} \varepsilon_z \\ \varepsilon_r \\ \varepsilon_\theta \\ \gamma_{rz} \end{Bmatrix} = \begin{bmatrix} C_1/E_2 & -\nu_2/E_2 & -\nu_2/E_2 & 0 \\ -\nu_2/E_2 & C_2/E_1 & -\nu_1/E_1 & 0 \\ -\nu_2/E_2 & -\nu_1/E_1 & C_3/E_1 & 0 \\ 0 & 0 & 0 & G \end{bmatrix} \begin{Bmatrix} \sigma_z \\ \sigma_r \\ \sigma_\theta \\ \tau_{rz} \end{Bmatrix} \quad (2.3.1)$$

となる。但し、 $C_1=M_z$ ,  $C_2=M_r$ ,  $C_3=M_\theta$ ,  $E_2=E_z$ ,  $E_1=E_r=E_\theta$ ,  $\nu_2=\nu_z$ ,  $\nu_1=\nu_r=\nu_\theta$  である。また  $G = \frac{E_2}{2C_1} / (1 + \frac{\nu_2}{C_1})$  である。これを応力-歪マトリックスに書き換えると、

$$\begin{Bmatrix} \sigma_z \\ \sigma_r \\ \sigma_\theta \\ \tau_{rz} \end{Bmatrix} = \frac{1}{A} \begin{bmatrix} \frac{C_2 C_3 - \nu_1^2}{E_1^2} & \frac{C_3 \nu_2 + \nu_1 \nu_2}{E_1 E_2} & \frac{\nu_1 \nu_2 + C_2 \nu_2}{E_1 E_2} & 0 \\ \frac{C_3 \nu_2 + \nu_1 \nu_2}{E_1 E_2} & \frac{C_1 C_3 - \nu_2^2}{E_1 E_2} & \frac{C_1 \nu_1 + \nu_2^2}{E_1 E_2} & 0 \\ \frac{\nu_1 \nu_2 + C_2 \nu_2}{E_1 E_2} & \frac{C_1 \nu_1 + \nu_2^2}{E_1 E_2} & \frac{C_1 C_2 - \nu_2^2}{E_1 E_2} & 0 \\ 0 & 0 & 0 & AG \end{bmatrix} \begin{Bmatrix} \epsilon_z \\ \epsilon_r \\ \epsilon_\theta \\ \gamma_{rz} \end{Bmatrix} \quad (2.3.2)$$

となる。ここで、

$$A = \frac{C_1 C_2 C_3}{E_1^2 E_2} - \frac{C_1 \nu_1^2}{E_1^2 E_2} - \frac{C_2 \nu_2^2}{E_1 E_2^2} - \frac{C_3 \nu_2^2}{E_1 E_2^2} - \frac{2 \nu_1 \nu_2^2}{E_1 E_2^2} \quad (2.3.3)$$

である。

### 2.3.6 FREB 4におけるクラックした要素の応力-歪マトリックス

平面応力場における応力-歪マトリックスは(2.2.12)式で表わされるが、クラックを近似するためには、径方向と円周方向に異なる物性をもつ異方性の応力-歪マトリックスを用いる。すなわち、

$$[D] = \frac{E_2}{(1 - n \nu_2^2)} \begin{bmatrix} n & n \nu_2 & 0 \\ n \nu_2 & 1 & 0 \\ 0 & 0 & m(1 - n \nu_2^2) \end{bmatrix} \quad (2.3.4)$$

を用いる。ここで、 $n=E_1/E_2$ ,  $m=G_2/E_2$ ,  $G_2=E_2/\{2(1+\nu_2)\}$  であり、径方向添字を  $r$ , 円周方向添字を  $\theta$  とすれば、 $E_1=E_r$ ,  $E_2=E_\theta$ ,  $\nu_1=\nu_r$ ,  $\nu_2=\nu_\theta$  である。2.3.4で定義した  $M_r$ ,  $M_\theta$  を用いて、(i) 径方向クラックの時、 $E_\theta \rightarrow E_\theta/M_\theta$ ,  $\nu_\theta \rightarrow \nu_\theta/M_\theta$  に変換し、(ii) 円周方向クラックの時、 $E_r \rightarrow E_r/M_r$ ,  $\nu_r \rightarrow \nu_r/M_r$  に変換して、 $[D]$  を修正することによりクラックを近似する。この方法で修正された  $[D]$  マトリックスは  $(r-\theta)$  系で定義されたものであるから、全体系の  $[D]_g$  に変換する必要がある。すなわち、

$$[D]_g = [L][D][L]^T \quad (2.3.5)$$

となる。但し

$$[L] = \begin{bmatrix} \cos^2 \theta & \sin^2 \theta & -2 \sin \theta \cos \theta \\ \sin^2 \theta & \cos^2 \theta & 2 \sin \theta \cos \theta \\ \sin \theta \cos \theta & -\sin \theta \cos \theta & \cos^2 \theta - \sin^2 \theta \end{bmatrix} \quad (2.3.6)$$

である。

### 2.3.7 クラックが入ることによる応力緩和

クラックが入る直前の要素の応力  $\sigma_i$  ( $i=r, \theta, z$ ) は、クラックが入ることにより応力が

緩和され、

$$\sigma_i^* = \sigma_i (1 - e) \quad (2.3.7)$$

になるものとする。但し、

$$e = f \quad (\text{クラック面に直交する方向}) \\ e = g \quad (\text{その他の方向})$$

とする。f, gは定数で、プログラムでは  $f = \frac{1}{2}$ ,  $g = \frac{1}{4}$  にしている。

クラックの入った要素の周囲の要素には、次式で計算された節点力  $\{F_c\}$  を FEMF 3 では次のタイムステップに、FREB 4 ではクラック収束計算中に作用させる。ここで、節点力は

$$\{F_c\} = \int [B]^T \{\sigma^*\} dV \times e \quad (2.3.8)$$

である。但し、 $\{\sigma^*\}$  はクラックした要素のクラック直前の応力、e は前述の値である。

### 2.3.8 クラックヒーリング

次の A, B の条件が両方満足されたときクラックヒーリングが生じるものとする。

- A. 要素平均温度がヒーリング温度 ( $T_{HEAL}$ ) より大きい。
- B. 偏差応力が圧縮 (負値) である。

B の判定は各方向について行なわれ、全てクラックがヒーリングするのではなく、各方向においてクラックが閉じることになる。なお  $T_{HEAL}$  は、プログラム中で  $1,400^\circ\text{C}$  としてある。また、FEMF 3 においては、A, B の条件が両方満足されたとき、もしそれ以前にクラックが生じていれば、1本のクラックがヒーリングして閉じるとし、クラックの本数の減少とそれに伴う剛性率の回復がなされる。

### 2.4 クリープおよび歪硬化率 $H'$ の取扱い

クリープ歪速度  $\dot{\epsilon}_c$  は、温度、相当応力、中性子束等の関数で与えられる。等価歪増分は  $\Delta \epsilon_{eq}^{creep} = \dot{\epsilon}_c \cdot \Delta t$  であり、FEMF 3, FREB 4 とともに  $\Delta \epsilon_{eq}^{creep}$  が 0.001 を越える場合は、それ以下に強制的にセットする。各方向のクリープ歪増分は

$$\left. \begin{aligned} \{\Delta \epsilon_{creep}\} &= \frac{3 \dot{\epsilon}_c \Delta t}{2 \sigma_e} \{\sigma'_z \quad \sigma'_r \quad \sigma'_\theta \quad \tau'_{rz}\}^T \quad (\text{軸対称の時}) \\ &= \frac{3 \dot{\epsilon}_c \Delta t}{2 \sigma_e} \{\sigma'_x \quad \sigma'_y \quad \tau'_{xy}\}^T \quad (\text{平面応力の時}) \end{aligned} \right\} \quad (2.4.1)$$

で与えられる。

等価応力  $\bar{\sigma}$  が等価塑性歪  $\bar{\epsilon}_p$  を用いて  $\bar{\sigma} = c (\alpha + \bar{\epsilon}_p)^n$  と表わせるものとする。温度 T の時の降伏応力を  $\sigma_Y(T)$ 、ヤング率を  $E(T)$  とすると、 $\alpha = \sigma_Y(T) / E(T)$  の仮定の下で、 $\sigma_Y = c \alpha^n$  より  $c = \sigma_Y / \alpha^n$  となる。歪硬化率  $H'$  は

$$H' = \frac{\partial \bar{\sigma}}{\partial \bar{\epsilon}_p} = n c (\alpha + \bar{\epsilon}_p)^{n-1} = n \sigma_Y^{(1-n)} E^{-n} (\sigma_Y / E + \bar{\epsilon}_p)^{n-1} \quad (2.4.2)$$

である。 $\sigma_Y, E, n$  はベレット、被覆管それぞれに物性値として与える。但し FREB 4 ではベレットの  $H'$  は零とした。



### 3. プログラム概説

#### 3.1 タイムステップ決定法およびブロックダイヤグラム

照射履歴を追い方法はFEMF3とFREB4では異なる。FEMF3およびFREB4のブロックダイヤグラムをFig. 3.1とFig. 3.2に示す。FEMF3では自動タイムステップコントロールによる方法である。すなわち、第1回目は入力されたタイムステップで計算をするが、2回目以降のタイムステップは、 $n$ 回目の計算で塑性もしくはクラックをしなかった弾性要素が、次のステップで塑性もしくはクラックするのに必要な燃料出力増分を推測し、それを時間増分に変換して $n+1$ 回の計算の際のタイムステップとする。一方、FREB4では、タイムステップは入力タイムステップによってのみ決定される。場合によっては入力タイムステップが大きすぎる場合もあるので収束計算が行なわれる。すなわち、入力ステップで応力を計算し破壊条件を満たす要素があれば、その要素にクラックを入れ応力を緩和させる。次に、剛性マトリックスを修正し再計算を行う。さらにこの状態でも破壊条件を満たす要素が出てくれば、その要素にクラックを入れて計算が続行される。以上の手順ですべての要素の応力が破壊条件の値以下になるまでくり返し計算を行う。このくり返し計算終了後次のステップに移る。

#### 3.2 サブプログラム概説およびプログラムの使用条件

FEMF3はTable 3.1に示す様に主プログラムを含んで総数47個のサブプログラムで構成される。Table 3.1には、各サブプログラムの機能の概要がまとめられている。FREB4は、主プログラムを含んで総数42個のサブプログラムで構成される。これらサブプログラムの機能の概要をTable 3.2に示す。FEMF3およびFREB4の両プログラムの使用上の制限条件等をTable 3.3に示す。

FEMF3とFREB4には、その計算結果をプロッターで図化するための専用の独立したプログラムPLOTがある。FEMF3、FREB4およびPLOTのプログラムの詳細について特に必要ならばそのプログラムリストをAppendix-Cに収録しているので参照されたい。

第1章にも述べたように計算上使用する燃料ペレットと被覆管の物性値は、FEMF3とFREB4を通じて同一であり、すべてプログラム組込みになっている。これらの物性値については、Appendix-Aに収録したので、そちらを参照されたい。

#### 3.3 データ入力法

FEMF3およびFREB4の両者共、入力はカード型式である。必要な入力データおよび入力形式等は、Appendix-Bに表にして収録した。すなわち、Table B.1にFEMF3の、

Table B.2にFREB4のデータ入力法を与える。先にも述べたように、これらプログラムの計算結果は、プロッターで図化することができる。この専用のプロッタープログラムPLOTFを使用する場合のデータ入力法をAppendix-BのTable B.3に示す。なお、PLOTFを使用する場合、FEMF3あるいはFREB4の計算結果は一旦ディスクに格納される。そのためには、ディスクが確保されねばならない。

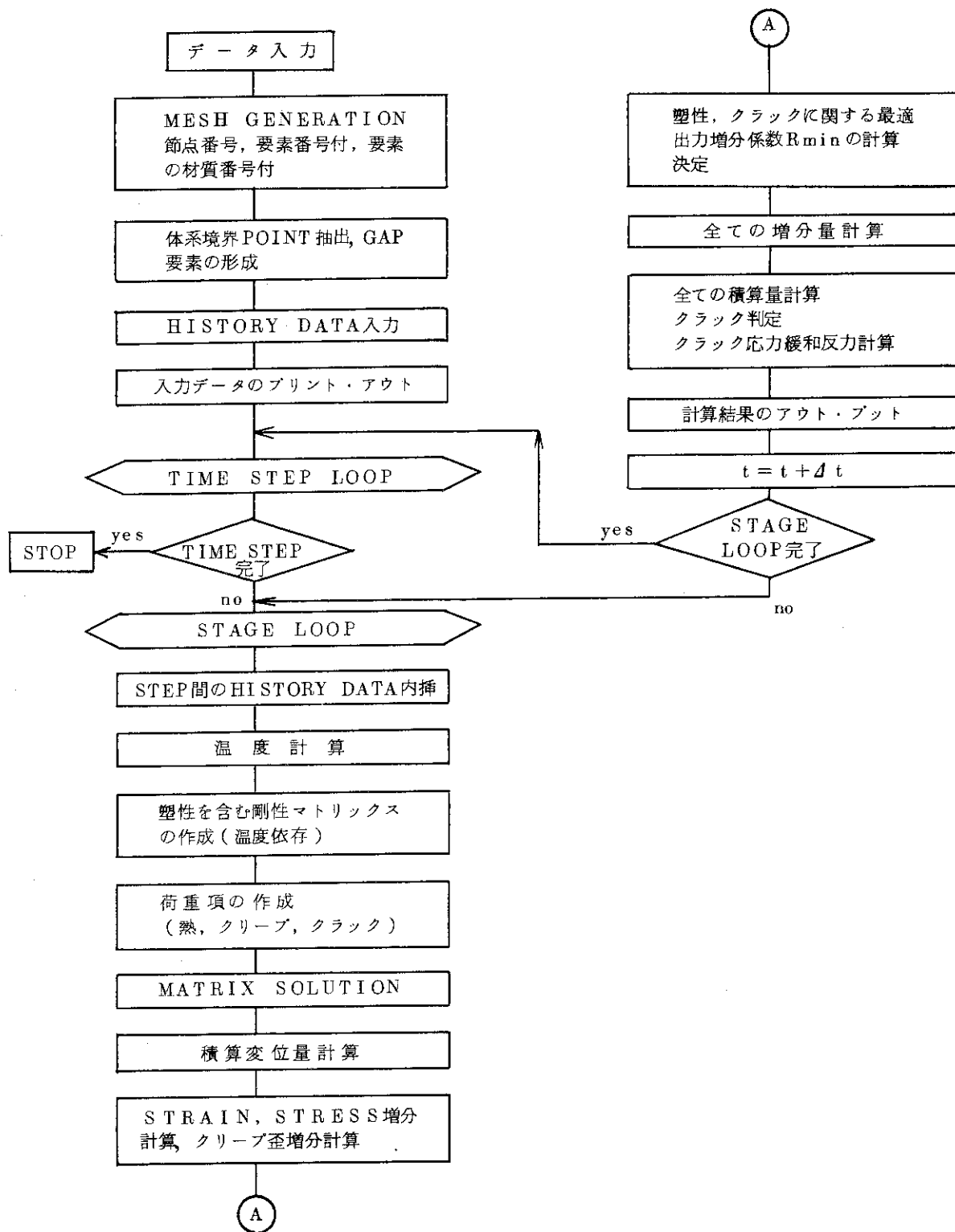


Fig. 3.1 Block diagram of FEMF3

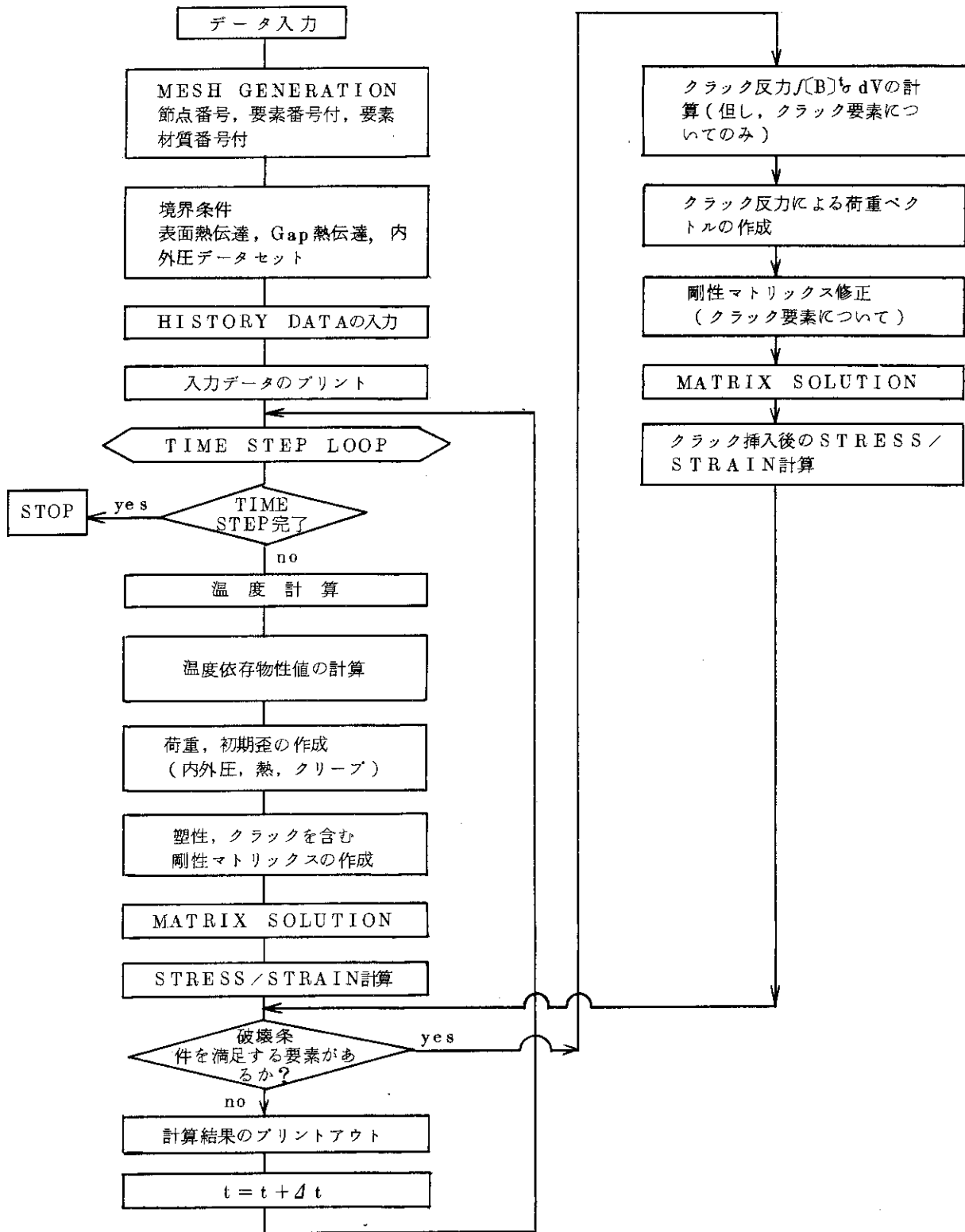


Fig. 3.2 Block diagram of FREQ4

Table 3.1 FEMF3に含まれるサブプログラムの機能

サブプログラム名	機 能
1. FEMF3	MAIN PROGRAM 計算の流れを制御する。
2. ANCC	被覆管, 歪硬化係数, 異方性パラメータを計算する。
3. ANCP	ペレット "
4. BOUNDA	体系の表面に存在する要素の抽出, 境界上節点の拘束条件セット
5. CRACKD	クラック後の要素STIFFNESS MATRIXの作成
6. CREPC	被覆管クリープ歪増分量計算式
7. CREPP	プレット "
8. CREEP	Prandtl-Reuss flow ruleよりクリープ歪増分成分を計算
9. DATAPR	入力データ, カード, イメージをプリントする
10. DEFORM	変位増分より, 歪, 応力増分の計算。増分量より積算量計算。積算量より, 等価歪, 応力及び偏差応力計算。弾性歪, 熱歪, 塑性歪, クリープ歪の各成分セット。
11. DISPL	変位増分量格納
12. EXPAN	被覆管, ペレットの熱膨張係数計算
13. FORM	要素STIFFNESS MATRIXよりGLOBAL STIFFNESS MATRIXを作成
14. GDUMP	要素, 節点MAPプリント・アウト
15. GEMESH	自動メッシュ作成
16. HCAP	被覆管, ペレット比熱計算(非定常の場合に使用)
17. HCOND	被覆管, ペレット熱伝導率計算
18. HISINP	照射履歴データの入力
19. HISSET	自動制御されたタイム・メッシュに相当した各パラメータを入力値より内挿
20. INCREM	時間増分量決定
21. INOUT	入力データの編集, プリント・アウト
22. INPUT	データの入力, COMMON AREAのゼロ・クリアー
23. INVERS	逆MATRIX計算
24. LOAD	内外圧による節点力計算, 初期歪考慮(熱, クリープ, クラック)

Table 3.1 (Cont)

サブプログラム名	機能
25. OUT1	節点力, 変位, 座標, 負荷係数プリント・アウト
26. OUT2	応力-歪・要約プリント・アウト
27. OUT3	応力-歪・詳細プリント・アウト
28. PAGE	アウト・プット各頁のHeaderプリント
29. LASTD	塑性STIFFNESS MATRIX作成
30. POISS	被覆管, ベレット ポアソン比計算
31. REFER	最適負荷係数の計算及び決定
32. SHEAR	せん断係数計算
33. SOLVE	GAUSS 消去法により連立方程式を解く
34. STATUS	塑性, クラック, ヒーリング判定
35. STIFF	要素弾性STIFFNESS MATRIXの作成
36. TEMPER	温度分布計算
37. TEMPPR	温度分布プリント・アウト
38. TEPP	一次内挿ルーチン
39. TERP	複数個ARRAY間の一次内挿ルーチン
40. TSTIF	温度分布計算用STIFFNESS MATRIX(定常条件)作成
41. TSTIFT	温度分布計算用STIFFNESS MATRIX(過渡条件)作成 (現在このルーチンは未使用)
42. ULTIMC	被覆管最大引張強さ計算
43. ULTIMP	ベレット //
44. YIELDC	被覆管塑性応力計算
45. YIELDP	ベレット //
46. YOUNG	被覆管, ベレット, ヤング率計算
47. PLOT	PLOTTER用Data Fileの作成

Table 3.2 FREB4に含まれるサブプログラムの機能

サブプログラム名	機能
1. FREB4	MAIN PROGRAM プログラム全体の制御
2. ALPHA	熱膨張率の計算
3. CONV	( $r, \theta$ )座標を( $x, y$ )に変換する。
4. CONVR	not used
5. CORD	座標データ入力及びプリントアウト
6. ELEM (Entry)	要素 " " "
7. CRAK	クラックの判定, クラック本数, クラック反力の計算
8. DPLOT	プロッタプログラムPLOT用データファイル作成
9. FINSL	一次内挿ルーチン
10. FINSR	" "
11. FLOAD	荷重項の計算
12. FRST	破壊応力の計算
13. GLOBL	全体剛性マトリックスの計算
14. INPA	データ入力補助ルーチン
15. INPB	" "
16. INPC	" "
17. INPX	データ入力及びプリント・アウト
18. ISET	整数セット
19. KMATRX	熱伝導構成マトリックスの作成
20. MAKEM	要素剛性マトリックスの計算
21. MATD	物性値のセット
22. MODFY	クラックした要素マトリックスの修正
23. OUTPT	計算結果のプリント・アウト
24. P	四角形要素の形状関数 $N_i$ の計算
25. PAGE	改ページ及び表題のプリント
26. POISSN	ポアソン比の計算
27. PX	四角形要素の形状関数の微分項 $\partial N_i / \partial \xi$ の計算

Table 3.2 (Con't)

サブプログラム名	機能
28. PY	四角形要素の形状関係の微分項 $\partial N_i / \partial \eta$ の計算
29. SETTS	バンド幅, タイムメッシュのセット
30. SOLUTI	バンド型連立一次方程式を解く
31. STRESS	応力, 歪の計算
32. TEMPER	温度計算全体のコントロール
33. THCON	熱伝導率の計算
34. THSTRN	熱歪の計算
35. CREEP (Entry)	クリープ歪の計算
36. VALN	n-value の計算
37. VALA (Entry)	$\alpha$ -value //
38. VALC (Entry)	$c$ -value //
39. VMOV	実数データの Array 間転送
40. VSET	実数データのセット
41. YIELD	降伏応力の計算
42. YOUNG	ヤング率の計算



Table 3.3 プログラム使用上の制限条件および注意事項

	FEMF3	FREB4
体系	R-Z	R- $\theta$
要素	3角形 <sup>注)</sup>	3角形あるいは4角形
要素数	R-方向最大格子数 20 Z-方向最大格子数 9	Rおよび $\theta$ の分割は任意であるが 下記の節点総数等の制限以内でな なければならない
最大節点総数	300	200
最大要素総数	500	250
最大バンド巾	10	20
履歴の最大ステップ数	20	100
モデル	<p>ディシュベレットは扱えない。接触問題は扱えない。スウェリング、組織変化は計算しない。</p> <p>燃料棒断面の上・下の境界は変形後も中心軸に垂直な平面を保つとする。但し、軸方向の一樣な伸びは許される。</p> <p>一般化平面歪問題は扱えない。平面歪問題は扱えるが、軸方向応力<math>\sigma_z</math>が圧縮応力として大きくなりすぎ現実にそぐわない。</p>	
使用ディスク	<p>F01 } F02 } F03 } 作業用ファイル F04 } F08 } F09 PLOTF用データファイル</p>	<p>F01 PLOTF用データファイル</p>
	<p>プロッタ出力を得たいときは、上記F09(FEMF3), F01(FREB4)を確保する必要があり、PLOTFではこのファイルがデータファイルとなる。</p>	

注) 要素の構成は3角形要素でFig. 4.12に示すように、R, Z軸に平行な格子状を分割すること。さらに、Z-方向の分割は燃料ペレットと被覆管を通じて同一であること。

#### 4. サンプル問題による燃料ペレットクラックの解析結果

作成したプログラム FEMF3 と FREB4 のテストをかねて燃料ペレットの出力上昇時の挙動解析を行った。プログラムの性格上、解析はペレットのクラックの発生、クラック領域の拡大およびゆ着の問題を中心に行っている。

計算に使用した燃料の寸法は、燃料ペレットの外径 0.62 cm (中心孔なし)、被覆管の外半径 0.715 cm、内半径 0.634 cm (ペレットと被覆管の半径ギャップ 0.014 cm) とした。また、軸方向の計算領域として高さ 0.75 cm を設定した。この寸法は、BWR7×7 型の標準タイプ燃料である。燃料の材質はペレットは二酸化ウラン焼結体、被覆管はジルコニウム合金 (ジルコイ-2) とし、物性値は Appendix-A に収録したものを使用した。

計算に必要な燃料の照射履歴は、初期冷却水温度を室温 (25°C) とし、出力状態で 288°C とした。燃料棒出力は、最初 0 (W/cm) で最大出力 450 (W/cm) に 10 時間で達するものとしたが、詳しくは Fig. 4.1(c) (FREB4) および Fig. 4.12(c) (FEMF3) を参照されたい。

FREB4 による計算の出力履歴については、最大出力に達した後、その出力が連続して続かずわずかに減少するものとした。これは、核分裂性物質の消失による出力の減少を考慮したものである。したがって、FEMF3 の計算結果と直接な比較は必ずしも妥当ではないかもしれないが、出力の減少は小さいので大きな相違は起らないと考える。なお、計算上ギャップのガス圧力は  $1 \text{ kg/cm}^2$  で変化なしとし、ギャップ熱伝達率は  $0.568 \text{ W/cm}^2 \cdot \text{C}$  であると考えた。

上記の数値を用い二次元平面モデルによるプログラム FREB4 の計算結果を、Fig. 4.1 から Fig. 4.11 までに示した。また二次元軸対称モデルによるプログラム FEMF3 の計算結果を Fig. 4.12 より Fig. 4.21 までに示した。これらの図は計算結果を PLOT F を用いてプロッターで出力したものをまとめたものである。プロッターによらず通常のラインプリンターによる出力については、同一問題の出力を Appendix D に収録しておいたので、必要ならば参照されたい。

計算対象の要素分割、要素番号等は Fig. 4.1 および Fig. 4.12 に示される。

Fig. 4.2 ~ 4.3 より明らかなように、出力上昇時にはペレット中心部の温度がペレット周辺よりも温度上昇が大きいため、中心部の引張歪は増大しかつ圧縮応力も増大する。またペレット周辺部は、出力上昇時には周方向の引張応力が増大しかつ小さな幾つかのピークが見られる (Fig. 4.3-a)。これらのピークは、ペレット周辺部にクラックが発生し、応力緩和が起きたことにより発生したものである。また出力が下降し初期温度にもどった状態では、中心部の半径方向、周方向および、周辺部の周方向に残留応力が見い出される。これらは周辺部にクラックが最後まで残るため周方向グリーブ歪が引張側になることと、中心部では出力上昇時の圧縮応力に応じて周方向のクリープ歪が圧縮側になることにより、負荷を零にした時、周辺部に周方向の圧縮応力が、中心部に引張応力が発生するためと考えられる。

Fig. 4.4 にクラックパターンを示した。周辺部より中心に向けてクラックが発生していく

様子がみられる。ここでは  $125\text{W/cm}$  でクラックが発生している。クラックは大部分半径方向に沿って発生するが、出力下降時にベレットの中心部および中心部と周辺部のほぼ中間部に周方向に沿ったクラックが発生する。これは中心部と周辺部の温度降下の差から半径方向の引張応力が増加するためと考えられる。

Fig. 4.5よりFig. 4.11までは、各出力時の応力、歪分布図を示す。Fig. 4.5-a, b, Fig. 4.6-a, bは周辺部にクラックが入ったことにより、周辺部の周方向の引張応力が緩和されかつ歪が増加していることを示す。また応力等高線図(Fig. 4.6-c, d)からもクラック発生点での応力緩和がわかる。またFig. 4.8-dは、中心部で塑性により圧縮応力の増加が止まり、応力緩和がベレット中間部まで進み、非常にせまい領域に応力勾配が出来ることを示す(Fig. 4.8-d)。出力下降時、中心部の圧縮応力は減少し引張応力に転じかつ、周方向よりも軸方向の応力が大になる(Fig. 4.10-a, Fig. 4.11-a)。また中間部の軸方向の引張応力が大きくなる(Fig. 4.10-c)。これらの結果がクラックパターン(Fig. 4.4-i)に影響している。またFig. 4.11-a, dに見る如く $\sigma_{\theta}$ が中心部で正、周辺で負となるのは中心部で周方向クリープ歪が圧縮、周辺部では周方向クリープ歪が引張であるのに対応している。

FEMF3の計算結果Fig. 4.13からFig. 4.15までの出力上昇時の状態はFREB4の結果と同じく、中心部で圧縮、周辺部で引張応力が見られ、クラックが周辺部に発生したことによる小さなピークが見い出される。ただ異なることは、FREB4では平面応力モデルであるため $\sigma_z=0$ なのに対して、FEMF3では中心部に非常に大きな圧縮応力の $\sigma_z$ が発生する。そのため、中心部附近の応力、歪履歴はFREB4とは大分異なる。Fig. 4.13-aで出力が $450\text{W/cm}$ に達した所で、 $\sigma_z$ があるため中心部でクラックが発生し応力が緩和している。周辺部に比較すると、中心部のZ方向の歪は小さく、その分圧縮応力は大きい(Fig. 4.18-a, b)。以上のことは、中心部に関して平面応力として取扱うことに無理があることを示す。

Fig. 4.16は各出力時におけるクラックパターンである。出力上昇初期には、周辺部に半径方向に沿ったクラックが発生し、ベレット上部程中心軸方向に深くクラックが入る。出力が増大すると、中心部は塑性状態となり $Z=0$ の周辺部ではZ方向のクラックが、また中間部より内部には周方向クラックが発生する。最終的には、中心部もクラックし、ほぼ全面にクラックが発生することになる。Fig. 4.17よりFig. 4.21まで各出力時の応力、歪分布図を示した。Fig. 4.17-aでは、 $r=0$ より $r=0.45\text{cm}$ 付辺まではきれいな軸対称応力解を示しており $r=0.45\text{cm}$ 以上ではクラックが半径方向に入るため $\sigma_r$ が緩和している。Fig. 4.18-aでは、クラックによる応力緩和はさらに内部にまでわたっている。線出力密度が $450\text{W/cm}$ に達すると中心部にクラックが発生するため、応力は緩和される(Fig. 4.19-a)。それにより歪は大きく増加する(Fig. 4.19-b)。また、中心軸及び中間部で大きな半径方向の引張応力、 $\sigma_r$ が発生している(Fig. 4.20-c)。これはFig. 4.16-eの結果と対応がつく。Fig. 4.21-dから明らかなように、 $\sigma_{\theta}$ の残留応力は中心部は引張応力、周辺部は圧縮応力となっている。この結果はFREB4と同じであるか、絶対値そのものは幾分小さくなっている。これはFEMF3の場合 $\sigma_z$ の影響で全面にクラックが入っており、応力が小さくなり全般にクリープ歪がおさげられていること。クラックの影響がほぼ同様であるためと考えられる。

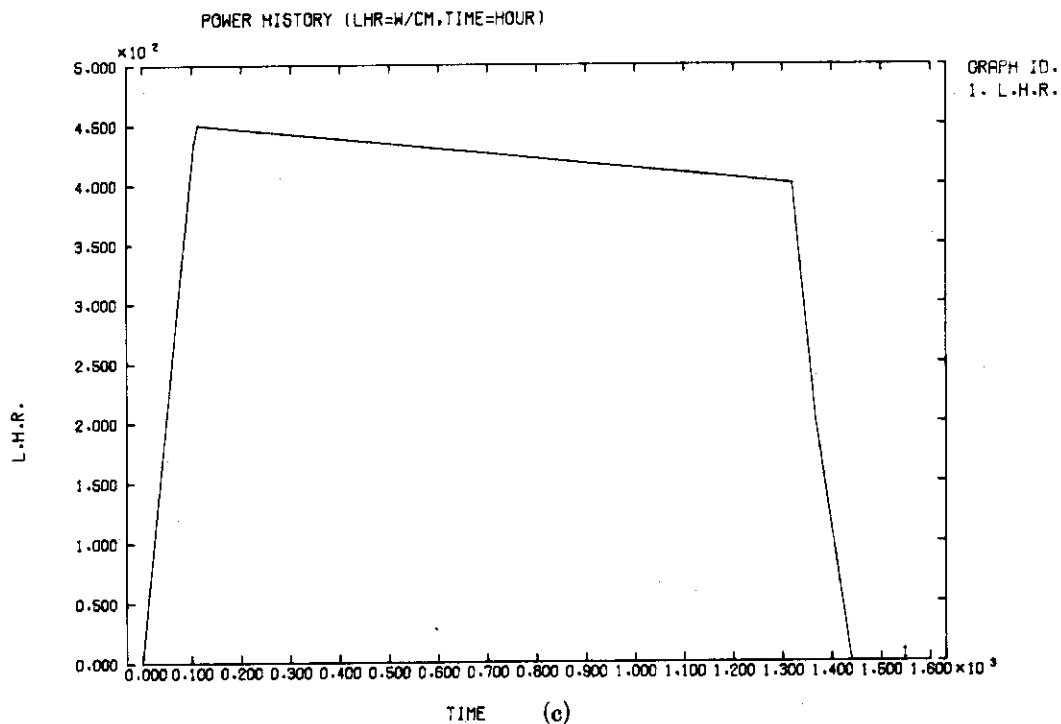
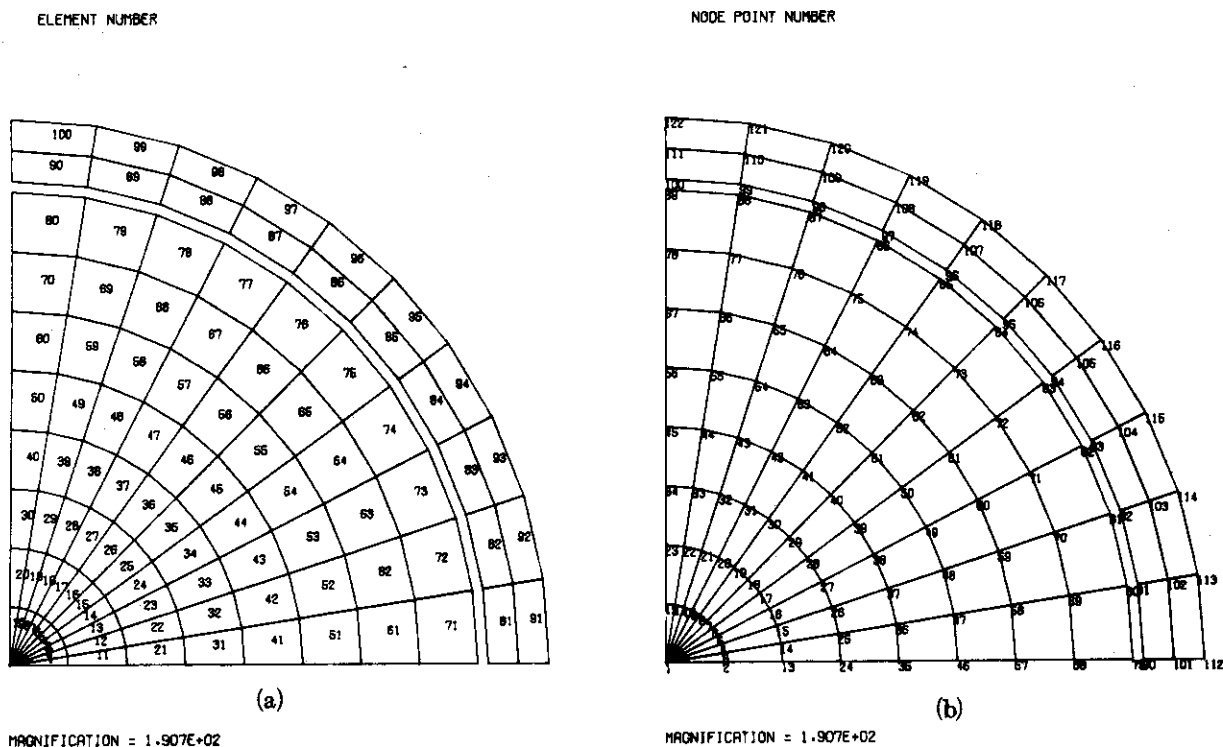


Fig. 4.1 Two dimensional plane model (FREB4): a) Figure of element numbers, b) figure of nodal points, and c) power history (w/cm).  
(Fig. 4.1~4.11 show the results calculated by FREB4)

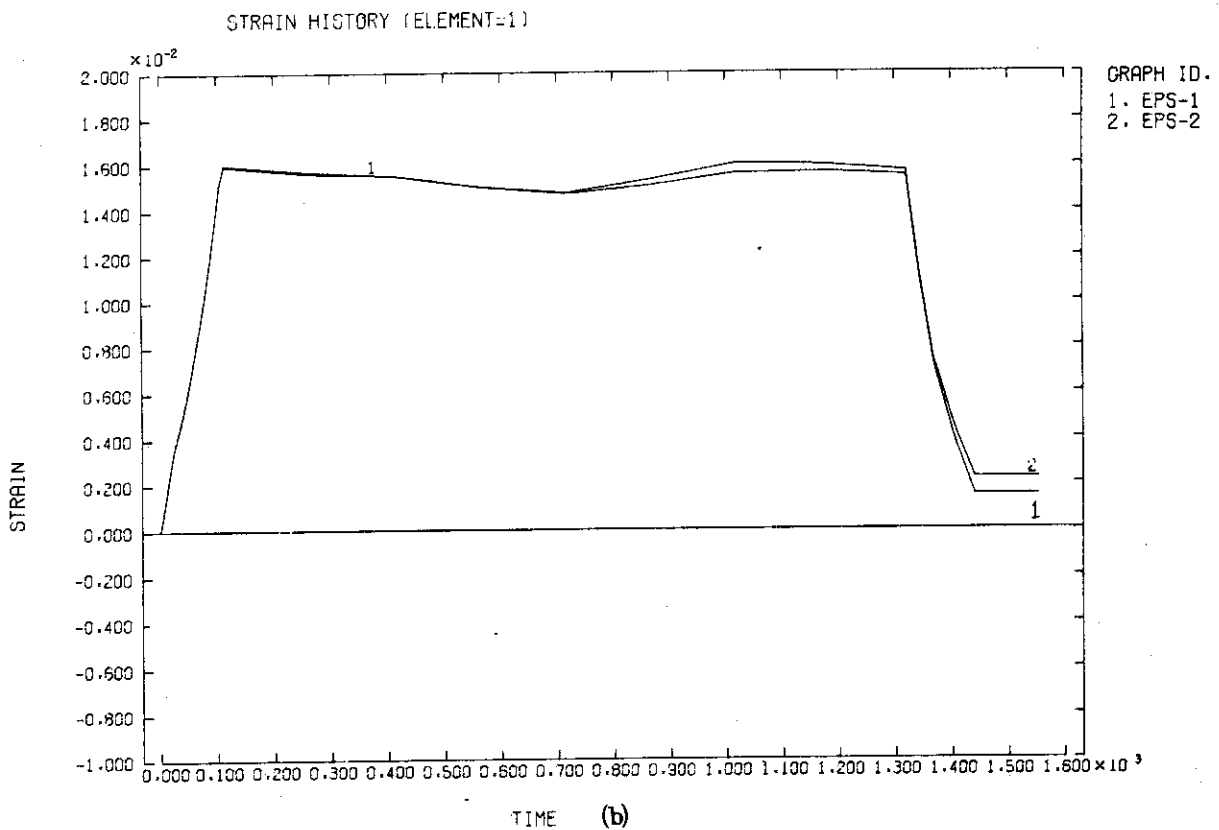
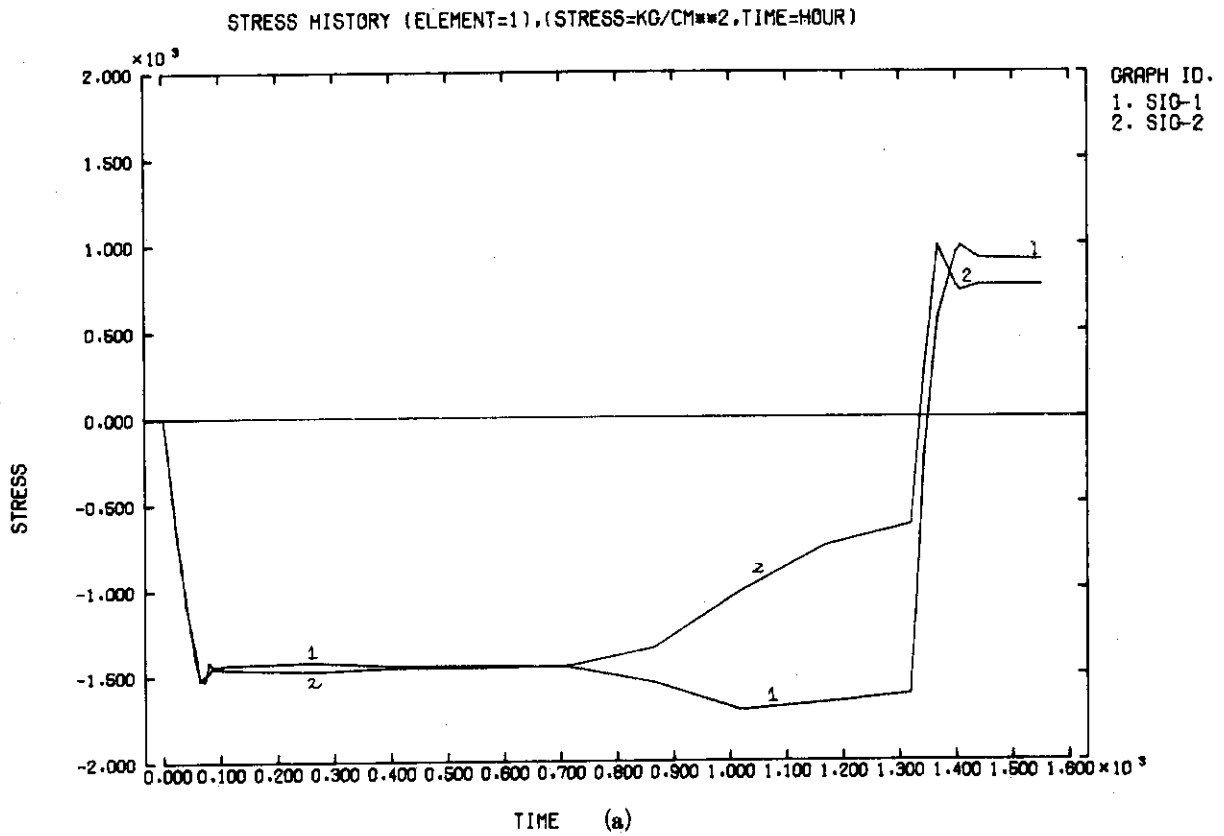


Fig. 4.2 a) Stress history and b) strain history at the element 1 which is located at the center of pellet. (Symbols 1 and 2 denote radial and circumferential directions, respectively.)

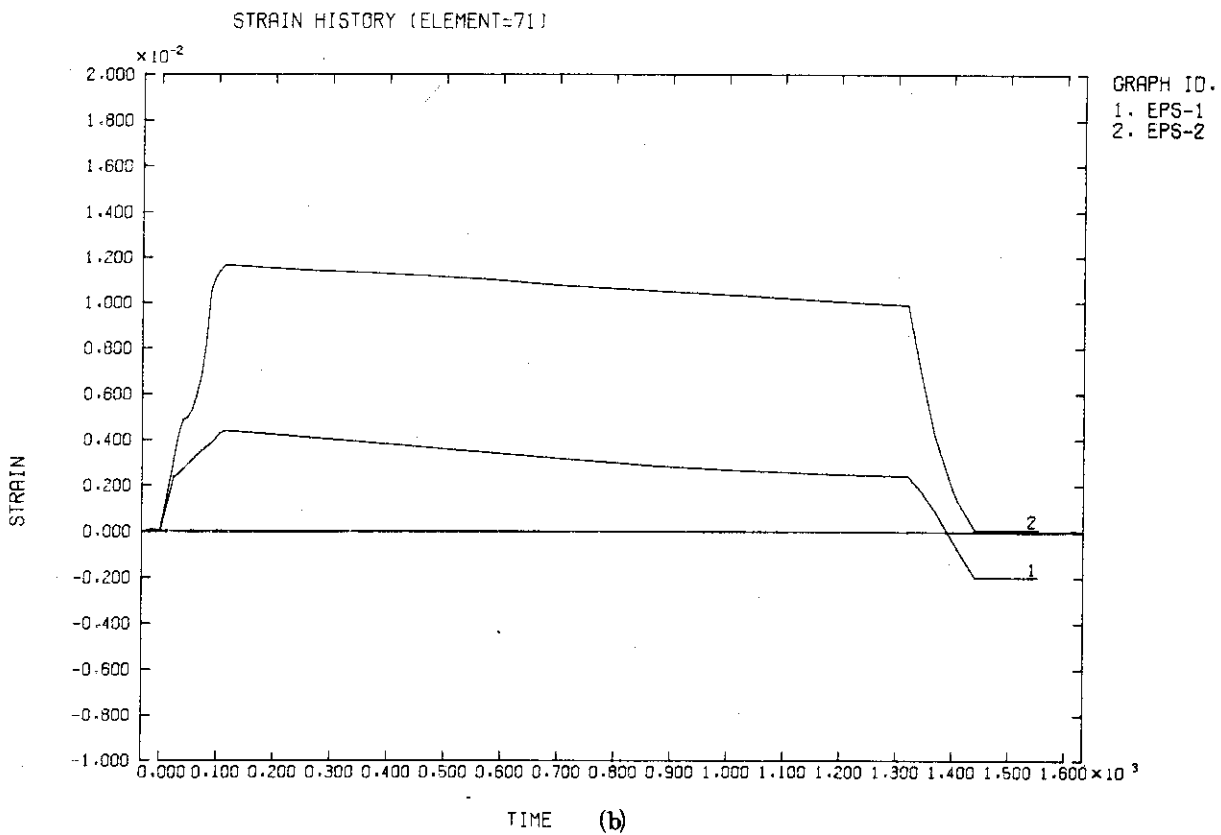
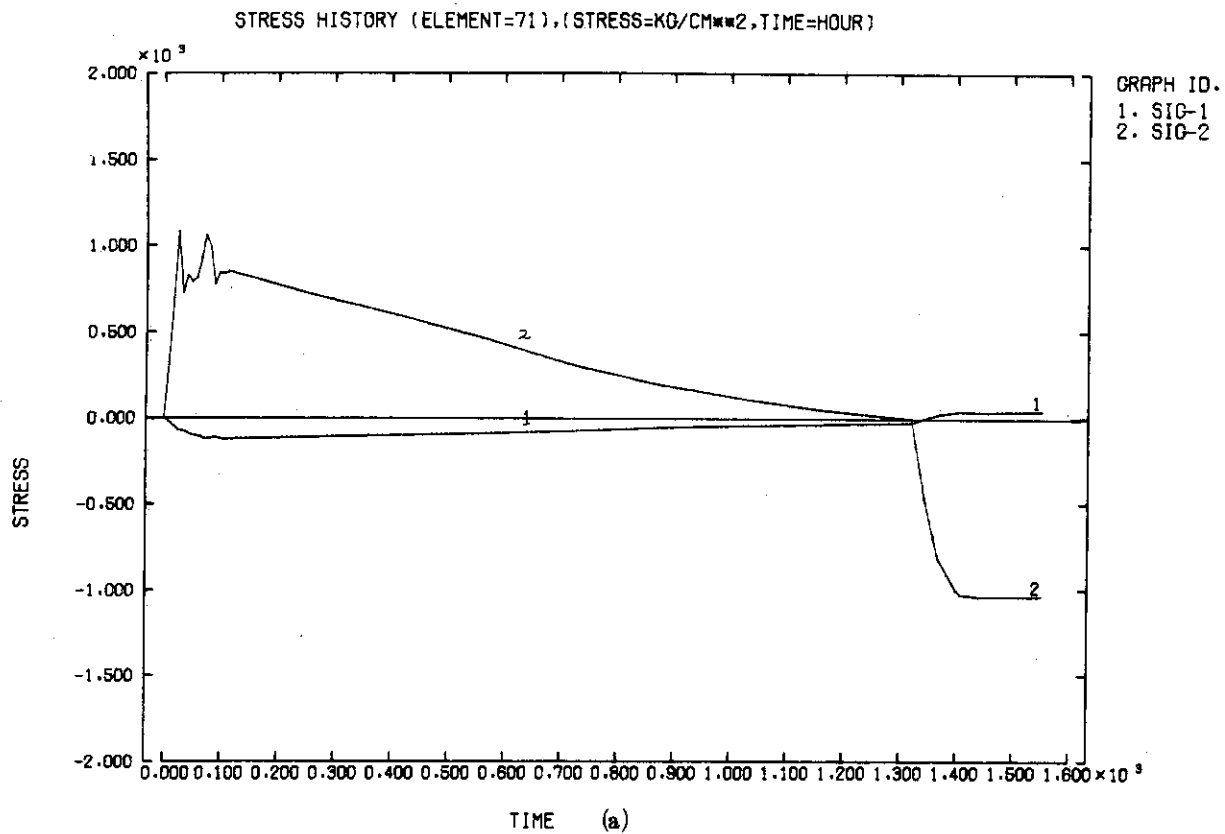
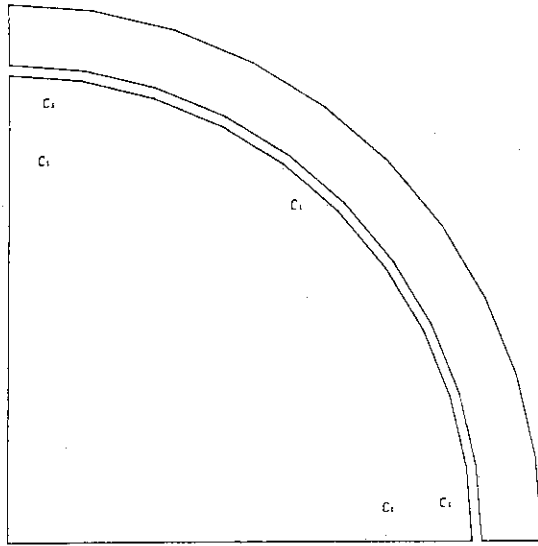


Fig. 43 a) Stress history and b) strain history at the element 71 which is located at the circumference of pellet.

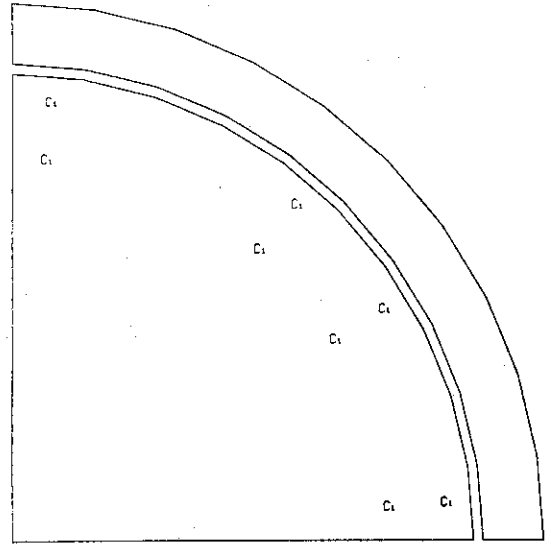
PELLET STATE (TIME=30HR, LHR=125W/CM), (Y=YIELD, C=CRACK)

PELLET STATE (TIME=36HR, LHR=150W/CM), (Y=YIELD, C=CRACK)



(a)

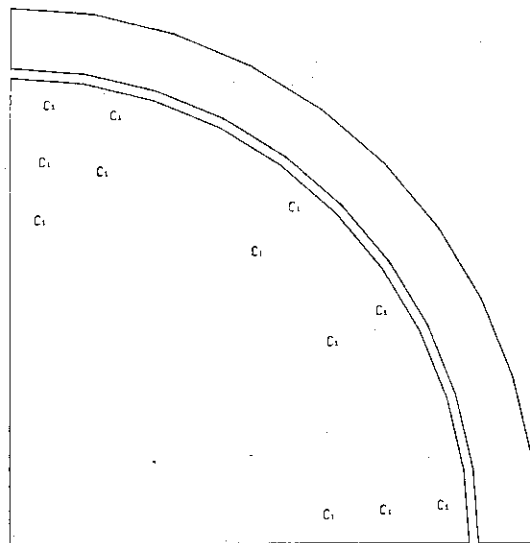
MAGNIFICATION = 1.907E+02



(b)

MAGNIFICATION = 1.907E+02

PELLET STATE (TIME=42HR, LHR=175W/CM), (Y=YIELD, C=CRACK)



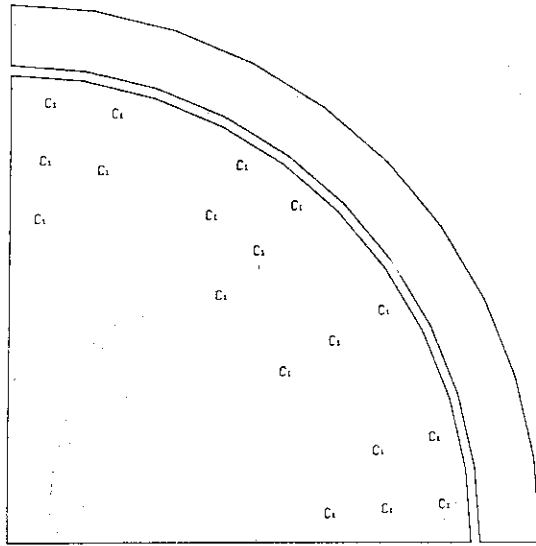
(c)

MAGNIFICATION = 1.907E+02

Fig. 4.4 Crack and plasticity areas of pellet at linear heat rate : a) 125w/cm, b) 150w/cm, c) 175w/cm,

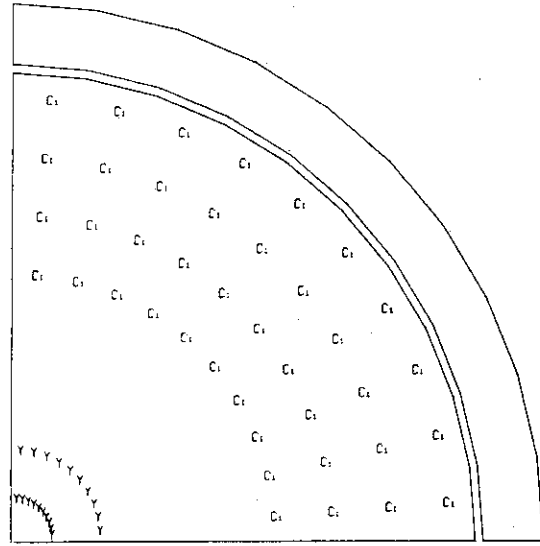
PELLET STATE (TIME=48HR,LHR=200W/CM),(Y=YIELD,C=CRACK)

PELLET STATE (TIME=72HR,LHR=300W/CM),(Y=YIELD,C=CRACK)



(d)

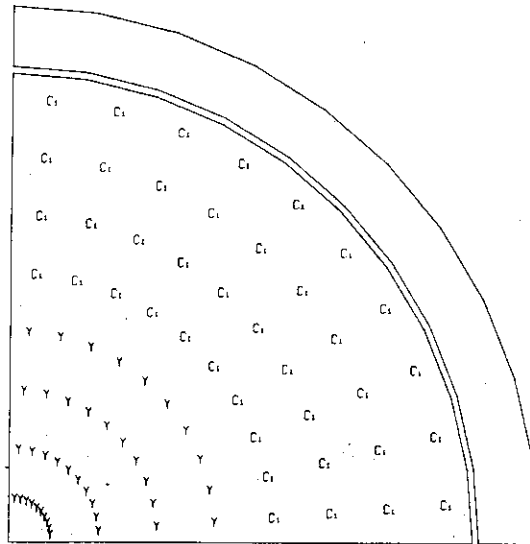
MAGNIFICATION = 1.907E+02



(e)

MAGNIFICATION = 1.907E+02

PELLET STATE (TIME=108HR,LHR=450W/CM),(Y=YIELD,C=CRACK)



(f)

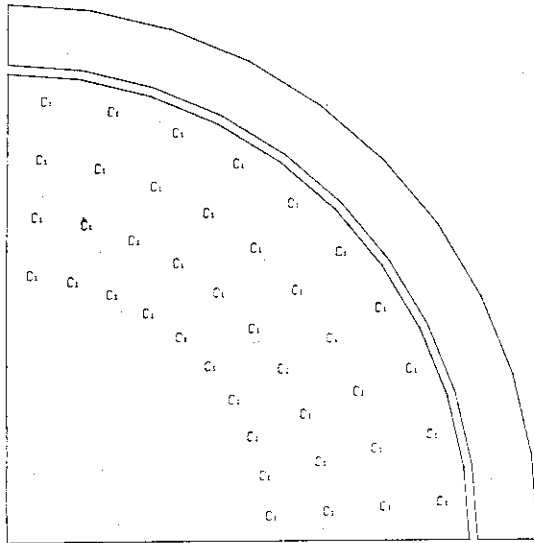
MAGNIFICATION = 1.907E+02

Fig. 4.4 d) 200w/cm, e) 300w/cm, f) 450w/cm,



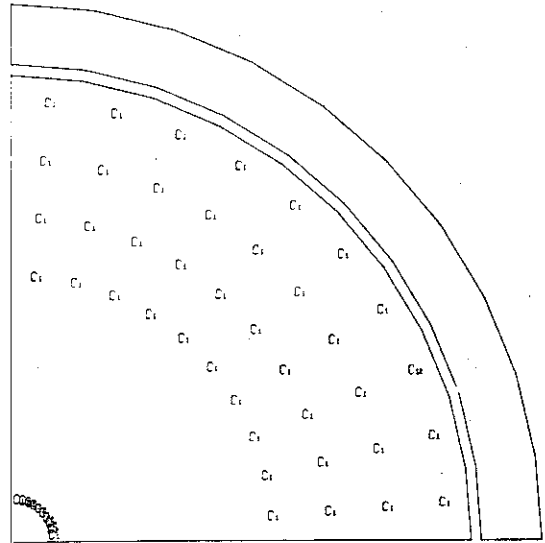
PELLET STATE (TIME=1344HR,LHR=300W/CM),(Y=YIELD,C=CRACK)

PELLET STATE (TIME=1404HR,LHR=100W/CM),(Y=YIELD,C=CRACK)



(g)

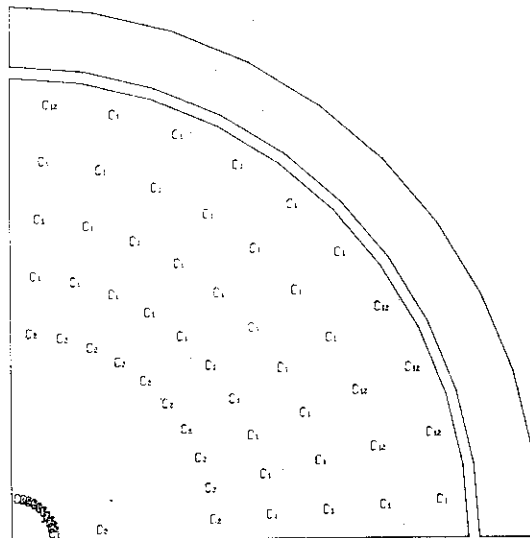
MAGNIFICATION = 1.907E+02



(h)

MAGNIFICATION = 1.907E+02

PELLET STATE (TIME=1560HR,LHR=0W/CM),(Y=YIELD,C=CRACK)



(i)

MAGNIFICATION = 1.907E+02

Fig. 4.4 g) 300w/cm, h) 100w/cm, i) 0 w/cm.  
 (C<sub>1</sub>, C<sub>2</sub> and Y denote radial, circumferential cracks  
 and plasticity area, respectively)

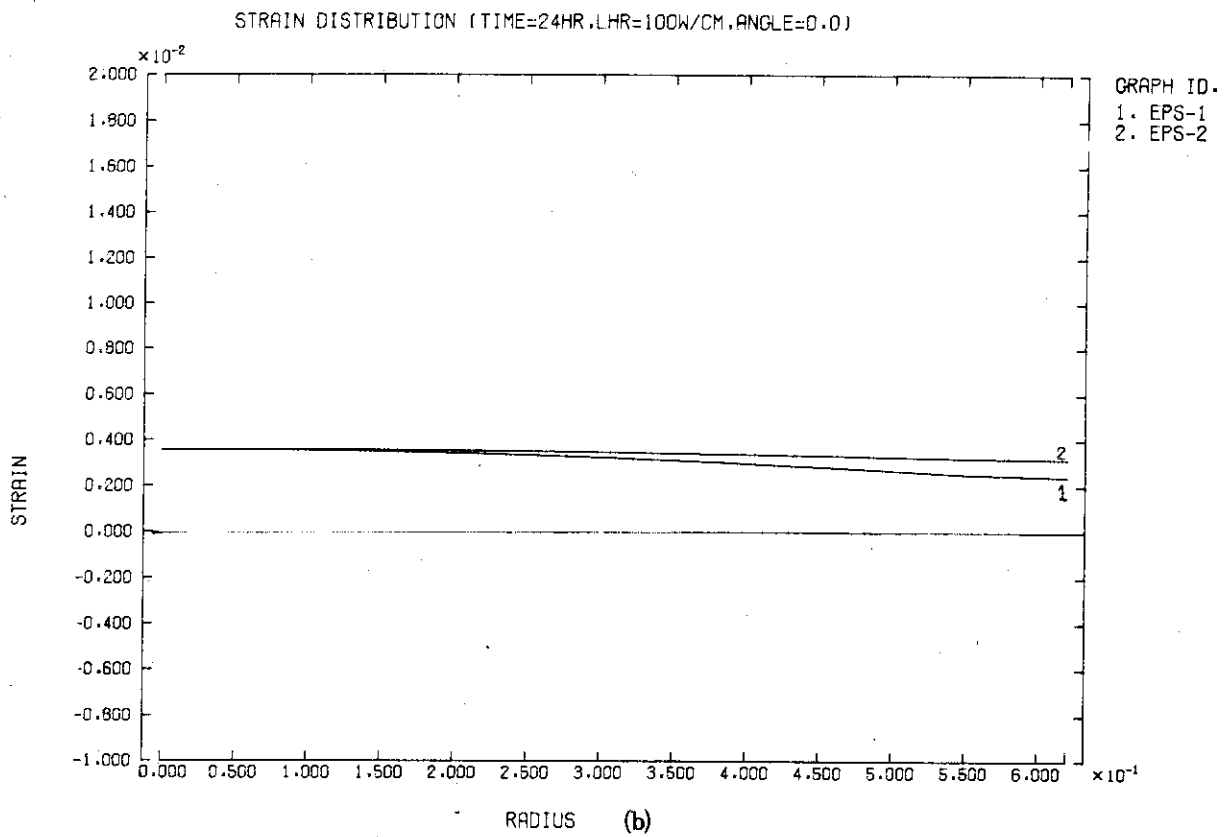
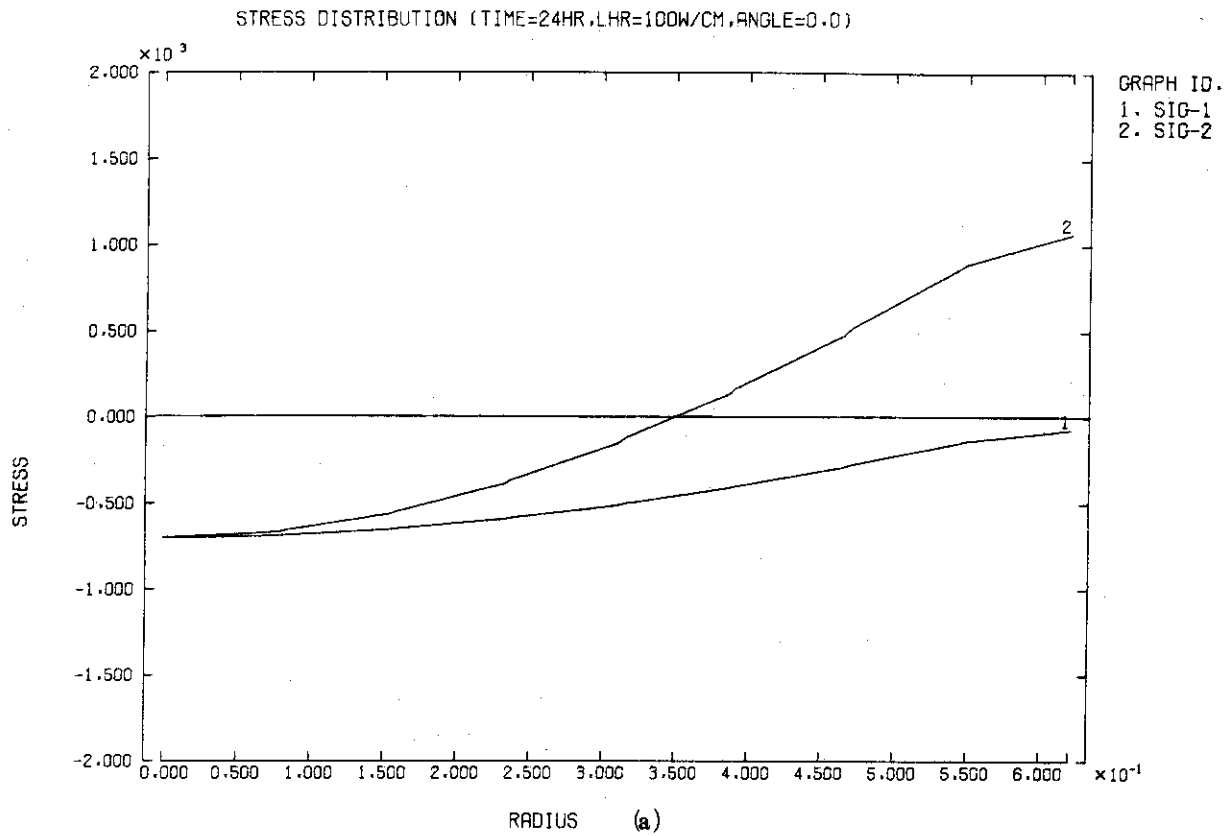
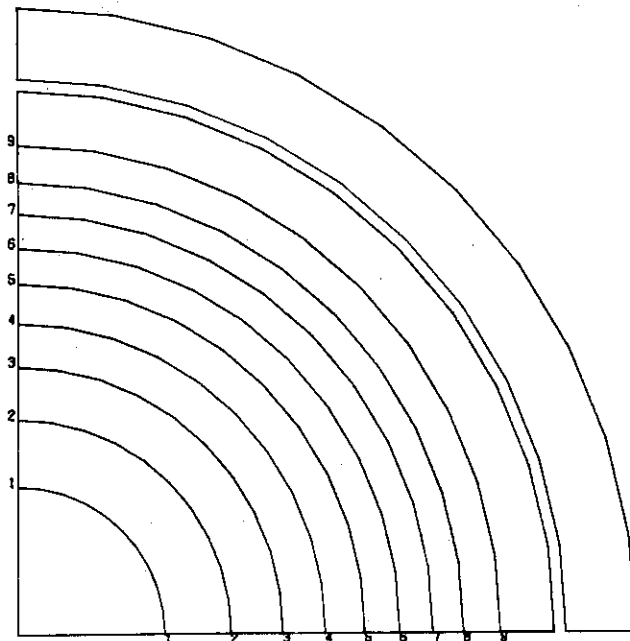


Fig. 4.5 Stress and strain distributions of pellet at 100w/cm of linear heat rate : a) the radial stress distribution at  $\theta=0^\circ$  ( $\text{kg}/\text{cm}^2$ ), b) the radial strain distribution at  $\theta=0^\circ$ .

SIG-R DISTRIBUTION (TIME=24HR,LHR=100W/CM)



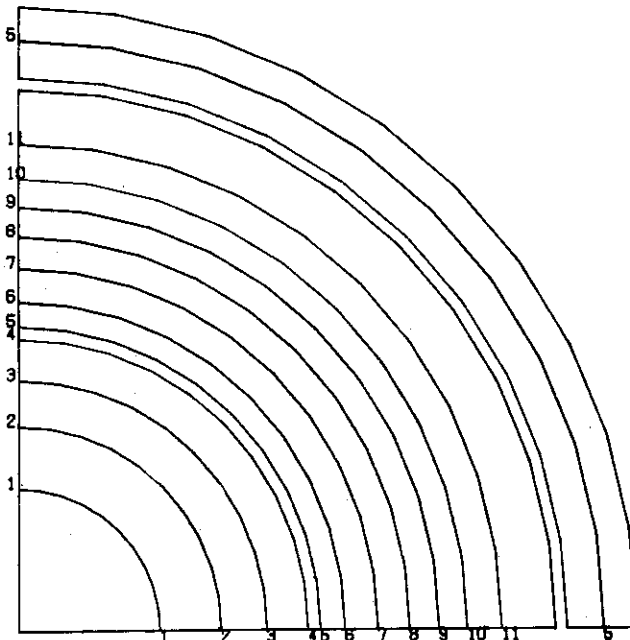
CONTOUR NO. = 7

CONTOUR NO.	CONTOUR VALUES
1	-6.369E+02
2	-5.734E+02
3	-5.098E+02
4	-4.463E+02
5	-3.828E+02
6	-3.192E+02
7	-2.557E+02
8	-1.921E+02
9	-1.286E+02
10	-6.506E+01

MAGNIFICATION = 1.907E+02

(c)

SIG-T DISTRIBUTION (TIME=24HR,LHR=100W/CM)



CONTOUR NO. = 8

CONTOUR NO.	CONTOUR VALUES
1	-6.389E+02
2	-3.774E+02
3	-2.158E+02
4	-5.428E+01
5	0.
6	1.073E+02
7	2.688E+02
8	4.304E+02
9	5.919E+02
10	7.534E+02
11	9.150E+02

MAGNIFICATION = 1.907E+02

(d)

Fig. 45 c) the radial stress contour map ( $\text{kg}/\text{cm}^2$ ), d) the tangential contour map ( $\text{kg}/\text{cm}^2$ ).  
 (The items a), b), c) and d) in figs. 4.6 ~ 4.11 are the same as those in figs. 4.5)

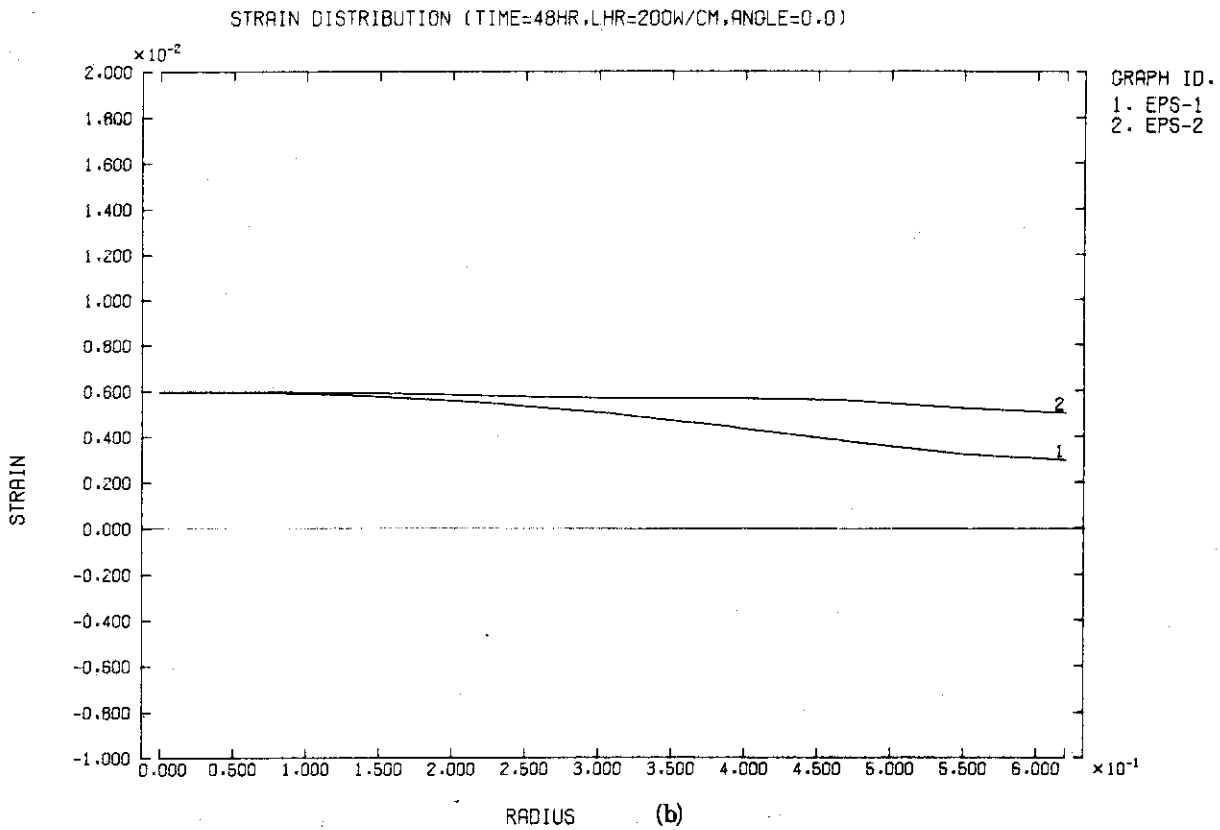
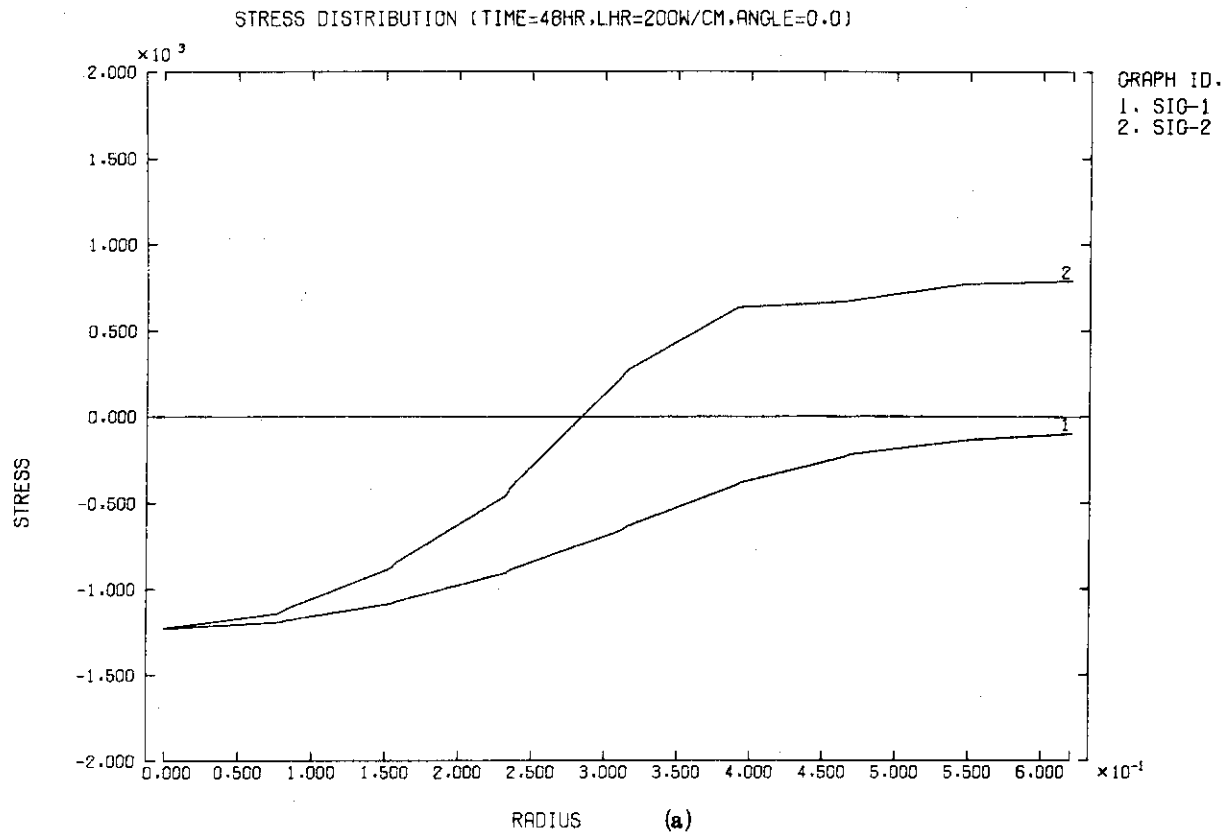
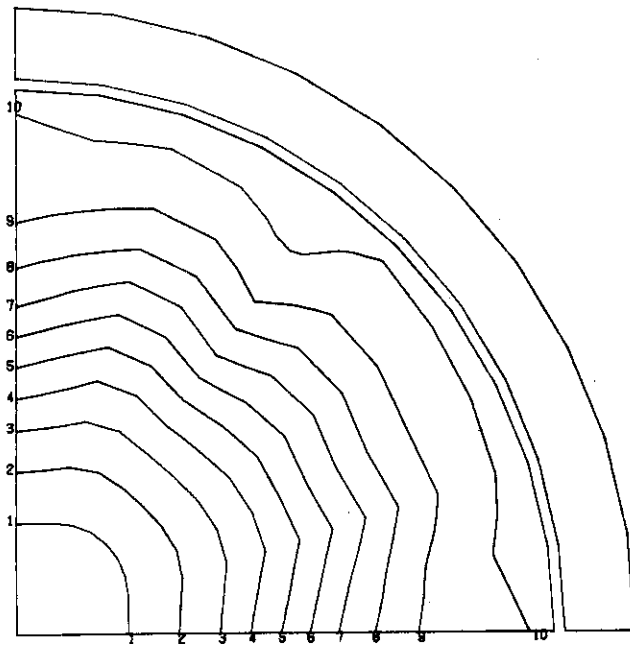


Fig. 4.6 Stress and strain distributions of pellet at 200 w/cm of linear heat rate.

SIG-R DISTRIBUTION (TIME=48HR,LHR=200W/CM)



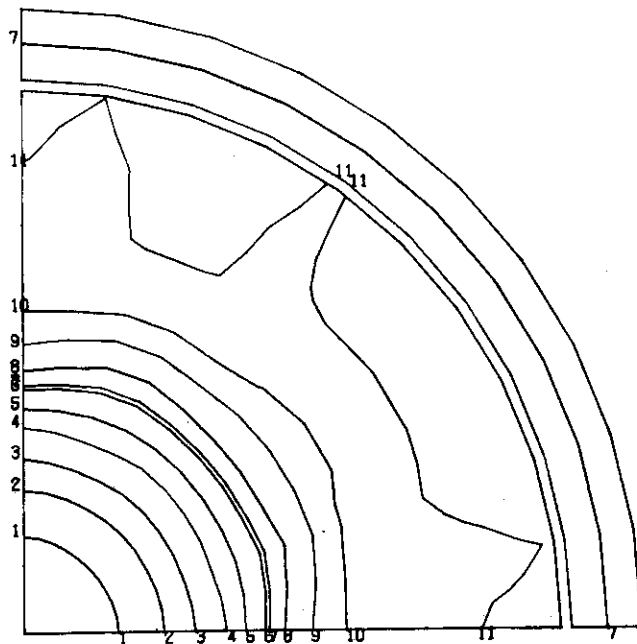
CONTOUR NO.= 7

CONTOUR NO.	CONTOUR VALUES
1	-1.117E+03
2	-1.005E+03
3	-8.937E+02
4	-7.823E+02
5	-6.708E+02
6	-5.593E+02
7	-4.478E+02
8	-3.364E+02
9	-2.249E+02
10	-1.134E+02

(c)

MAGNIFICATION = 1.907E+02

SIG-T DISTRIBUTION (TIME=48HR,LHR=200W/CM)



CONTOUR NO.= 8

CONTOUR NO.	CONTOUR VALUES
1	-1.030E+03
2	-8.321E+02
3	-6.341E+02
4	-4.361E+02
5	-2.381E+02
6	-4.011E+01
7	0
8	1.579E+02
9	3.559E+02
10	5.539E+02
11	7.519E+02

(d)

MAGNIFICATION = 1.907E+02

Fig. 4.6 Stress and strain distributions of pellet at 200 w/cm of linear heat rate.

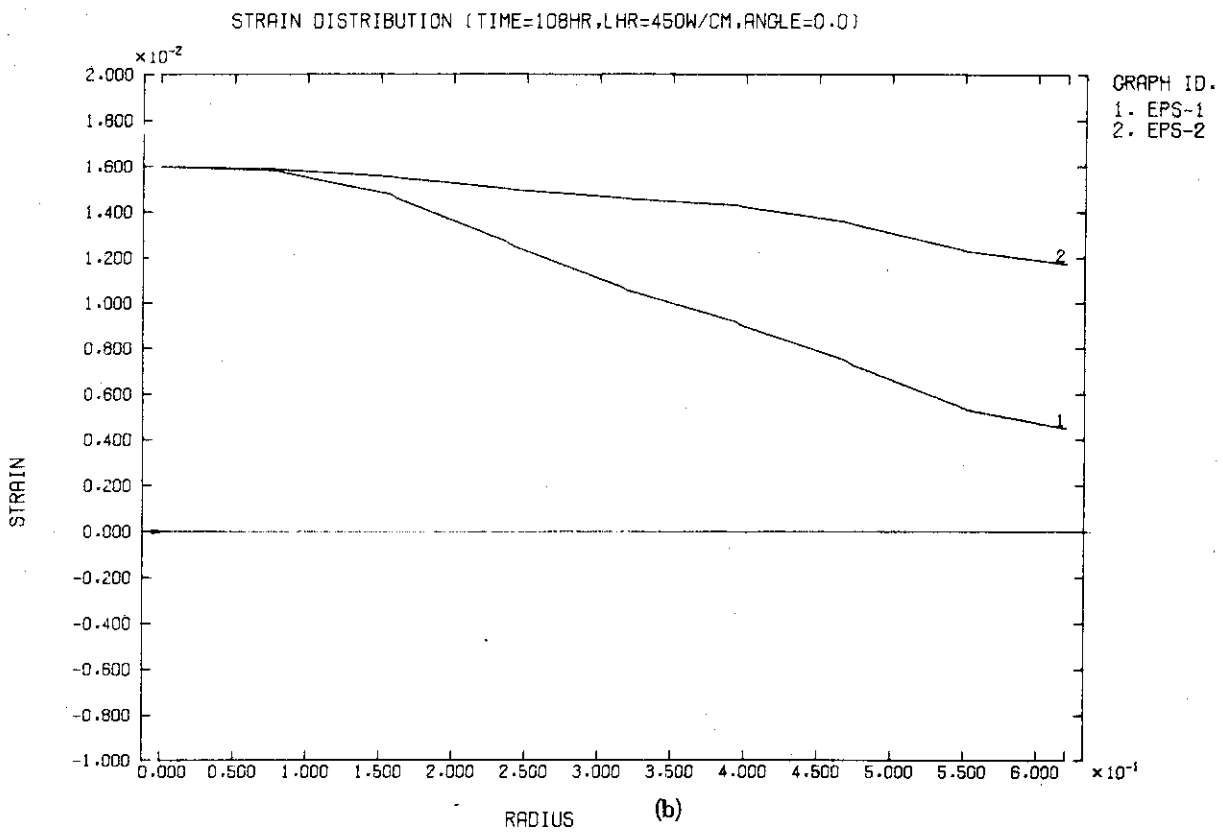
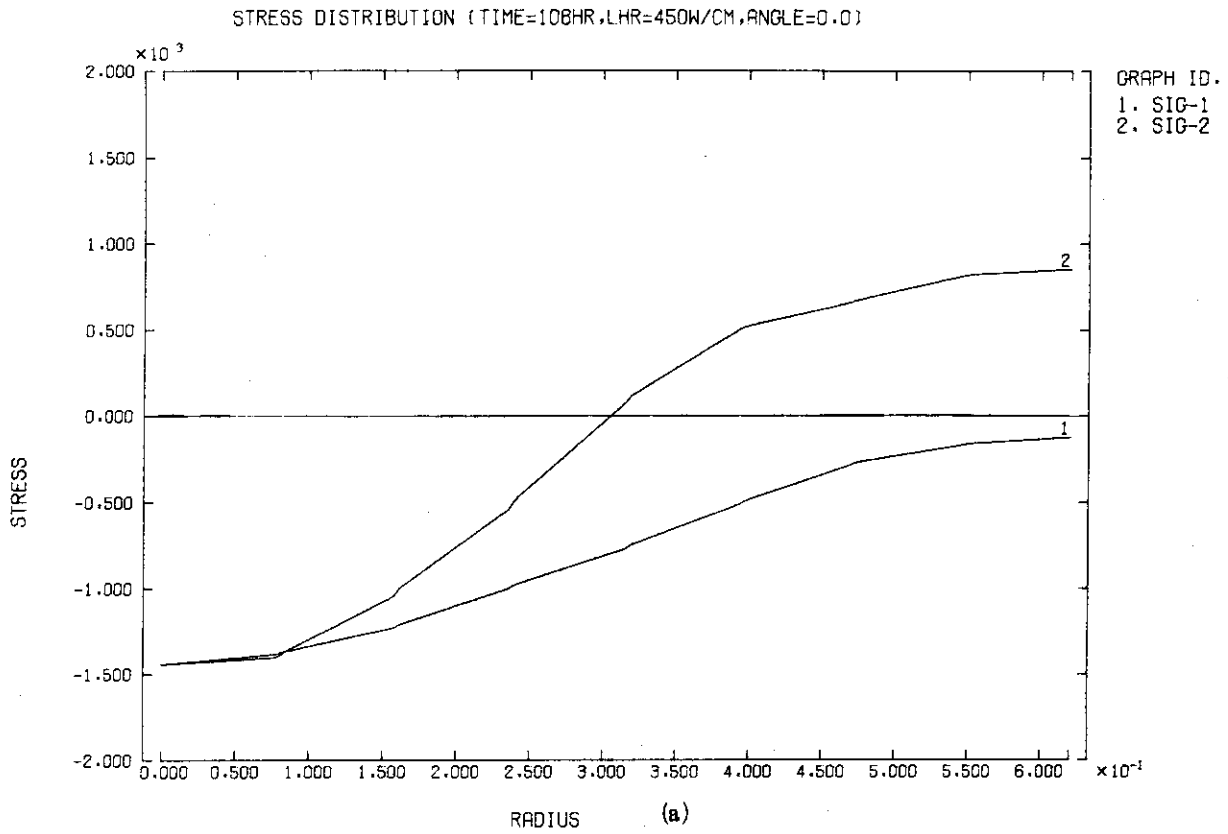
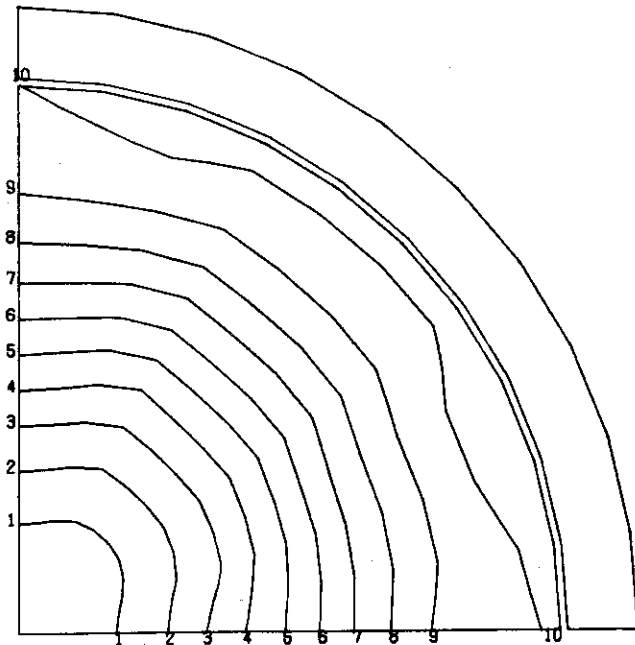


Fig. 4.7 Stress and strain distributions of pellet at 450 w/cm of linear heat rate.

SIG-R DISTRIBUTION (TIME=108HR,LHR=450W/CM)

CONTOUR NO.= 7  
 CONTOUR VALUES  
 1 -1.313E+03  
 2 -1.182E+03  
 3 -1.051E+03  
 4 -9.201E+02  
 5 -7.891E+02  
 6 -6.581E+02  
 7 -5.271E+02  
 8 -3.960E+02  
 9 -2.650E+02  
 10 -1.340E+02

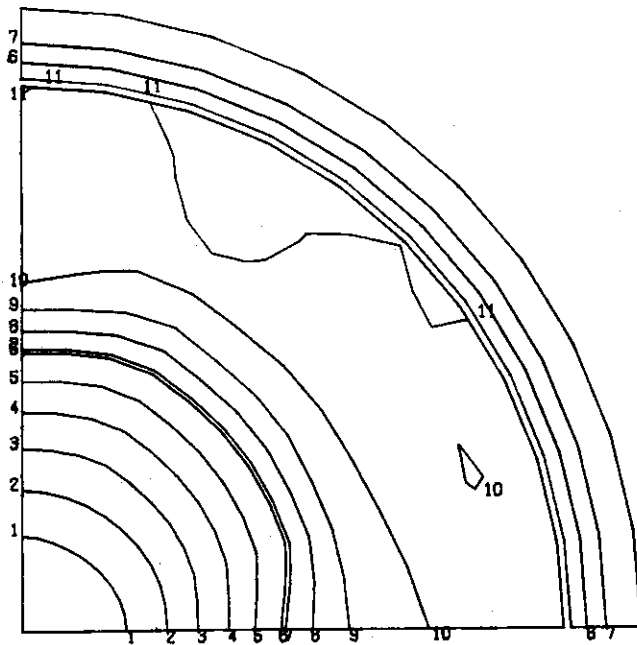


MAGNIFICATION = 1.907E+02

(c)

SIG-T DISTRIBUTION (TIME=108HR,LHR=450W/CM)

CONTOUR NO.= 8  
 CONTOUR VALUES  
 1 -1.210E+03  
 2 -9.761E+02  
 3 -7.420E+02  
 4 -5.080E+02  
 5 -2.739E+02  
 6 -3.980E+01  
 7 0.  
 8 1.943E+02  
 9 4.284E+02  
 10 6.624E+02  
 11 8.965E+02



MAGNIFICATION = 1.907E+02

(d)

Fig. 4.7 Stress and strain distributions of pellet at 450 w/cm of linear heat rate.

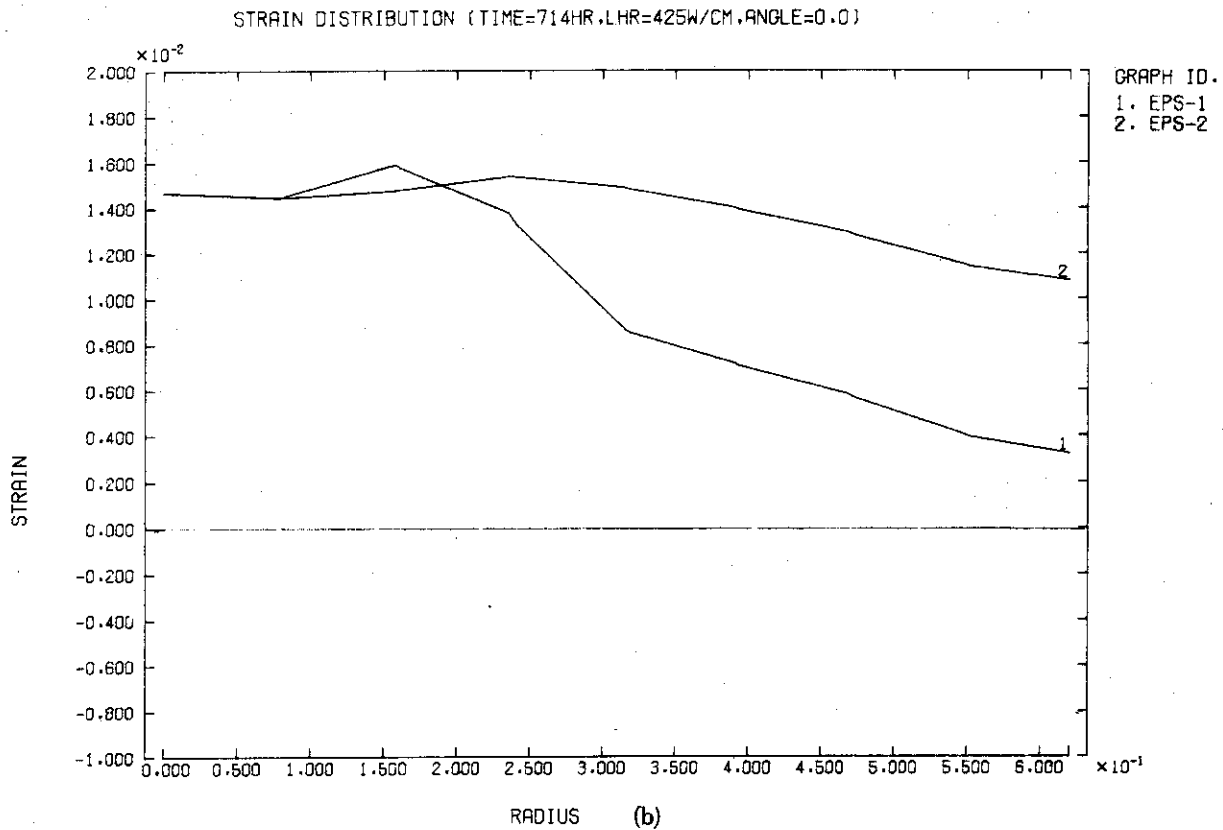
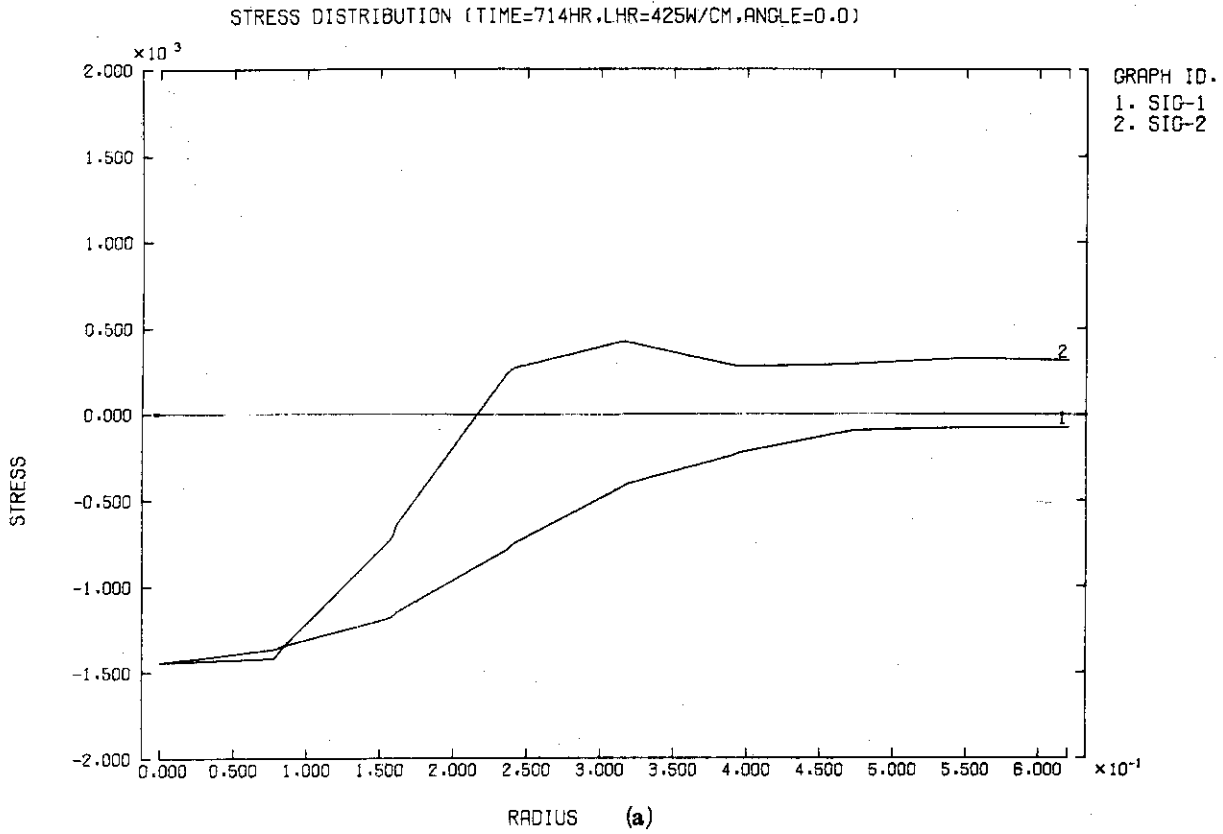
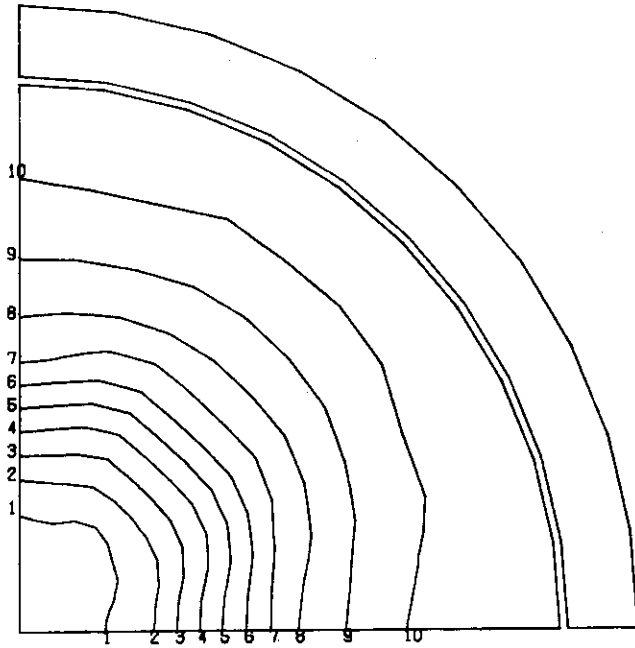


Fig. 48 Stress and strain distributions of pellet at 425 w/cm of linear heat rate.



SIG-R DISTRIBUTION (TIME=714HR,LHR=425W/CM)



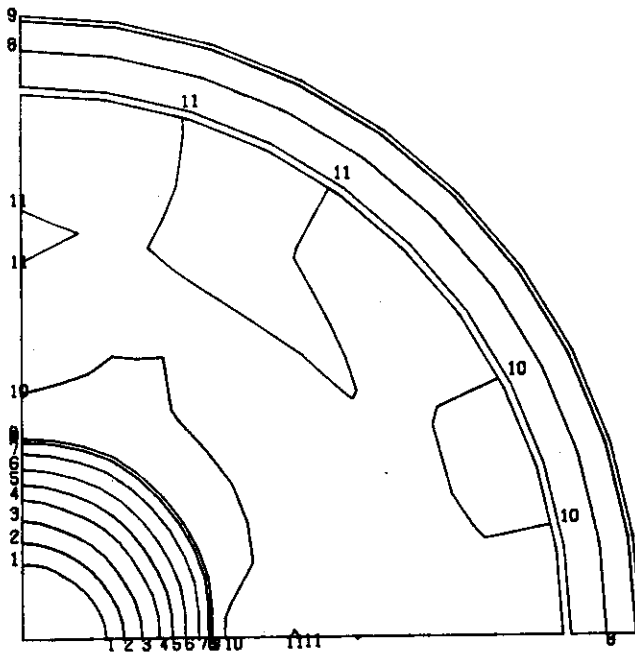
CONTOUR NO.= 7

CONTOUR NO.	CONTOUR VALUES
1	-1.312E+03
2	-1.181E+03
3	-1.050E+03
4	-9.194E+02
5	-7.884E+02
6	-6.574E+02
7	-5.264E+02
8	-3.954E+02
9	-2.644E+02
10	-1.334E+02

MAGNIFICATION = 1.907E+02

(c)

SIG-T DISTRIBUTION (TIME=714HR,LHR=425W/CM)



CONTOUR NO.= 8

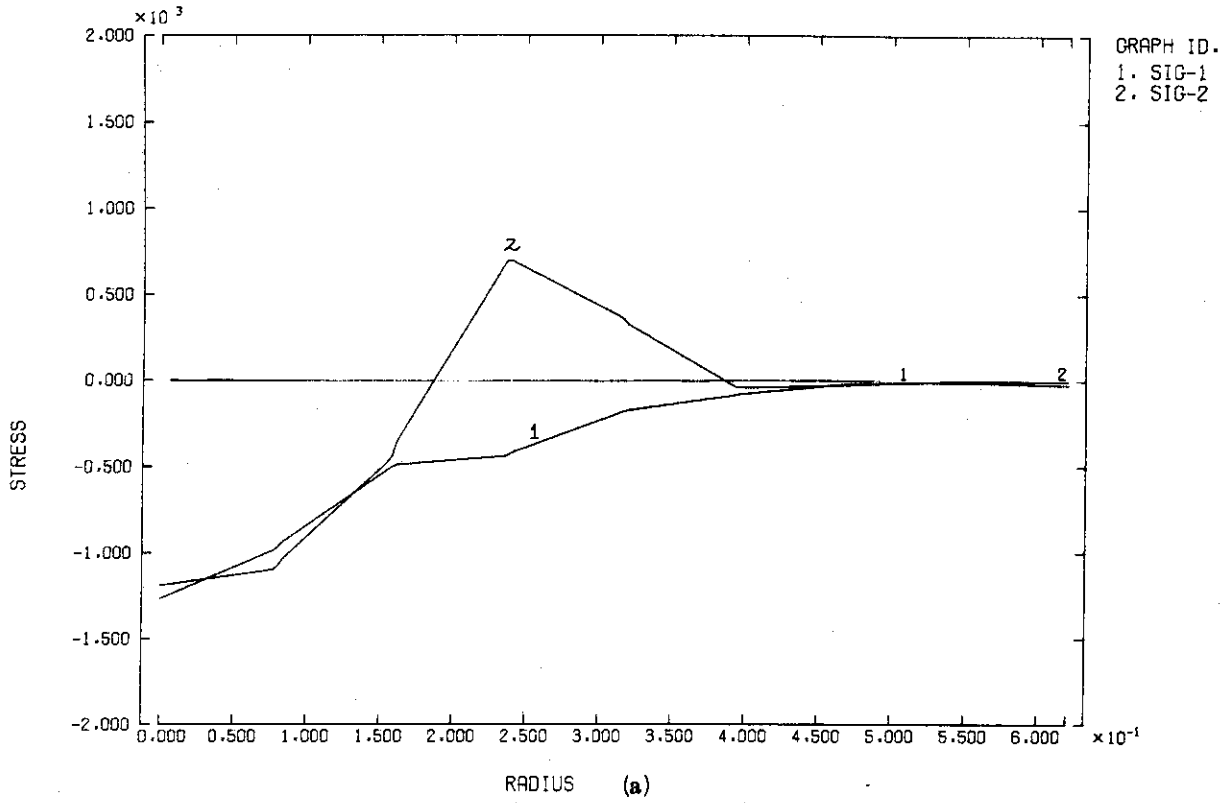
CONTOUR NO.	CONTOUR VALUES
1	-1.257E+03
2	-1.071E+03
3	-8.850E+02
4	-6.991E+02
5	-5.132E+02
6	-3.273E+02
7	-1.414E+02
8	0.
9	4.454E+01
10	2.304E+02
11	4.163E+02

MAGNIFICATION = 1.907E+02

(d)

Fig. 4.8 Stress and strain distributions of pellet at 425 w/cm of linear heat rate.

STRESS DISTRIBUTION (TIME=1320HR,LHR=400W/CM,ANGLE=0.0)



STRAIN DISTRIBUTION (TIME=1320HR,LHR=400W/CM,ANGLE=0.0)

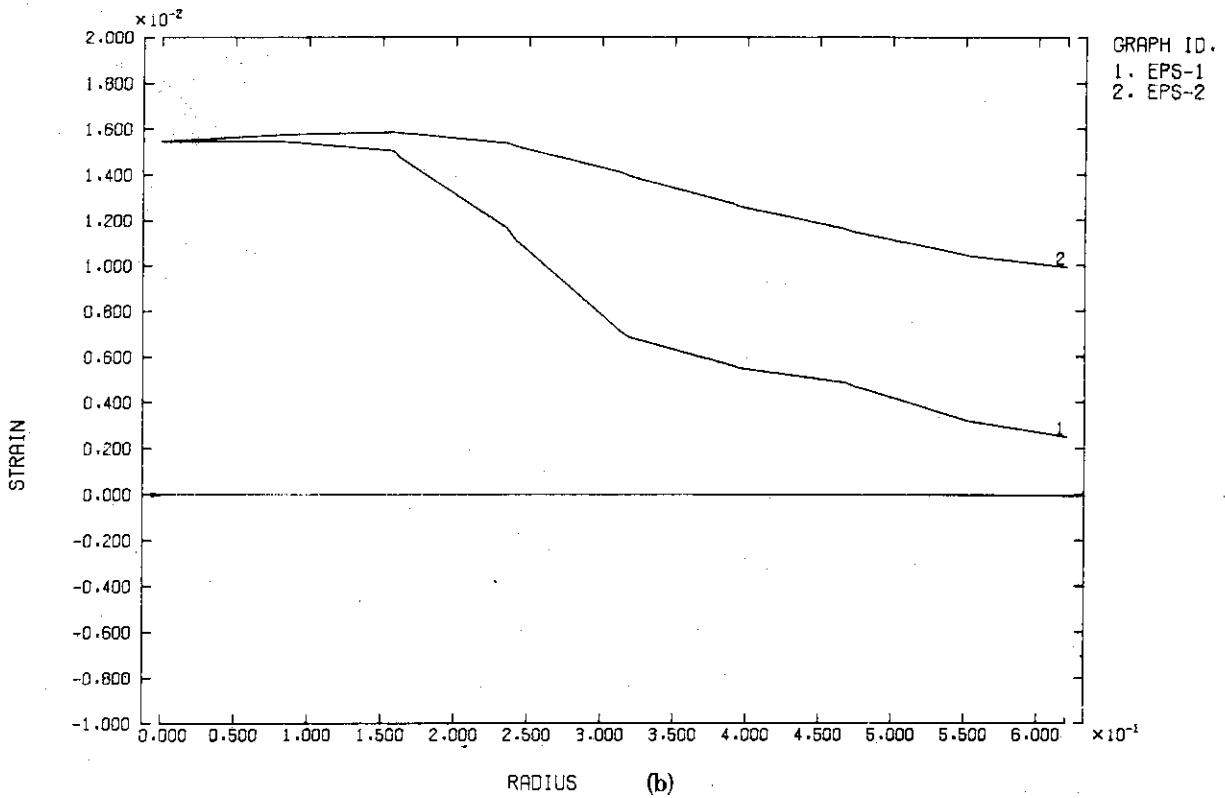
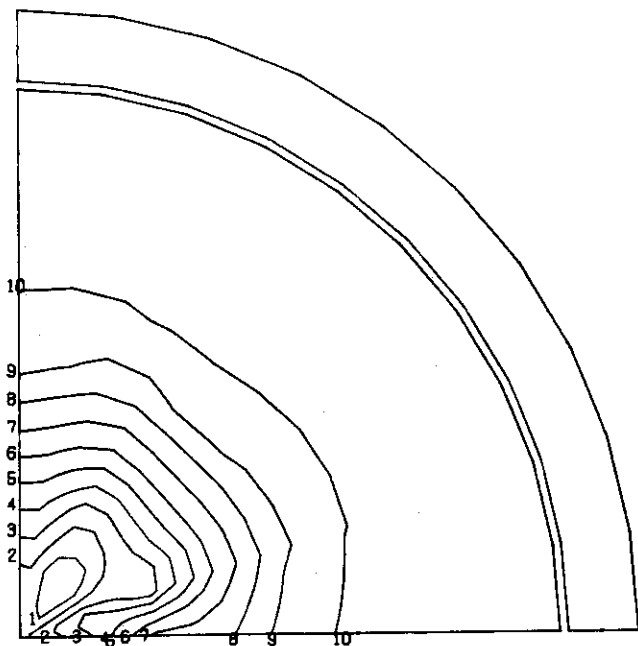


Fig. 4.9 Stress and strain distributions of pellet at 400 w/cm of linear heat rate.

SIG-R DISTRIBUTION (TIME=1320HR,LHR=400W/CM)

CONTOUR NO.= 7  
 CONTOUR VALUES  
 1 -1.361E+03  
 2 -1.223E+03  
 3 -1.085E+03  
 4 -9.470E+02  
 5 -8.089E+02  
 6 -6.708E+02  
 7 -5.327E+02  
 8 -3.946E+02  
 9 -2.565E+02  
 10 -1.184E+02

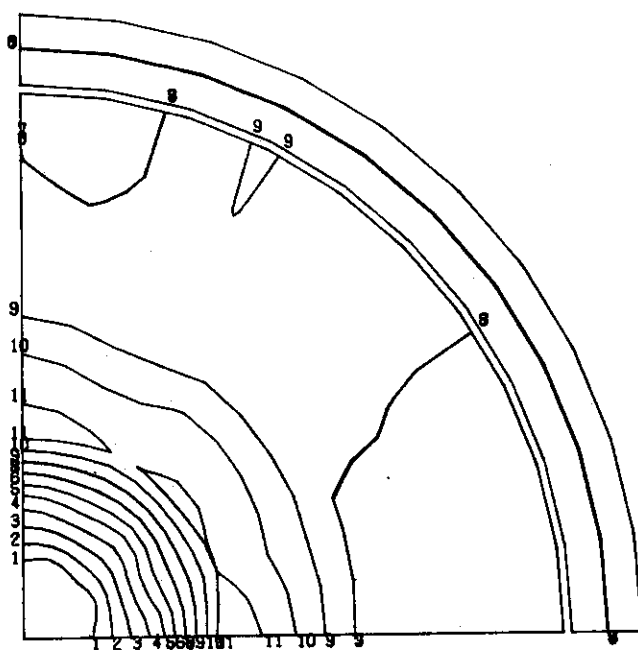


MAGNIFICATION = 1.907E+02

(c)

SIG-T DISTRIBUTION (TIME=1320HR,LHR=400W/CM)

CONTOUR NO.= 8  
 CONTOUR VALUES  
 1 -1.073E+03  
 2 -8.337E+02  
 3 -7.148E+02  
 4 -5.368E+02  
 5 -3.588E+02  
 6 -1.779E+02  
 7 0.  
 8 1.057E+00  
 9 1.800E+02  
 10 3.590E+02  
 11 5.379E+02

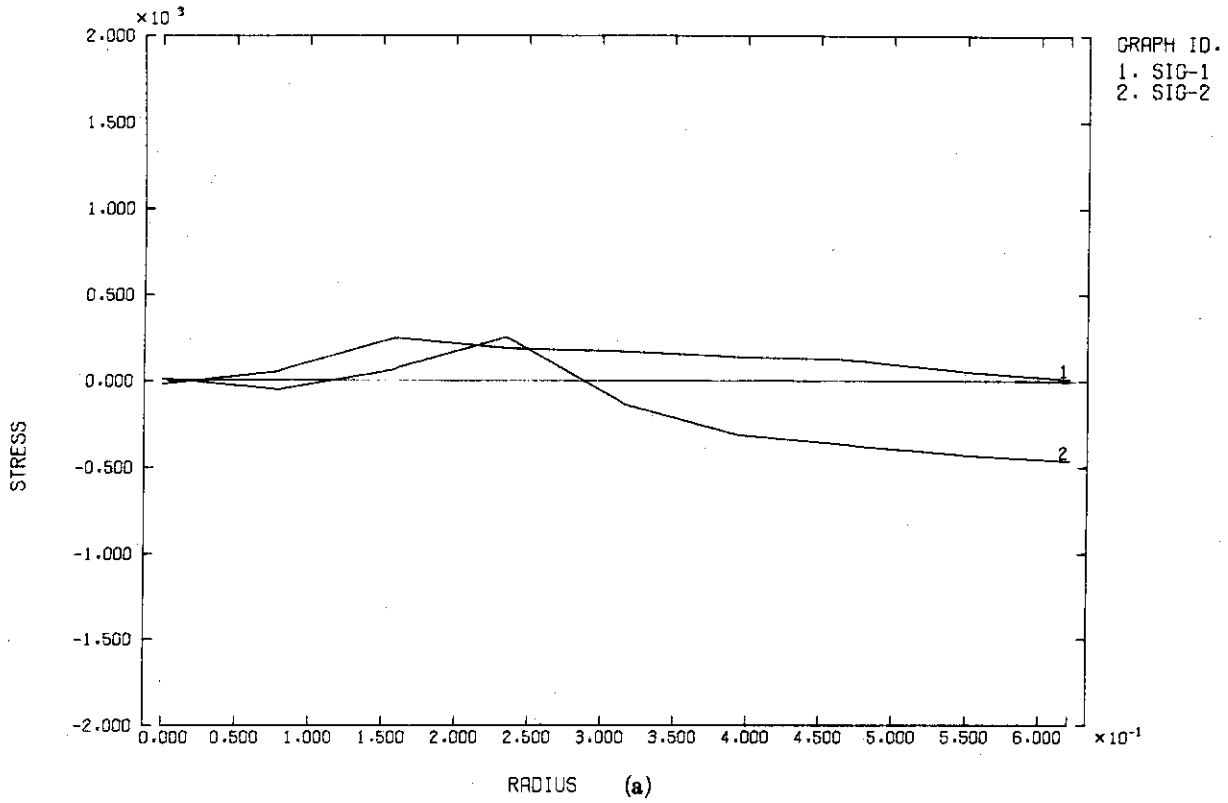


MAGNIFICATION = 1.907E+02

(d)

Fig. 4.9 Stress and strain distributions of pellet at 400 w/cm of linear heat rate.

STRESS DISTRIBUTION (TIME=1344HR,LHR=300W/CM,ANGLE=0.0)



STRAIN DISTRIBUTION (TIME=1344HR,LHR=300W/CM,ANGLE=0.0)

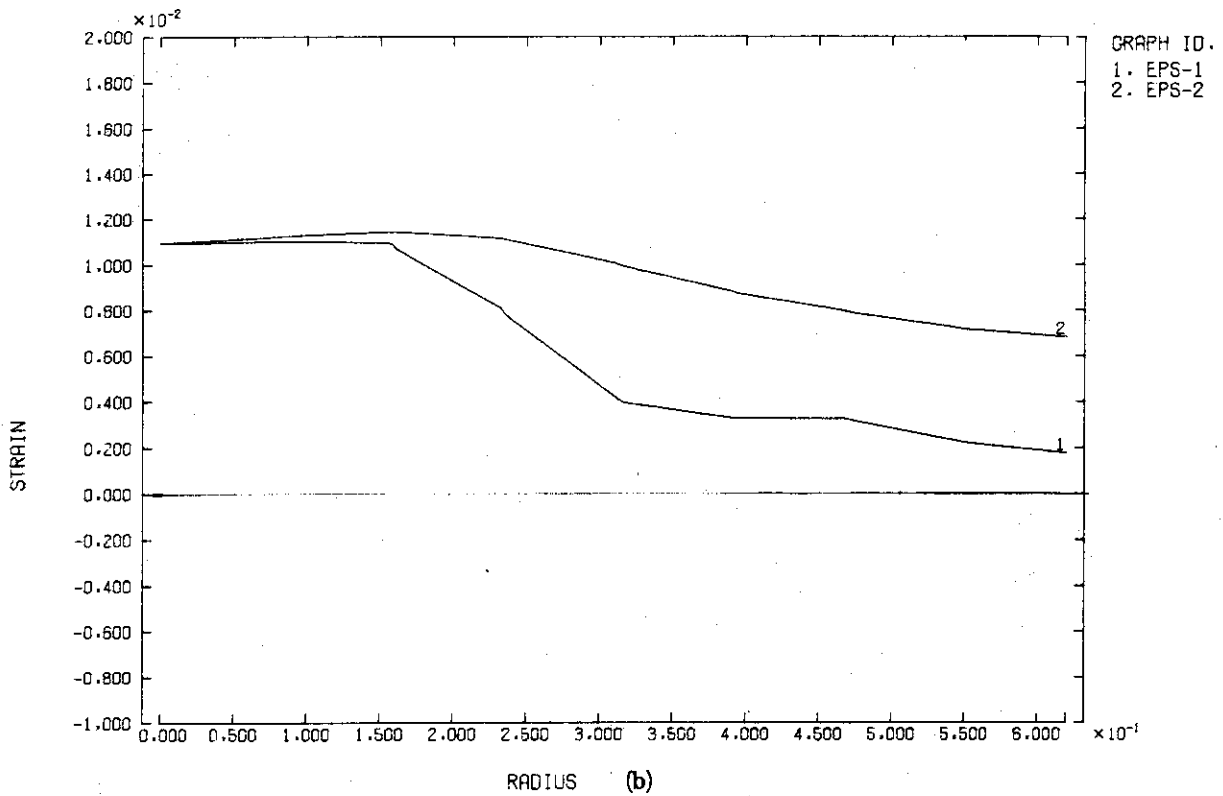
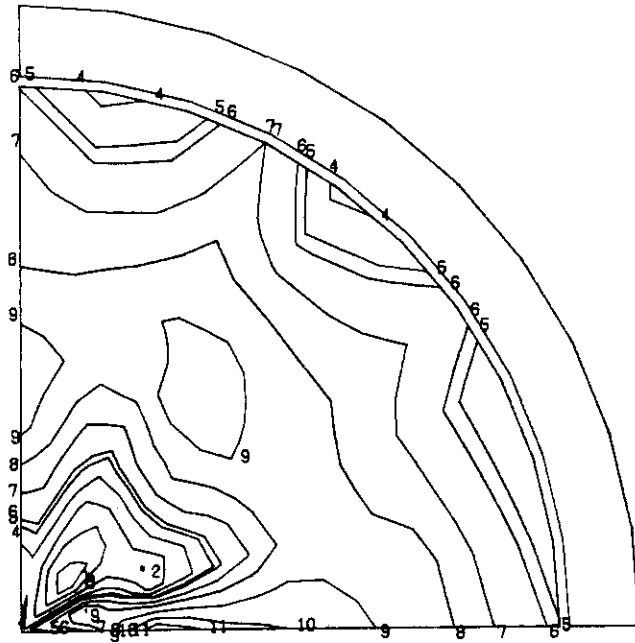


Fig. 410 Stress and strain distributions of pellet at 300 w/cm of linear heat rate.

SIG-R DISTRIBUTION (TIME=1344HR,LHR=300W/CM)

CONTOUR NO.= 7

CONTOUR NO.	CONTOUR VALUES
1	-1.494E+02
2	-1.093E+02
3	-6.920E+01
4	-2.908E+01
5	0.
6	1.104E+01
7	5.116E+01
8	9.128E+01
9	1.314E+02
10	1.715E+02
11	2.116E+02



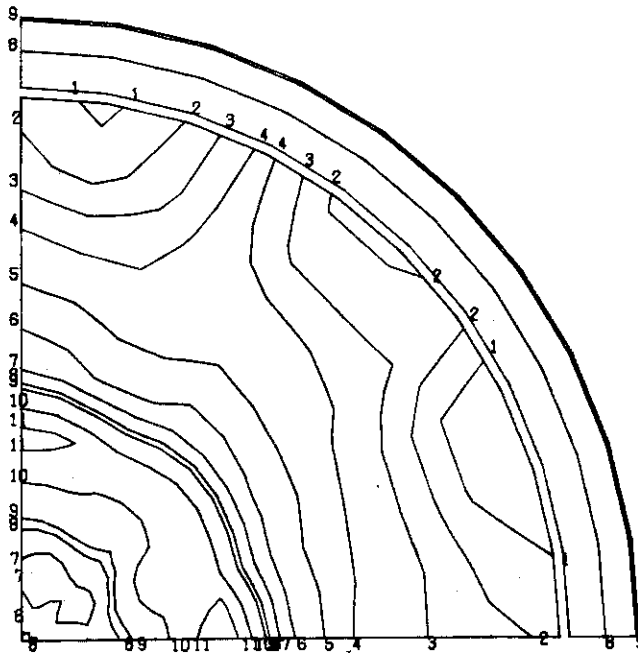
MAGNIFICATION = 1.907E+02

(c)

SIG-T DISTRIBUTION (TIME=1344HR,LHR=300W/CM)

CONTOUR NO.= 8

CONTOUR NO.	CONTOUR VALUES
1	-5.312E+02
2	-4.621E+02
3	-3.729E+02
4	-2.538E+02
5	-2.147E+02
6	-1.356E+02
7	-6.647E+01
8	0.
9	2.265E+01
10	1.018E+02
11	1.809E+02



MAGNIFICATION = 1.907E+02

(d)

Fig. 4.10 Stress and strain distributions of pellet at 300 w/cm of linear heat rate.

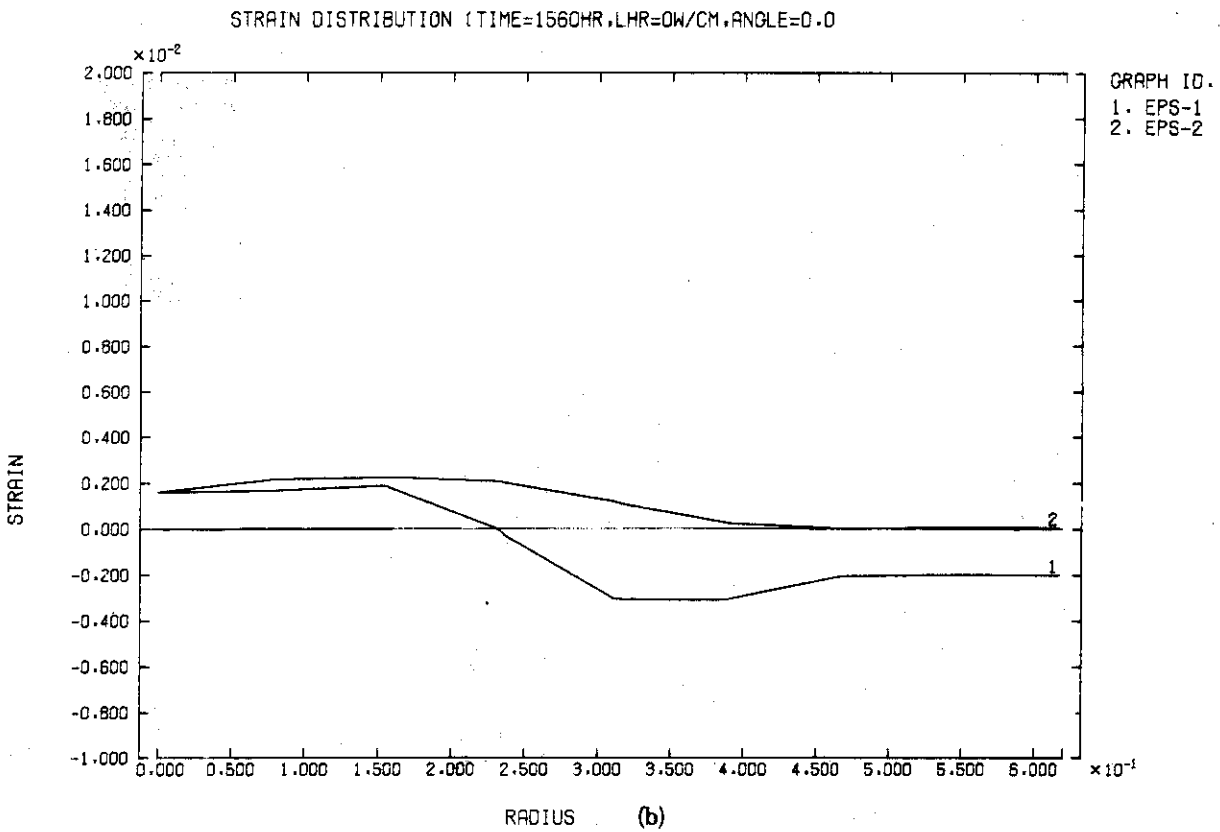
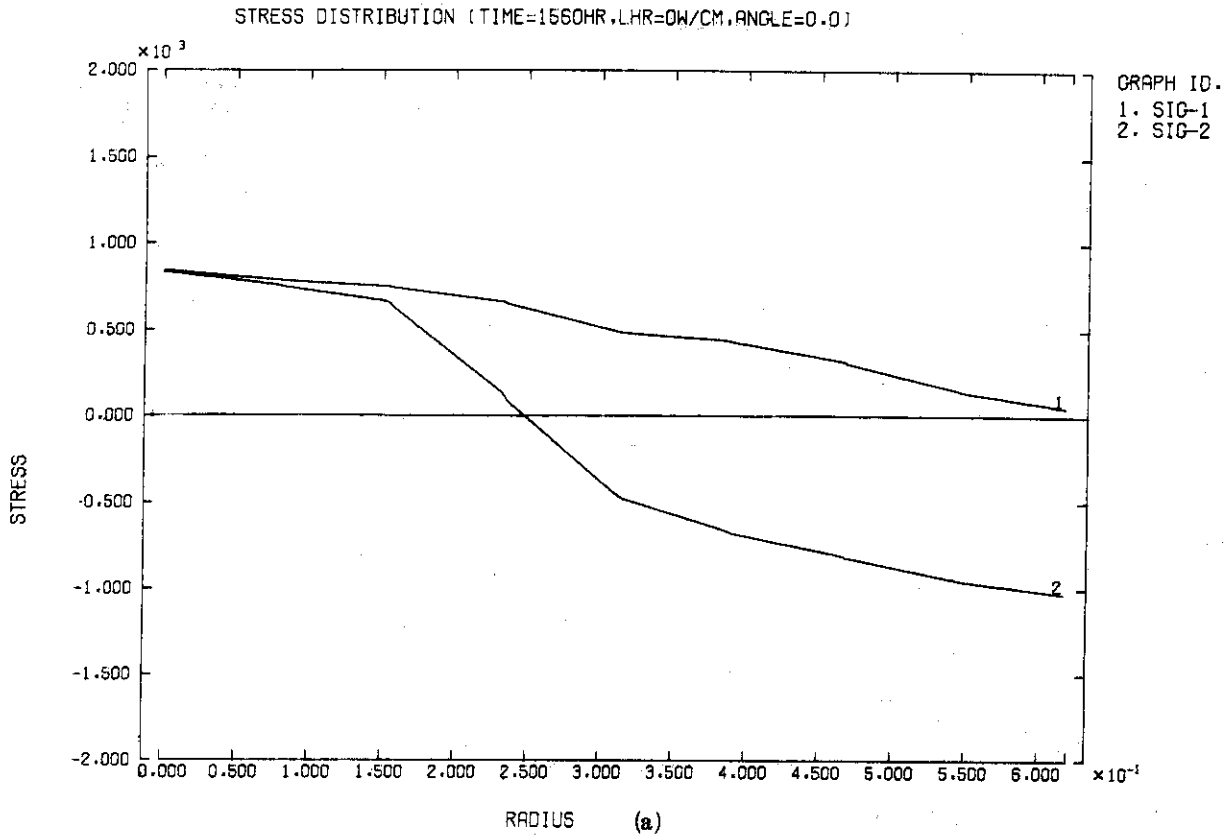
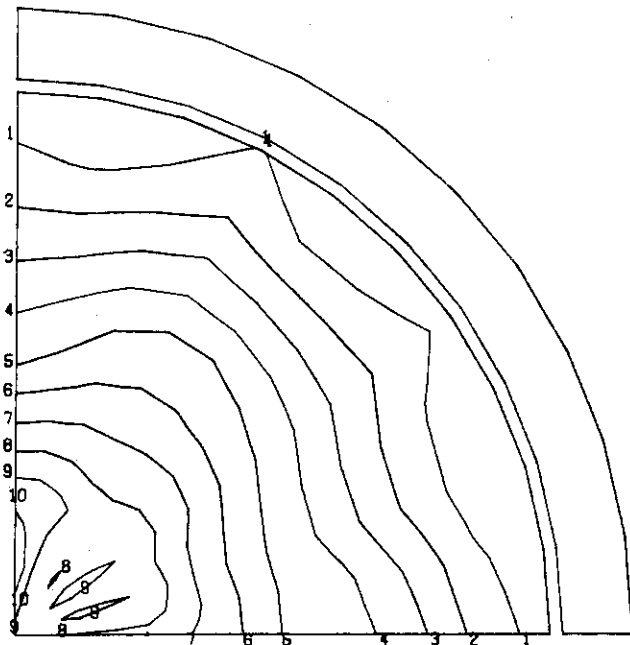


Fig. 4.11 Stress and strain distributions of pellet at 0 w/cm of linear heat rate.

SIG-R DISTRIBUTION (TIME=1560HR,LHR=0W/CM)

CONTOUR NO.= 7  
 CONTOUR VALUES  
 1 8.981E+01  
 2 1.894E+02  
 3 2.891E+02  
 4 3.887E+02  
 5 4.883E+02  
 6 5.879E+02  
 7 6.876E+02  
 8 7.872E+02  
 9 8.868E+02  
 10 9.865E+02

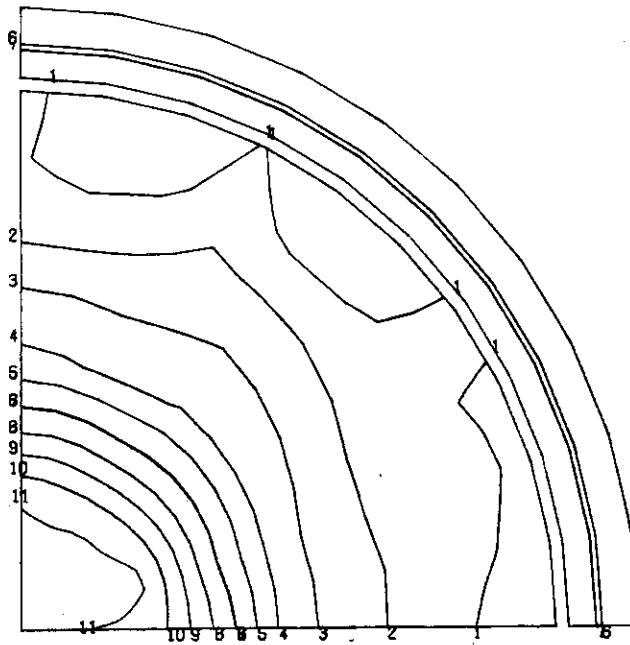


MAGNIFICATION = 1.907E+02

(c)

SIG-T DISTRIBUTION (TIME=1560HR,LHR=0W/CM)

CONTOUR NO.= 8  
 CONTOUR VALUES  
 1 -9.222E+02  
 2 -7.368E+02  
 3 -5.514E+02  
 4 -3.661E+02  
 5 -1.807E+02  
 6 0.  
 7 4.654E+00  
 8 1.900E+02  
 9 3.754E+02  
 10 5.607E+02  
 11 7.461E+02



MAGNIFICATION = 1.907E+02

(d)

Fig. 4.11 Stress and strain distributions of pellet at 0 w/cm of linear heat rate.





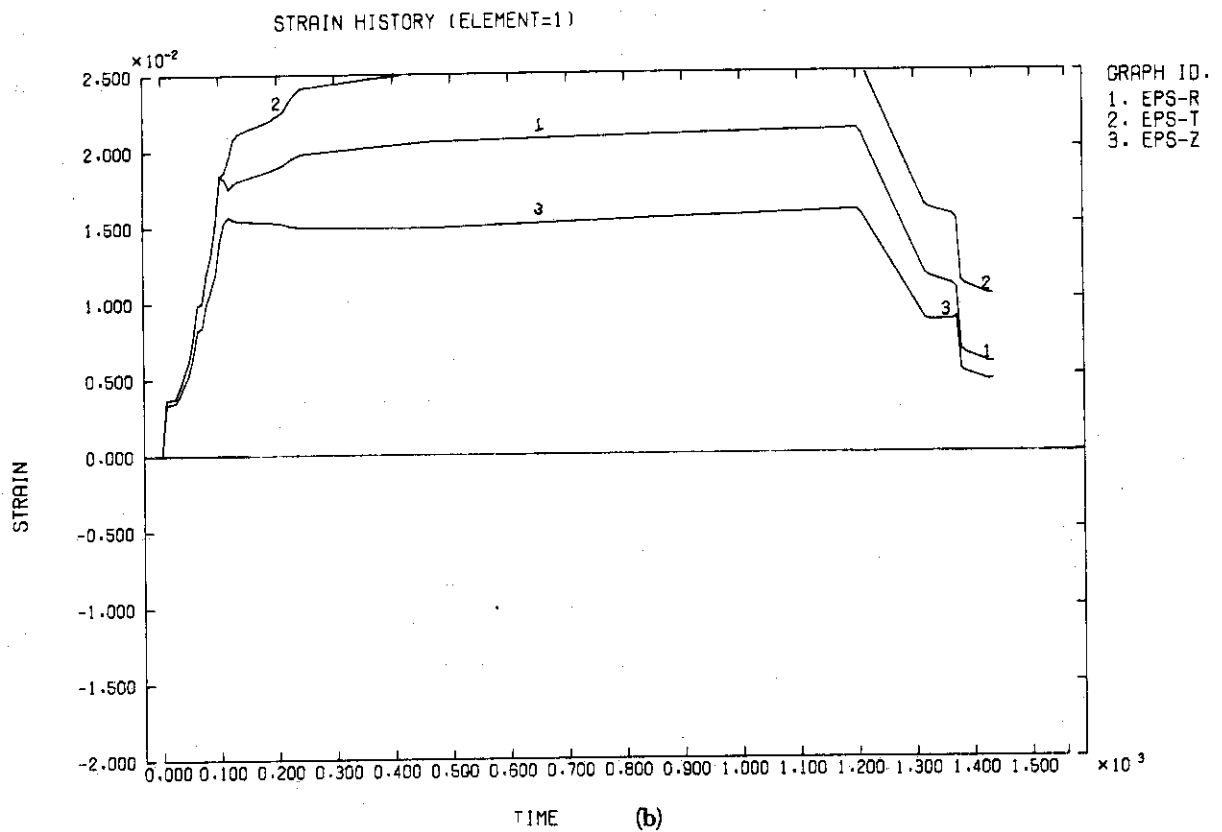
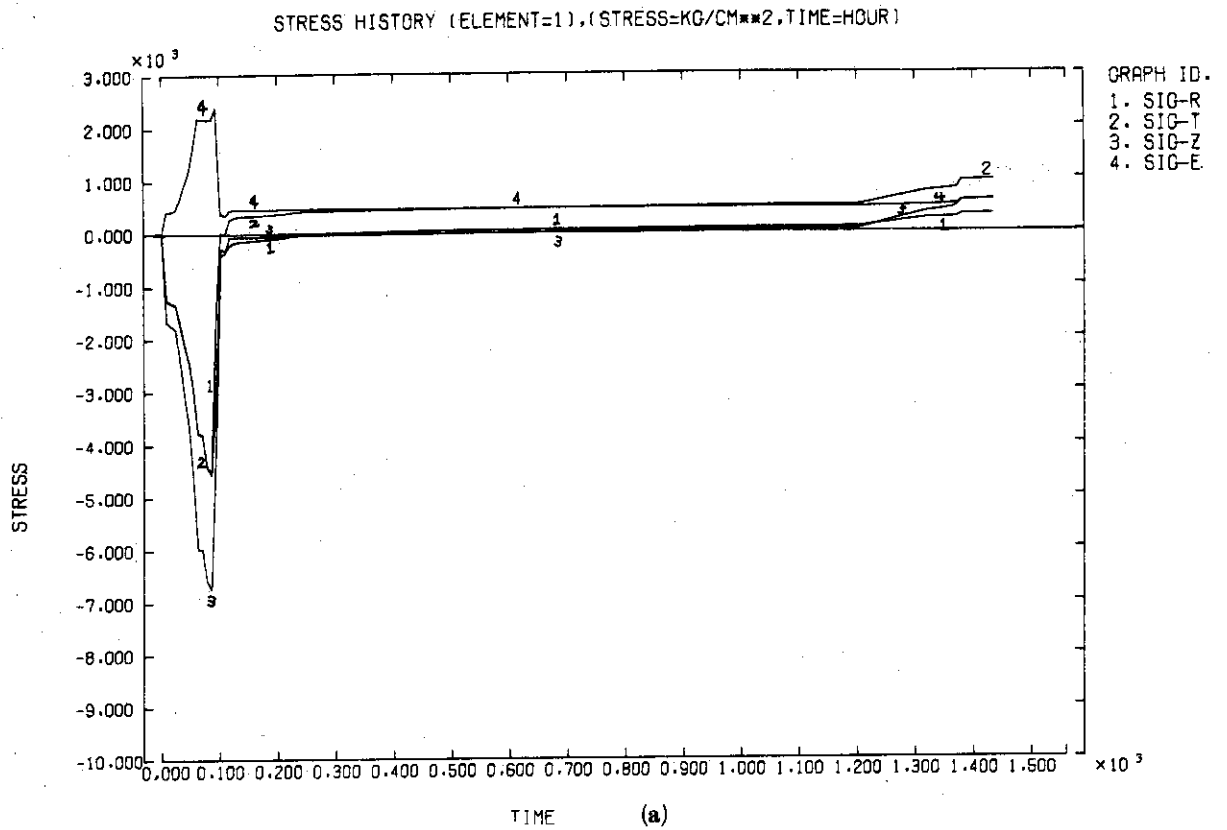


Fig. 4.13 a) Stress history and b) strain history at the element 1 which is located at the center of pellet.

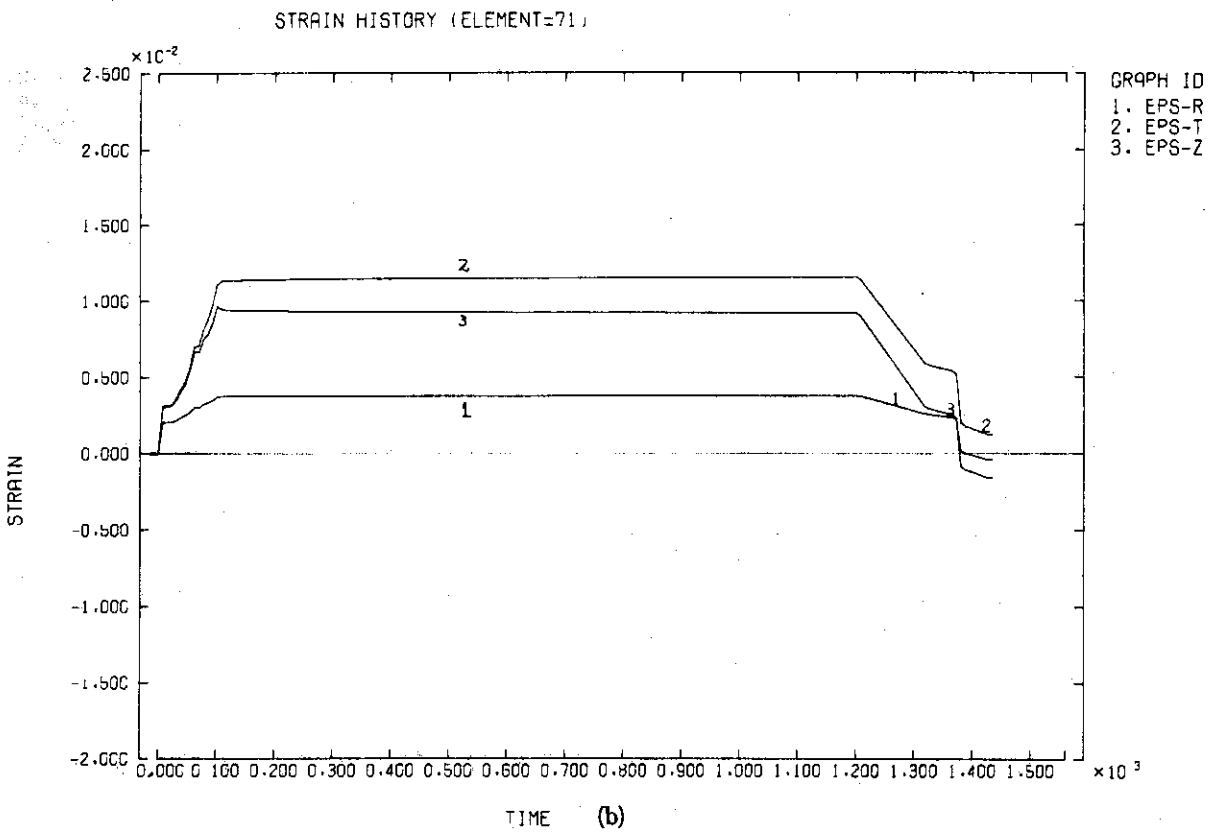
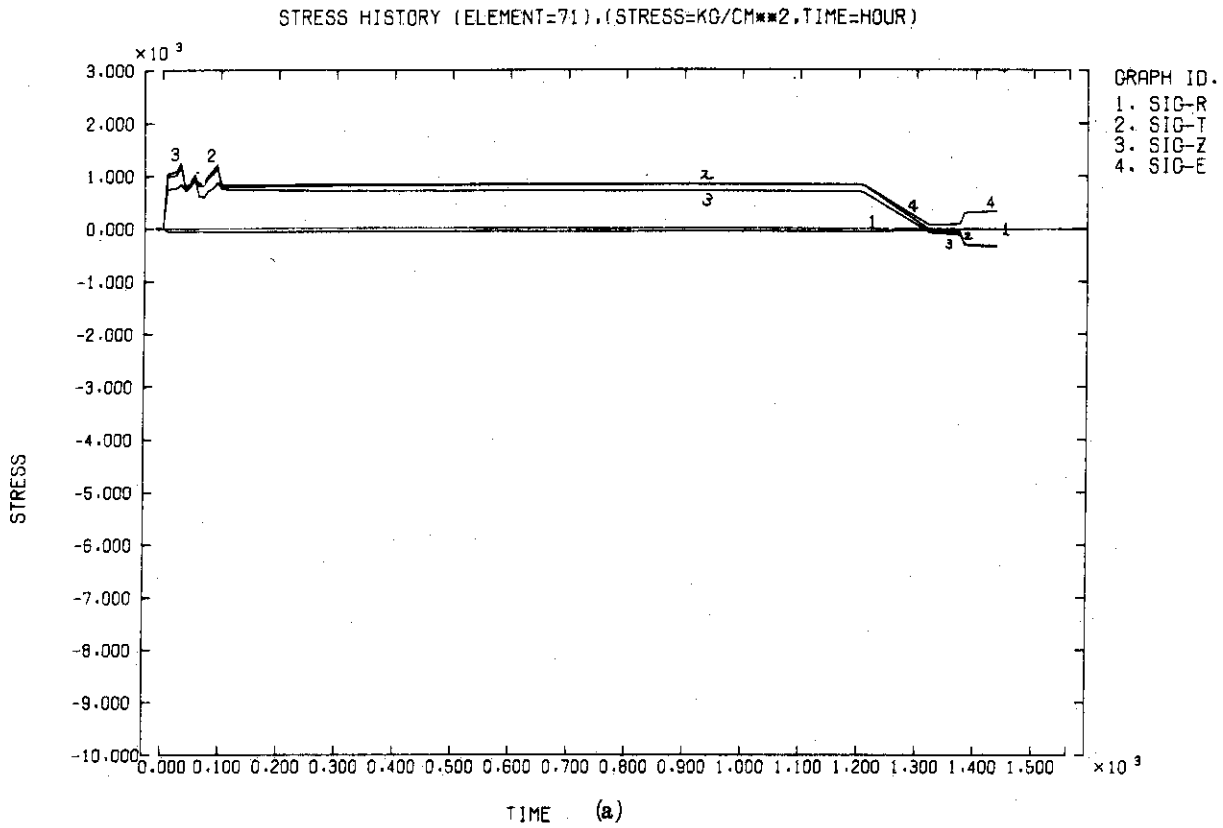


Fig. 4.14 a) Stress history and b) strain history at the element 71 which is located at the circumference in  $z=0$ .

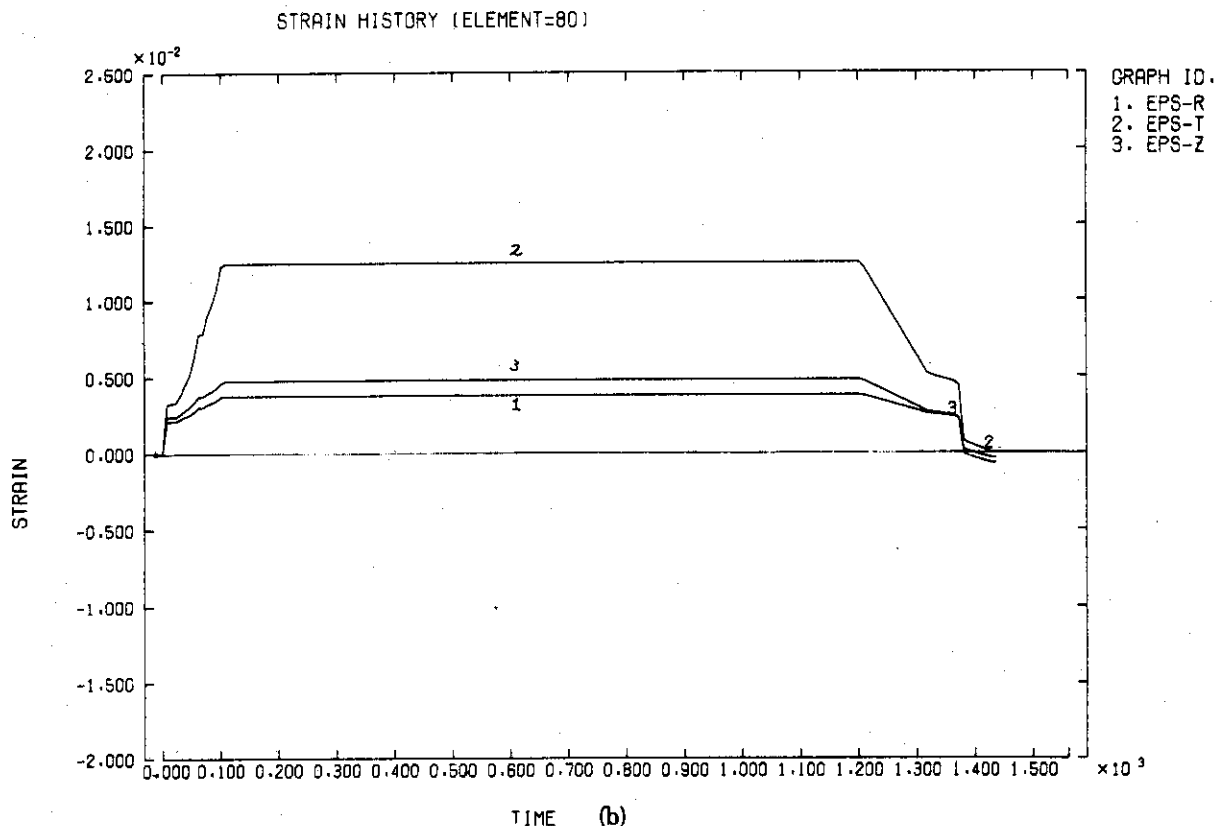
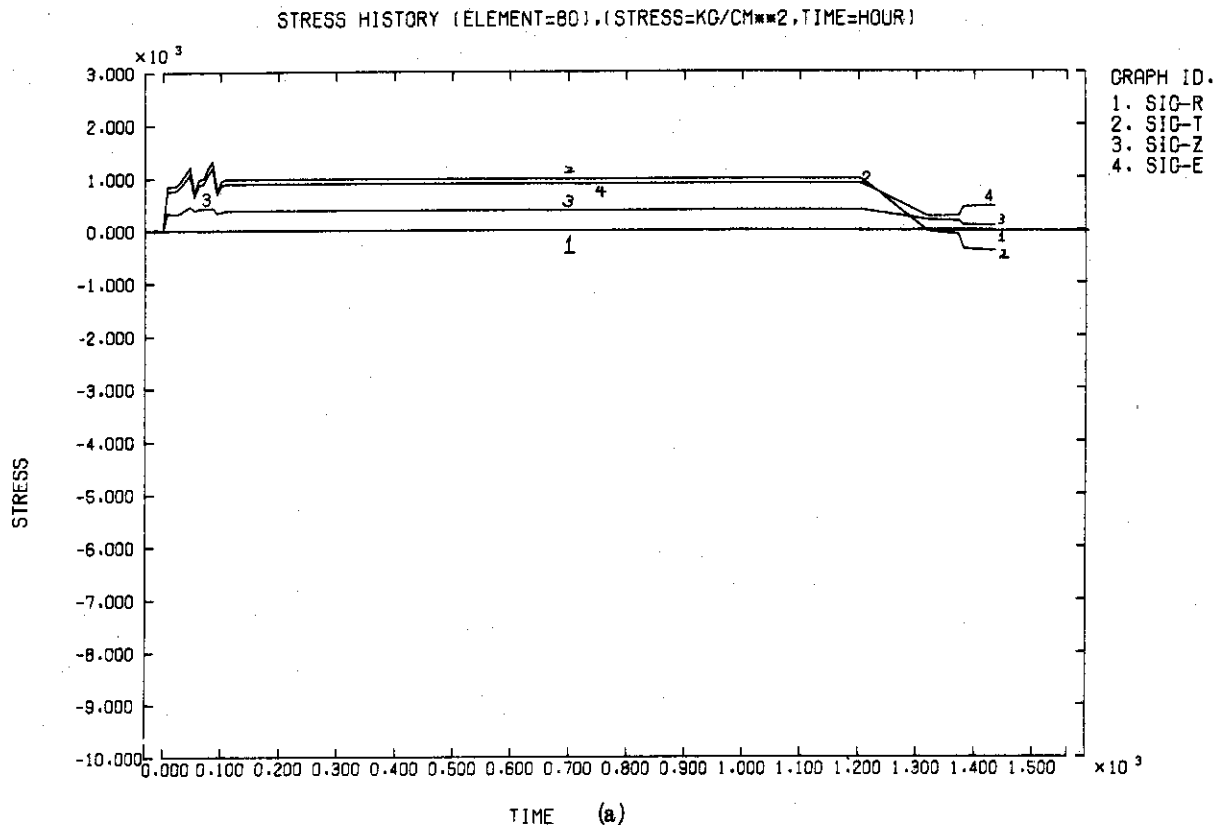
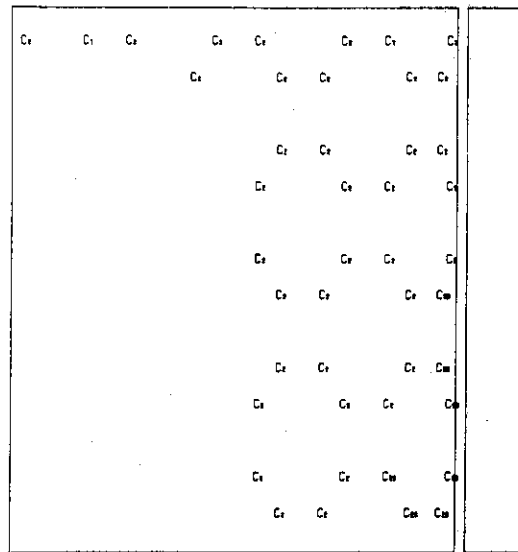
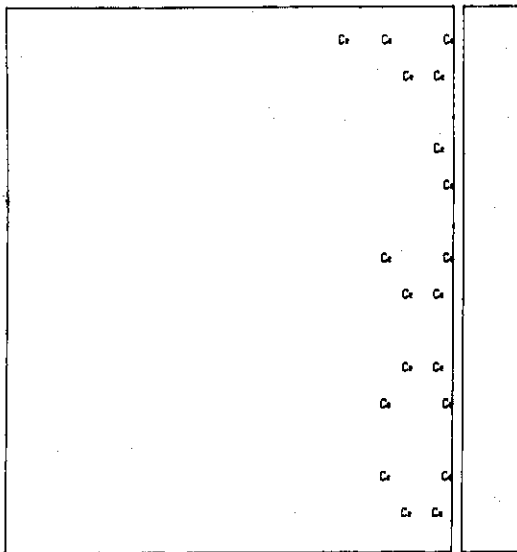


Fig. 4.15 a) Stress history and b) strain history at the element 80 which is located at the edge of pellet.

PELLET STATE (TIME=24HR,LHR=100W/CM),(Y=YIELD,C=CRACK)

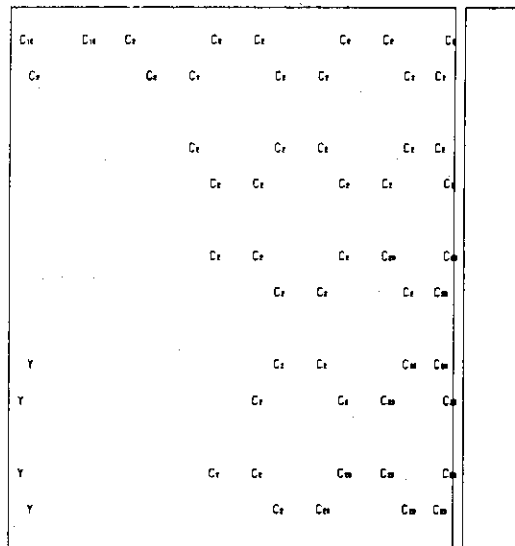
PELLET STATE (TIME=48HR,LHR=200W/CM),(Y=YIELD,C=CRACK)



MAGNIFICATION = 1.818E+02 (a)

MAGNIFICATION = 1.818E+02 (b)

PELLET STATE (TIME=72HR,LHR=300W/CM),(Y=YIELD,C=CRACK)

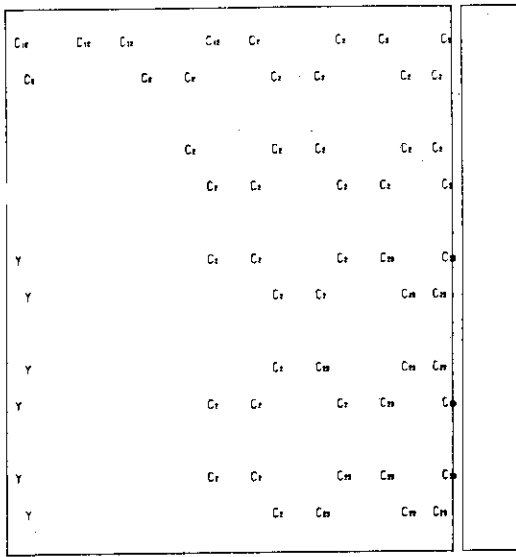


MAGNIFICATION = 1.818E+02 (c)

Fig. 416 Crack and plasticity areas of pellet at linear heat rate: a) 100w/cm, b) 200w/cm, c) 300w/cm,

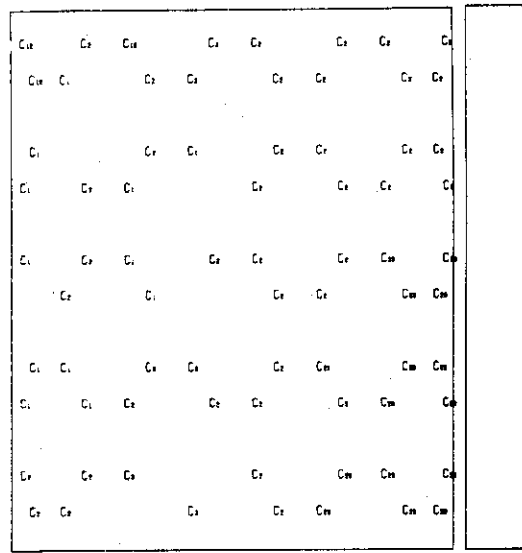
PELLET STATE (TIME=96HR,LHR=400W/CM),(Y=YIELD,C=CRACK)

PELLET STATE (TIME=1320HR,LHR=450W/CM),(Y=YIELD,C=CRACK)



MAGNIFICATION = 1.818E+02

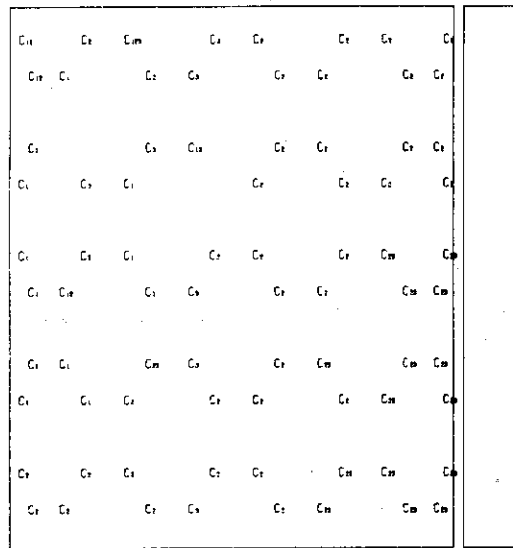
(d)



MAGNIFICATION = 1.818E+02

(e)

PELLET STATE (TIME=1440HR,LHR=0.W/CM),(Y=YIELD,C=CRACK)



MAGNIFICATION = 1.818E+02

(f)

Fig. 4.16

d) 400w/cm, e) 450w/cm, f) 0w/cm.

(C<sub>1</sub>, C<sub>2</sub>, C<sub>3</sub> and Y denote circumferential, radial, axial cracks and plasticity area, respectively.)

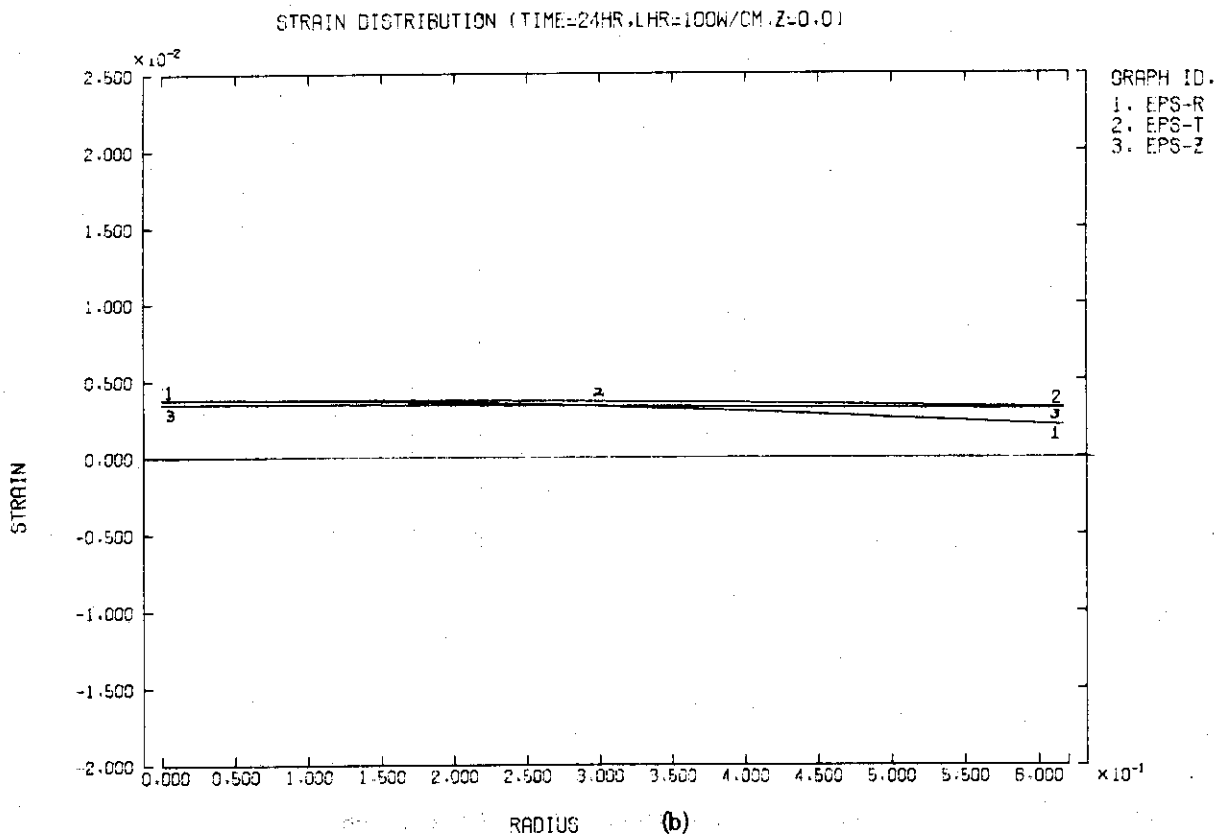
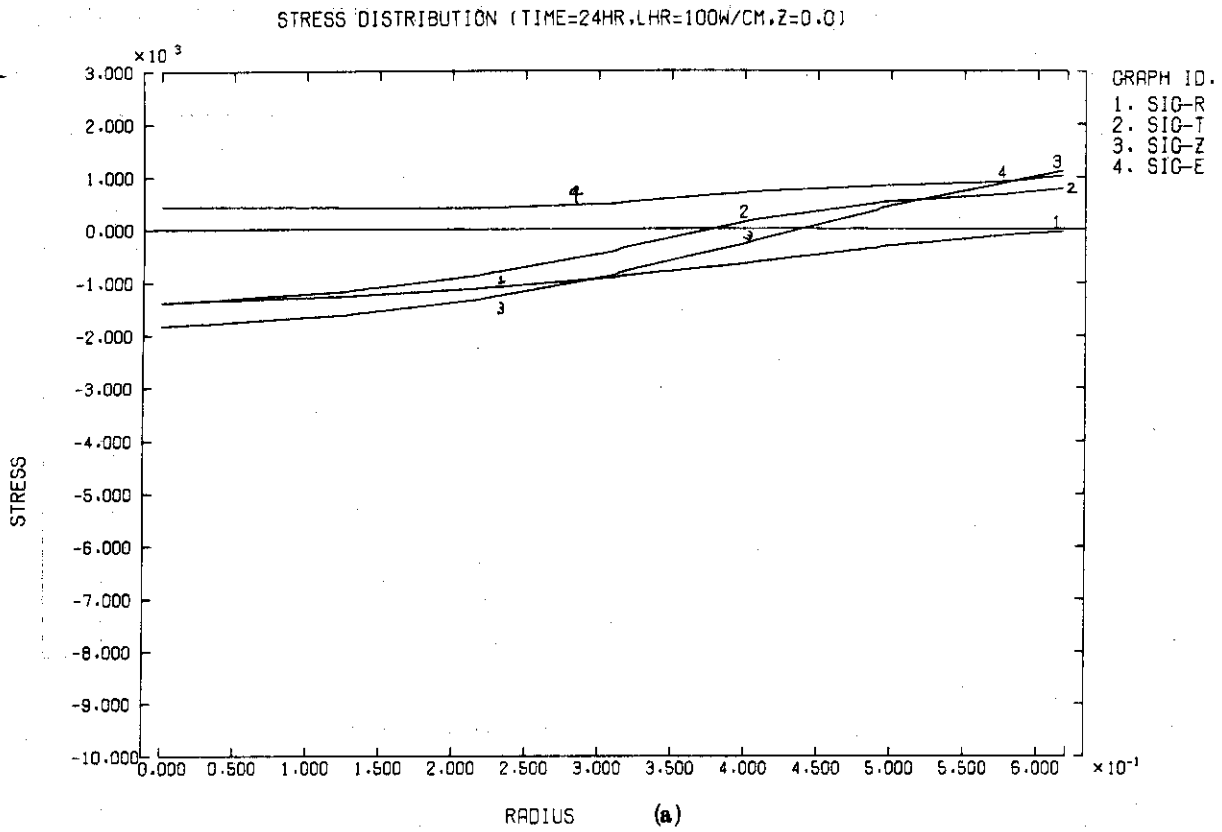
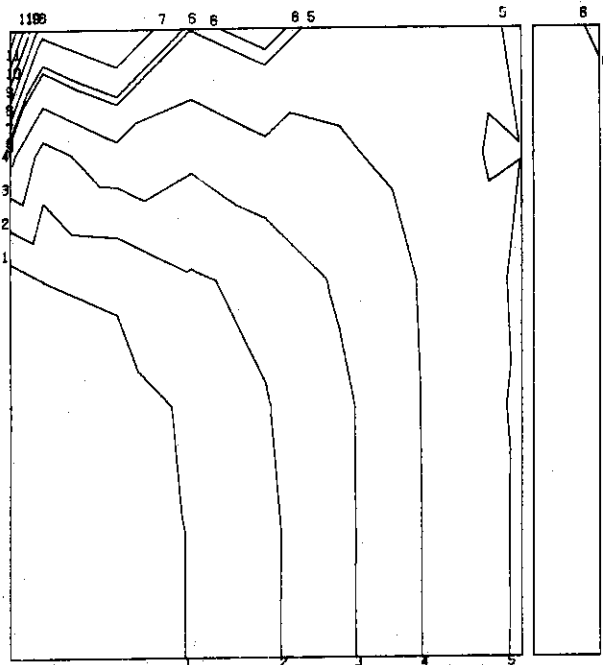


Fig. 4.17 Stress and strain distributions of pellet at 100w/cm of linear heat rate: a) the radial stress distribution at  $z=0.0$  ( $\text{kg}/\text{cm}^2$ ), b) the radial strain distribution at  $z=0.0$ .

SIG-R DISTRIBUTION (TIME=24HR,LHR=100W/CM)



CONTOUR NO.= 2

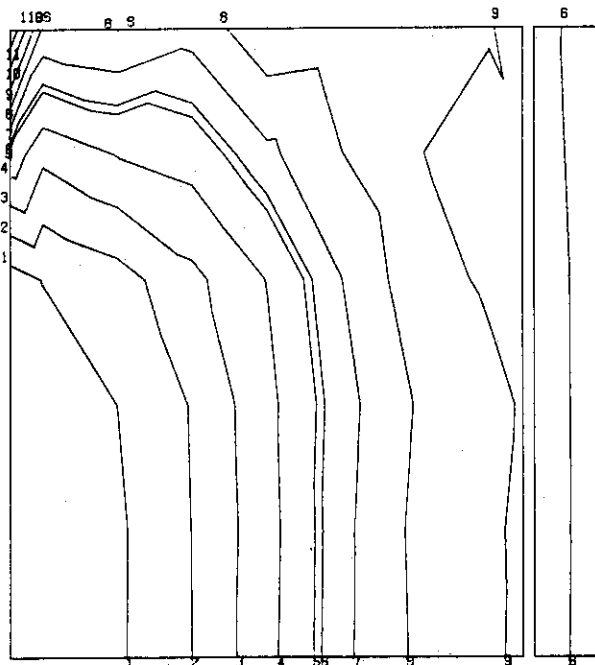
CONTOUR VALUES

1	-1.113E+03
2	-8.487E+02
3	-5.845E+02
4	-3.203E+02
5	-5.617E+01
6	0.
7	2.080E+02
8	4.722E+02
9	7.364E+02
10	1.001E+03
11	1.265E+03

MAGNIFICATION = 1.818E+02

(c)

SIG-T DISTRIBUTION (TIME=24HR,LHR=100W/CM)



CONTOUR NO.= 3

CONTOUR VALUES

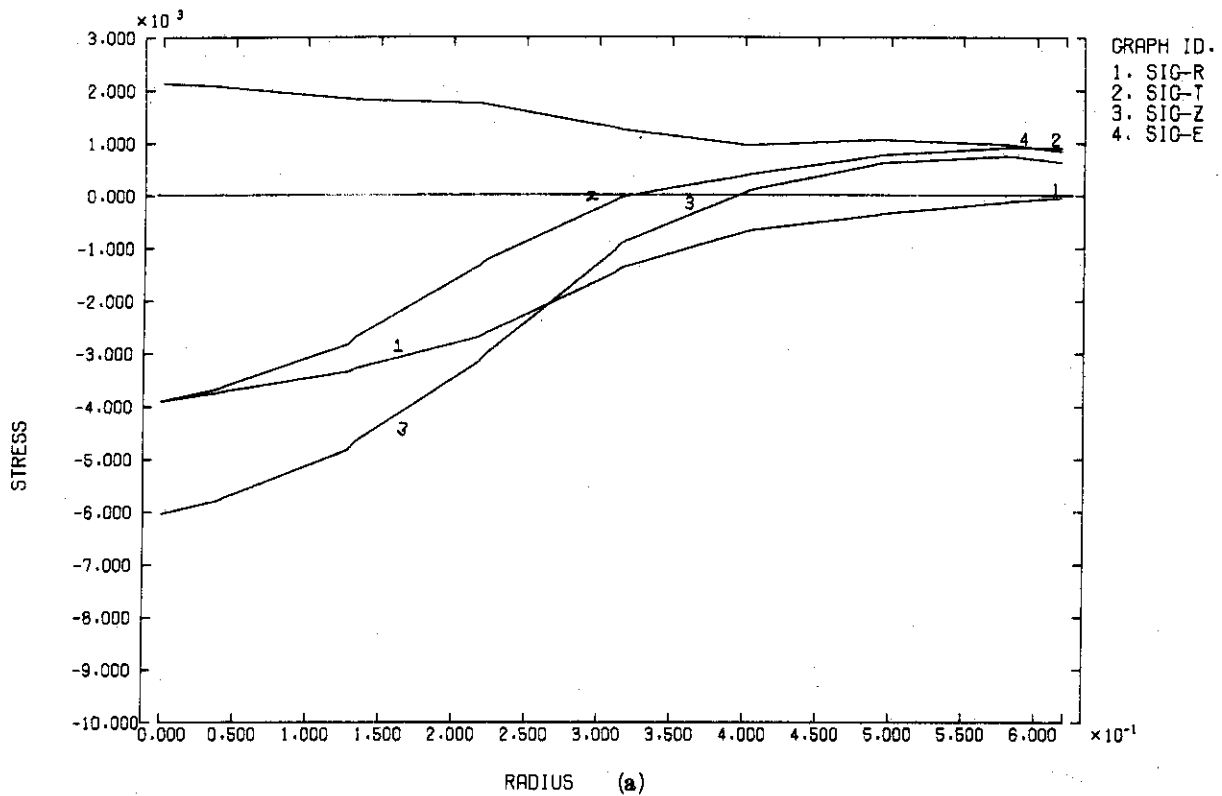
1	-1.117E+03
2	-8.522E+02
3	-5.876E+02
4	-3.231E+02
5	-5.850E+01
6	0.
7	2.061E+02
8	4.706E+02
9	7.352E+02
10	9.997E+02
11	1.264E+03

MAGNIFICATION = 1.818E+02

(d)

Fig. 4.17 c) the radial stress contour map ( $\text{kg}/\text{cm}^2$ ),  
 d) the tangential stress contour map ( $\text{kg}/\text{cm}^2$ ).  
 (The items a), b), c) and d) in figs 4.18~4.21 are the same as those in fig. 4.17)

STRESS DISTRIBUTION (TIME=72HR,LHR=300W/CM,Z=0.0)



STRAIN DISTRIBUTION (TIME=72HR,LHR=300W/CM,Z=0.0)

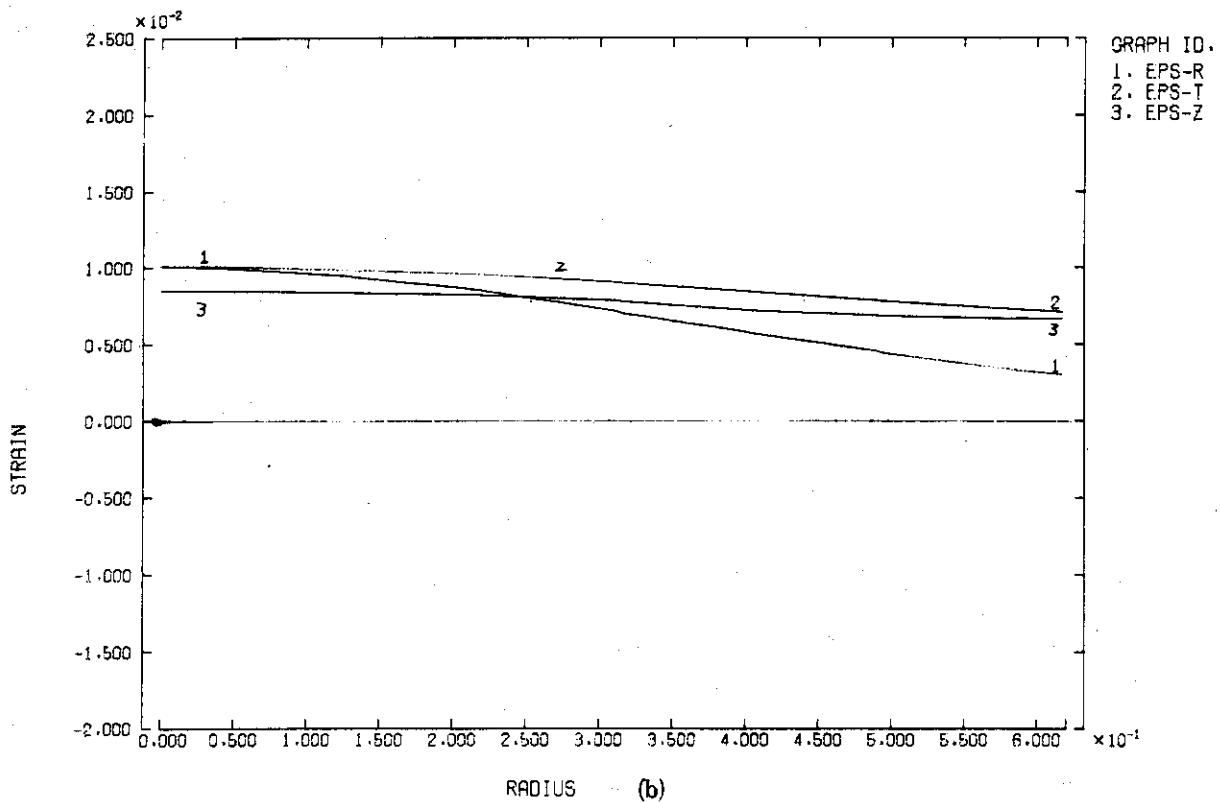
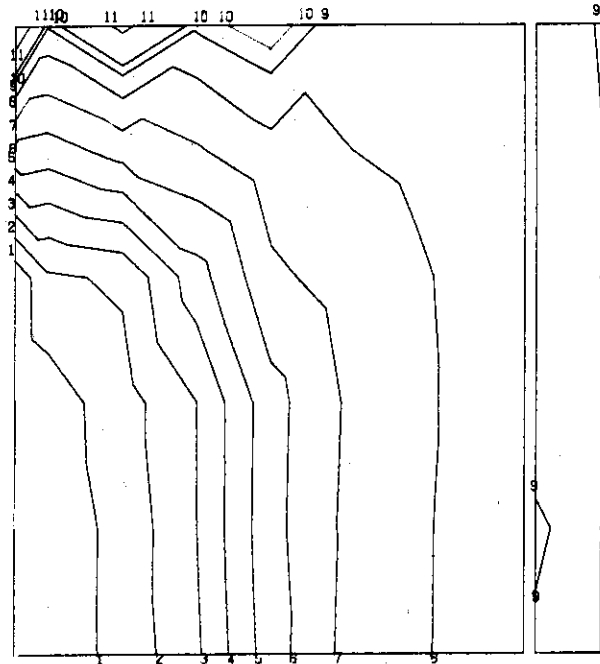


Fig. 4.18 Stress and strain distributions of pellet at 300w/cm of linear heat rate.



SIG-R DISTRIBUTION (TIME=72HR,LHR=300W/CM)



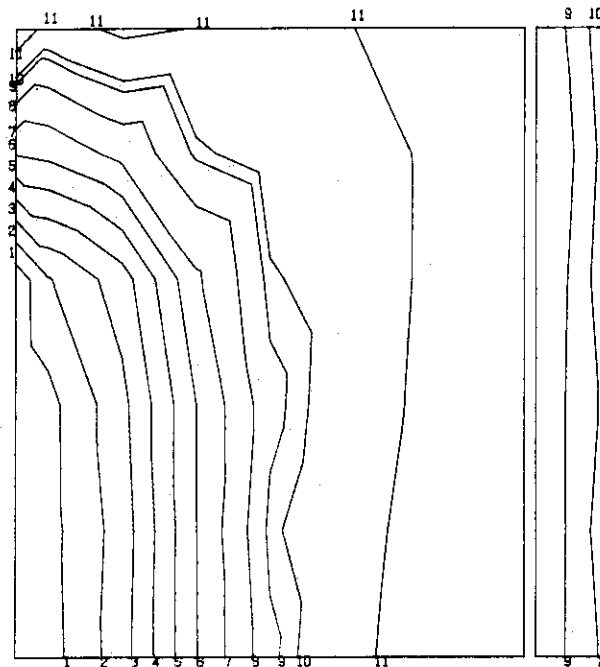
CONTOUR NO. = 2

CONTOUR NO.	CONTOUR VALUES
1	-3.454E+03
2	-3.005E+03
3	-2.556E+03
4	-2.107E+03
5	-1.659E+03
6	-1.210E+03
7	-7.614E+02
8	-3.122E+02
9	0.
10	1.366E+02
11	5.854E+02

MAGNIFICATION = 1.818E+02

(c)

SIG-T DISTRIBUTION (TIME=72HR,LHR=300W/CM)



CONTOUR NO. = 3

CONTOUR NO.	CONTOUR VALUES
1	-3.462E+03
2	-3.015E+03
3	-2.568E+03
4	-2.122E+03
5	-1.675E+03
6	-1.228E+03
7	-7.614E+02
8	-3.346E+02
9	0.
10	1.122E+02
11	5.590E+02

MAGNIFICATION = 1.818E+02

(d)

Fig. 4.18 Stress and strain distributions of pellet at 300w/cm of linear heat rate.

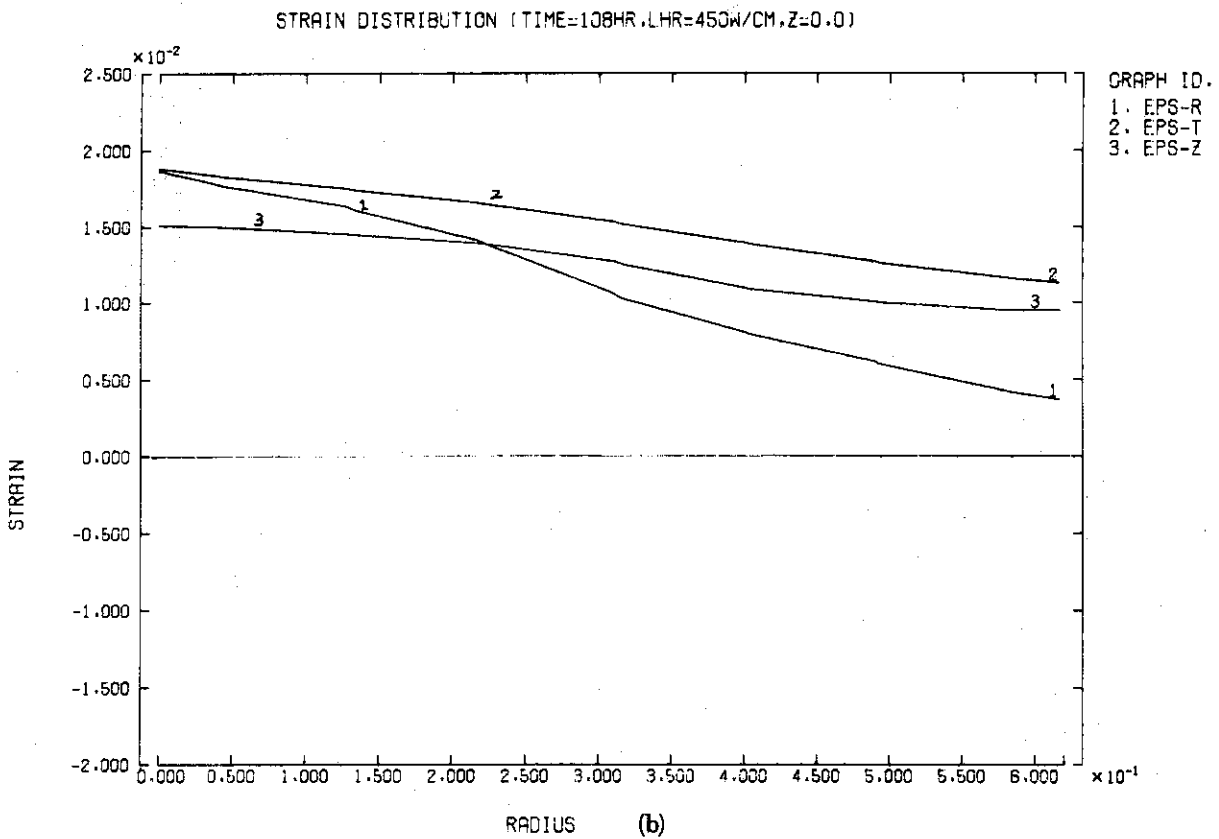
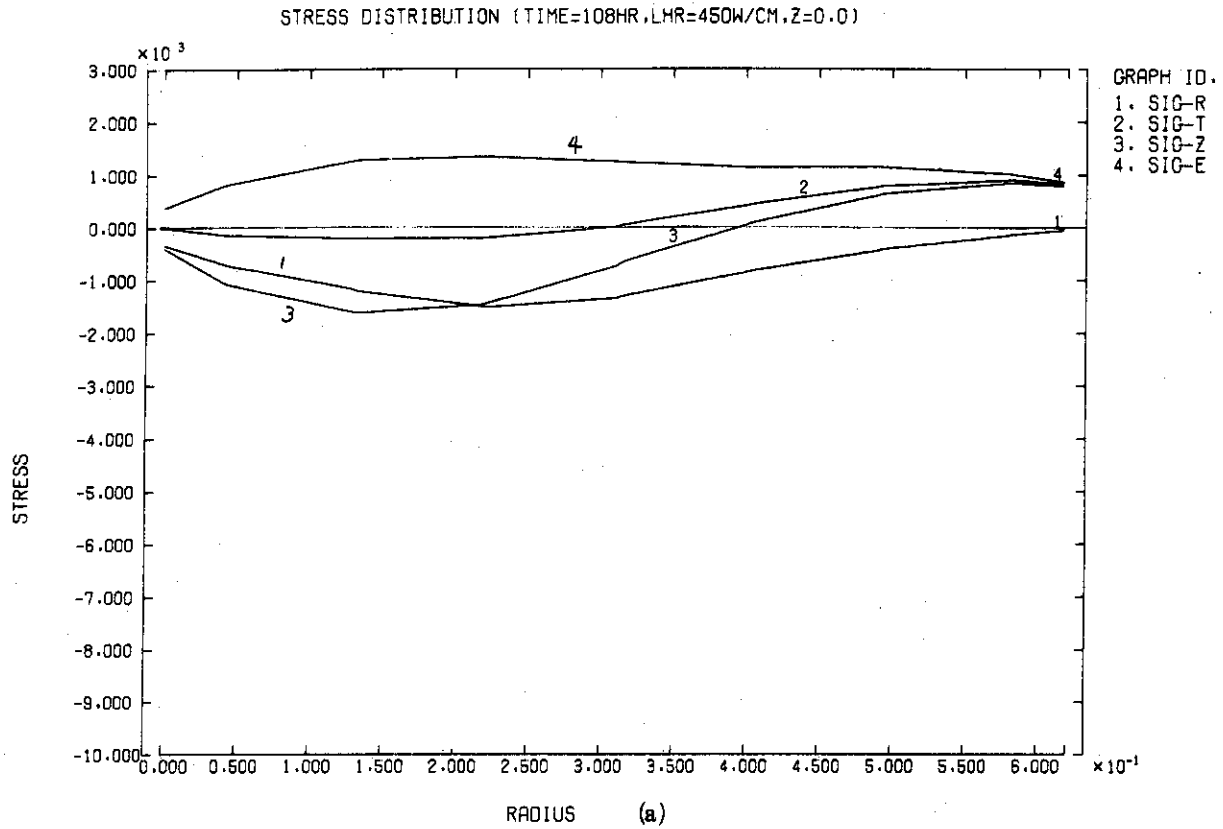
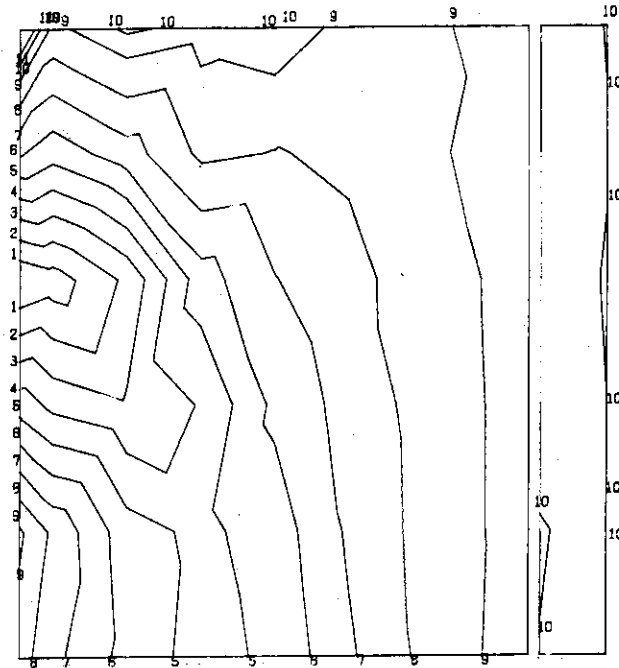


Fig. 4.19 Stress and strain distributions of pellet at 450w/cm (after 108 hours from the start up) of linear heat rate.

SIG-R SISTRIBUTION (TIME=108HR,LHR=450W/CM)



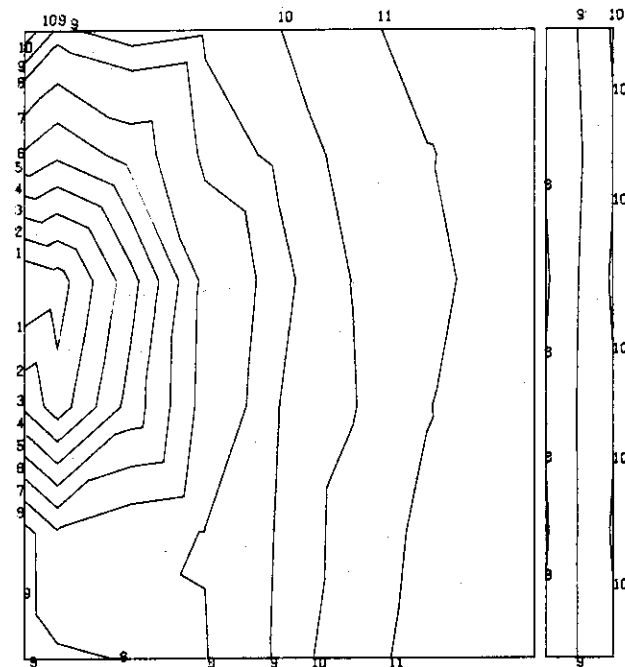
CONTOUR NO. = 2

CONTOUR NO.	CONTOUR VALUES
1	-2.594E+03
2	-2.293E+03
3	-1.992E+03
4	-1.691E+03
5	-1.389E+03
6	-1.088E+03
7	-7.871E+02
8	-4.859E+02
9	-1.847E+02
10	0.
11	1.165E+02

MAGNIFICATION = 1.818E+02

(c)

SIG-T DISTRIBUTION (TIME=108HR,LHR=450W/CM)



CONTOUR NO. = 3

CONTOUR NO.	CONTOUR VALUES
1	-2.988E+03
2	-2.588E+03
3	-2.188E+03
4	-1.787E+03
5	-1.387E+03
6	-9.869E+02
7	-5.866E+02
8	-1.864E+02
9	0.
10	2.136E+02
11	6.140E+02

MAGNIFICATION = 1.818E+02

(d)

Fig. 4.19 Stress and strain distributions of pellet at 450w/cm (after 108 hours from the start up) of lineat heat rate.

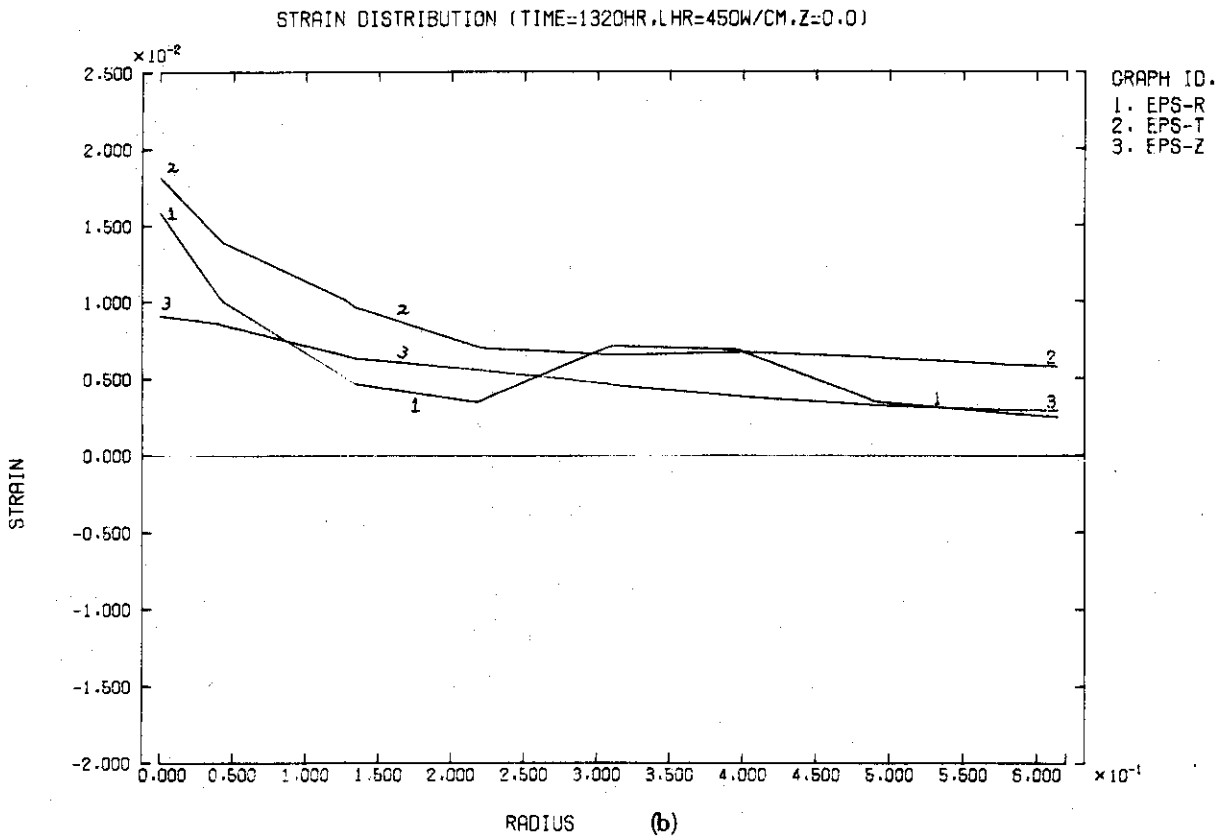
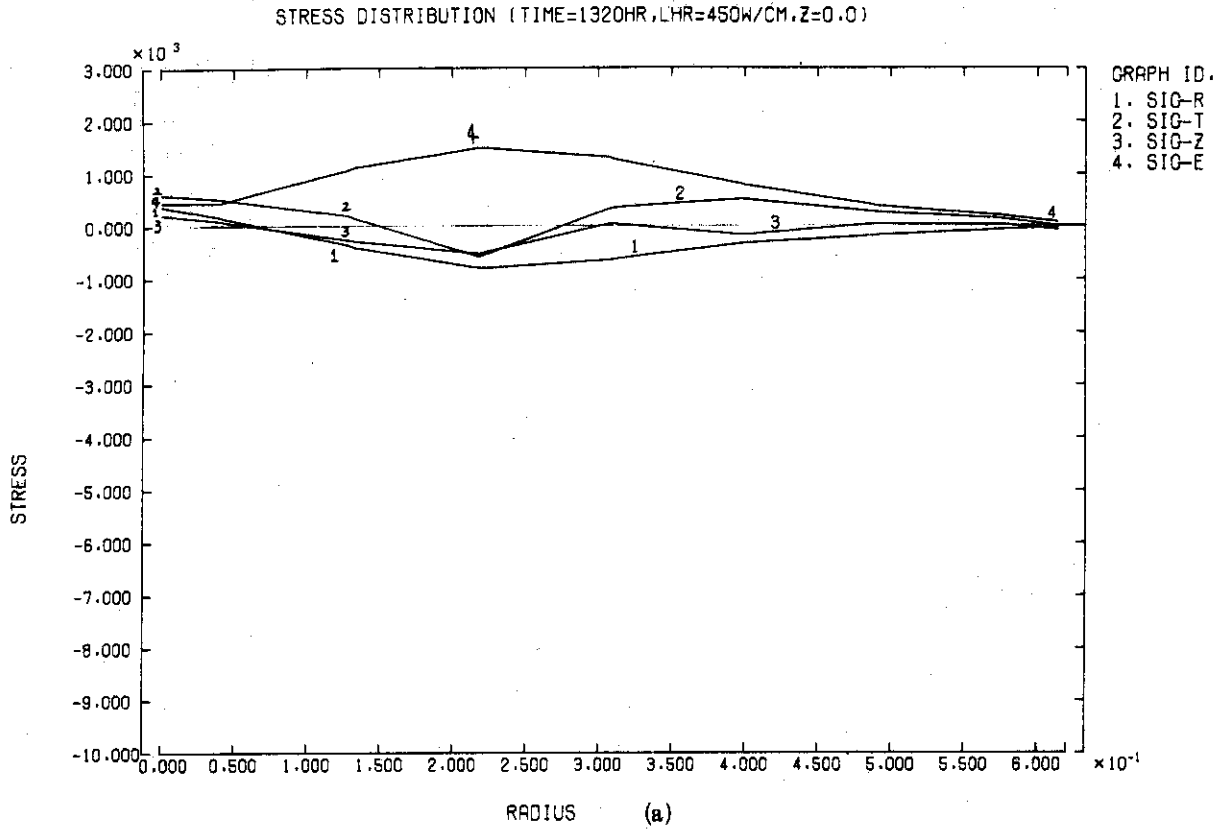
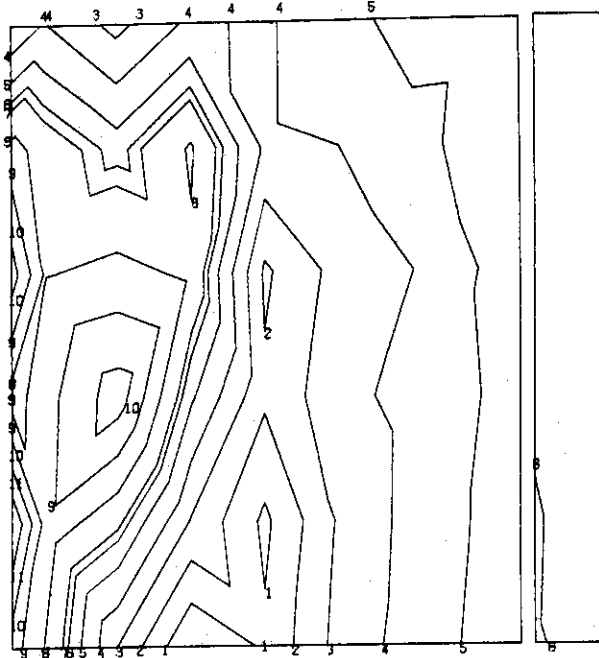


Fig. 4.20 Stress and strain distributions of pellet at 450w/cm (after 1320 hours from the start up) of linear heat rate.

SIG-R DISTRIBUTION (TIME=1320HR,LHR=450W/CM)



CONTOUR NO.= 2

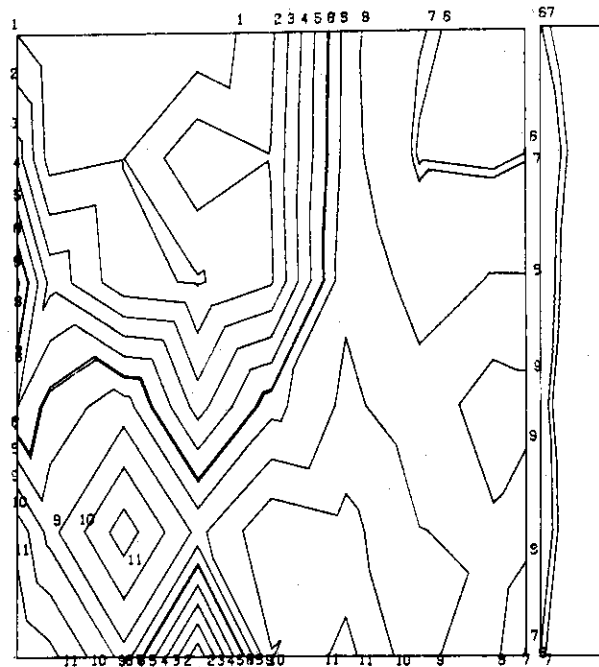
CONTOUR VALUES

1	-6.551E+02
2	-5.156E+02
3	-3.761E+02
4	-2.366E+02
5	-9.707E+01
6	0.
7	4.245E+01
8	1.820E+02
9	3.215E+02
10	4.610E+02
11	6.005E+02

MAGNIFICATION = 1.818E+02

(e)

SIG-T DISTRIBUTION (TIME=1320HR,LHR=450W/CM)



CONTOUR NO.= 3

CONTOUR VALUES

1	-6.356E+02
2	-5.107E+02
3	-3.857E+02
4	-2.608E+02
5	-1.358E+02
6	-1.088E+01
7	0.
8	1.141E+02
9	2.390E+02
10	3.640E+02
11	4.899E+02

MAGNIFICATION = 1.818E+02

(d)

Fig. 4.20 Stress and strain distributions of pellet at 450w/cm (after 1320 hours from the start up) of linear heat rate.

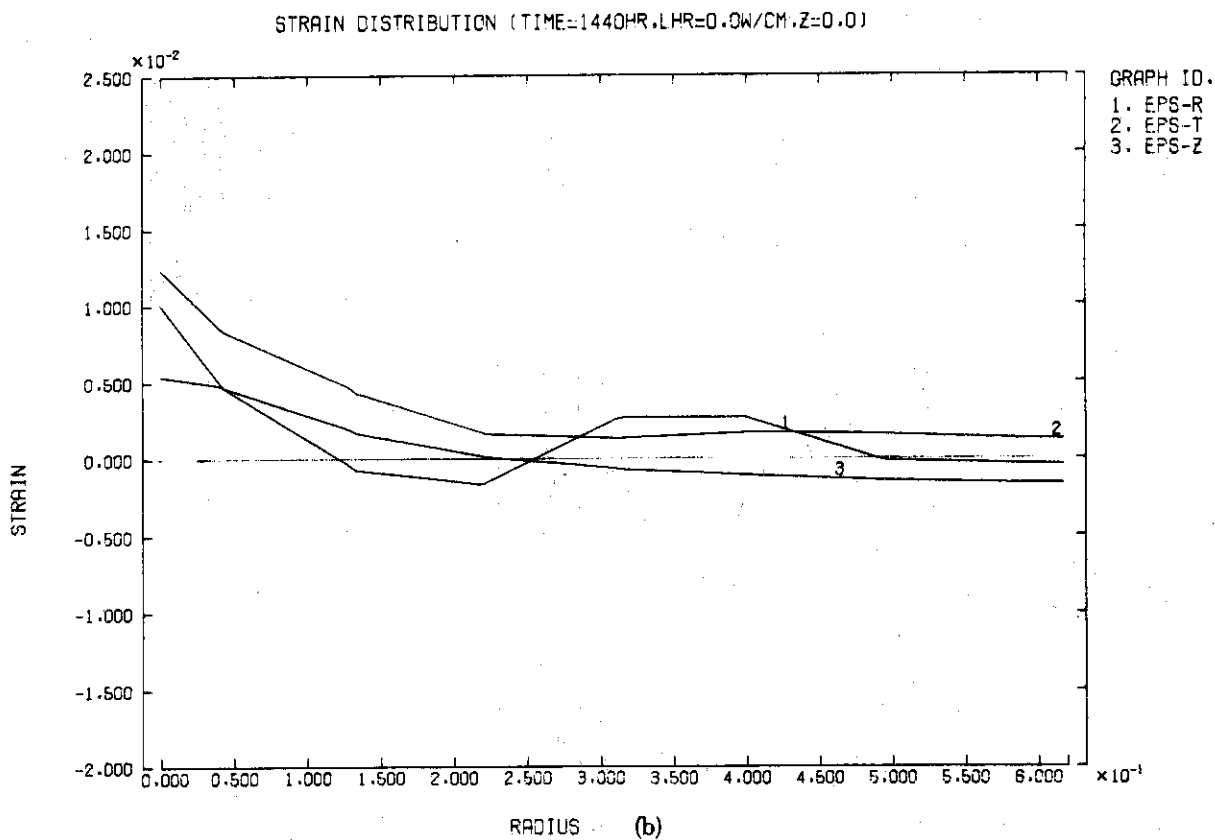
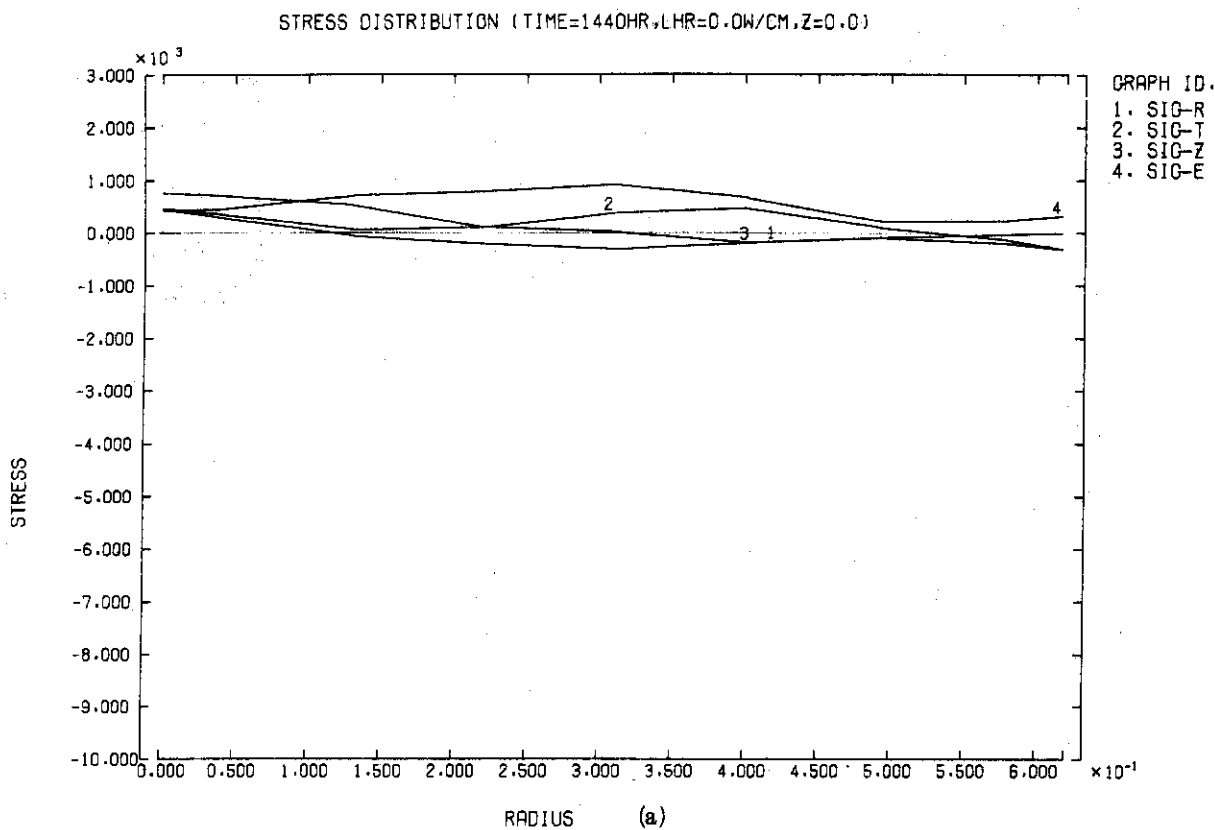
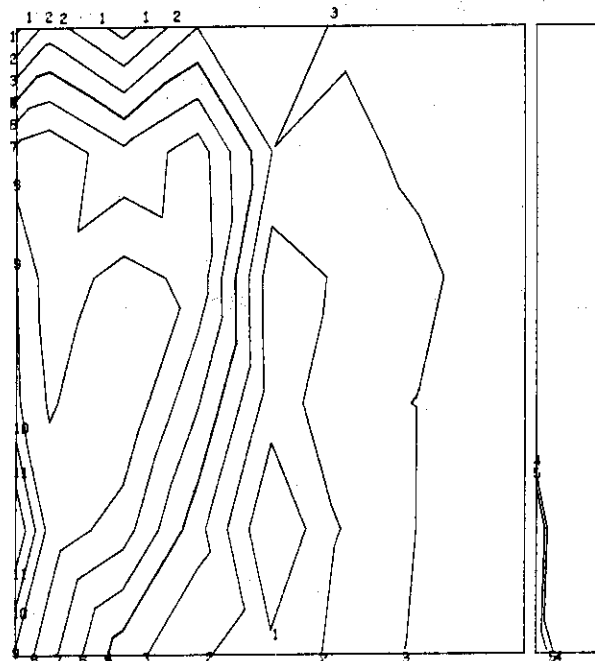


Fig. 4.21 Stress and strain distributions of pellet at 0w/cm of linear heat rate.

SIG-R DISTRIBUTION (TIME=1440HR,LHR=0.0W/CM)

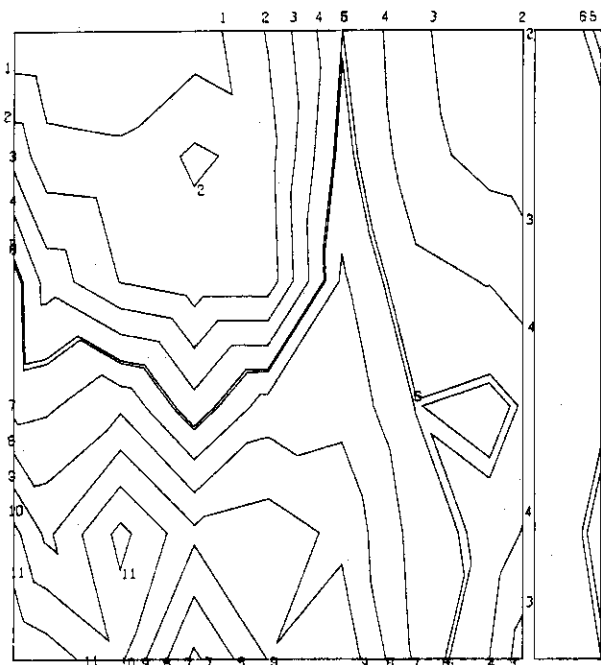


CONTOUR NO. = 2  
 CONTOUR VALUES  
 1 -3.496E+02  
 2 -2.322E+02  
 3 -1.147E+02  
 4 0.  
 5 2.783E+00  
 6 1.203E+02  
 7 2.377E+02  
 8 3.652E+02  
 9 4.727E+02  
 10 5.902E+02  
 11 7.076E+02

MAGNIFICATION = 1.818E+02

(c)

SIG-T DISTRIBUTION (TIME=1440HR,LHR=0.0W/CM)



CONTOUR NO. = 3  
 CONTOUR VALUES  
 1 -5.301E+02  
 2 -4.008E+02  
 3 -2.716E+02  
 4 -1.423E+02  
 5 -1.304E+01  
 6 0.  
 7 1.162E+02  
 8 2.455E+02  
 9 3.747E+02  
 10 5.040E+02  
 11 6.333E+02

MAGNIFICATION = 1.818E+02

(d)

Fig. 4.21 Stress and strain distributions of pellet at 0w/cm of linear heat rate.

参 考 文 献

- 1) 藤野勉；コンピュータによる構造工学講座Ⅱ-4-B熱伝導と熱応力 p 179  
(1972)培風館
- 2) O.C.Zienkiewicz and Y. K. Cheung；マトリックス有限要素法 p 53  
(1970)培風館
- 3) C. Visser, W. Van Buren, W. K. Wilson and S. E. Gahrielse；WERL-  
ELPLA-1 (1970)
- 4) 山田嘉昭；コンピュータによる構造工学講座Ⅱ-2-A塑性、粘弾性 p 72  
(1972)培風館



## Appendix - A プログラム組込み物性値

プログラム FEMF3 および FREB4 とも必要な物性値はプログラム内に組込まれている。ただし、燃料ペレットは二酸化ウラン焼結体、被覆管はジルコニウム合金としている。これらの物性値を Table A に記載する。

Table A プログラム使用の物性値

MATERIAL : UO<sub>2</sub> (1)

項 目	計 算 式	参 照 文 献
THERMAL EXPANSION	$\alpha = \frac{((T^2 - 625) \times 2.896 \times 10^{-9} + (T - 25) \times 6.797 \times 10^{-6})}{(T - 25)}$ $\alpha : 1/^\circ\text{C}, T : ^\circ\text{C}$	OONWAY, FINCEL & Hein Trans. Amer. Nucl. Soc. VOL. 6, No. 1 (1963) 153.
THERMAL CONDUCTIVITY	$K_{95} = \frac{38.24}{T + 129.4} + 4.788 \times 10^{-13} \cdot T^3 \quad (95\% \text{ 密度の時})$ $K_P = K_{95} \cdot \frac{1.025}{0.95} \times \frac{1 - P}{1 + 0.5P} \quad (\text{密度 } \rho \text{ の時})$ $K_{95}, K_P : \text{W/cm}^\circ\text{C} \quad T : ^\circ\text{K} \quad P : \text{porosity } 1 - \frac{\rho}{\rho_0}$ ISOTROPIC, $\rho/\rho_0 = 0.95 \text{ fix}$	LYONS Trans. Amer. Nucl. Soc. VOL. 8, No. 1 (1965) 35.
SPECIFIC HEAT	$C_p = 0.06833 + 0.9003 \times 10^{-5} T - 0.8415 \times 10^{-3} T^{-2}$ $C_p : \text{cal/gr-UO}_2\text{-}^\circ\text{K} \quad T : ^\circ\text{K} \quad 1 \text{ mole UO}_2 = 270 \text{ gr}$	
YOUNG'S MODULUS	$E_{\rho_0} = 2.139132 \times 10^6 - 27.4499 T - 0.2822496 T^2$ $E_\rho = (1.875 \times \rho/\rho_0 - 0.875) E_{\rho_0} \quad (\rho_0 : \text{理論密度})$ $E_\rho : \text{kg/cm}^2 \quad T : ^\circ\text{C}$ $\rho/\rho_0 = 0.95 \text{ fix (ISOTROPIC)}$	WAPD-TM-652 P. 35.
POISSON'S RATIO	$\nu = 0.9625 (\rho/\rho_0)^2 - 1.7025 (\rho/\rho_0) + 1.045 \quad (\rho_0 : \text{理論密度})$ $\rho/\rho_0 = 0.95 \text{ fix (ISOTROPIC)}$	WAPD-TM-652 P. 35.

MATERIAL : UO<sub>2</sub> (2)

項 目	計 算 式	参 照 文 献
STRAIN HARDENING	$\bar{\sigma} = C(\alpha + \bar{\epsilon})^n$ $n = 6.885 \times 10^{18} \times T^{-6.274} \quad T : ^\circ\text{C}$ $\alpha = \frac{\sigma_Y}{E} \quad \sigma_Y : \text{YIELD STRESS, } E = \text{YOUNG'S MODULUS}$ $\sigma_Y = c \alpha^n \text{ kb} \quad c = \sigma_Y / \alpha^n$ $(n > 5, C = 10^{20})$	
CREEP CORRELATION	$\dot{\epsilon}_c = \dot{\epsilon}_{\text{Thermal}} + \dot{\epsilon}_{\text{fission}}$ $\dot{\epsilon}_{\text{Thermal}} = A \cdot \sigma_e \exp(-90000/RT) + B \cdot \sigma_e^{4.5} \exp(-132000/RT)$ $\dot{\epsilon}_{\text{Thermal}} : 1/\text{sec.} \quad R = 1.986 \text{ cal/mole} \cdot ^\circ\text{K}$ $T : ^\circ\text{K} \quad \sigma_e : \text{PSI}$ $A = \frac{2.702 \times 10^3}{(D - 87.8) G^2}, \quad B = \frac{3.822 \times 10^{-7}}{D - 90.5}$ <p>D : Fractional Density (%) 95% fix                      G : Grain size (microns) 30 μm fix</p> $\dot{\epsilon}_{\text{fission}} = c f \sigma_e$ $c = 1.45 \times 10^{-26} \cdot \text{cm}^3 / \text{fissions} \cdot \text{PSI}$ $f = 3.1 \times 10^{10} \left( \frac{P}{\pi R^2} \right)$ <p>P : LINEAR HEAT RATE (W/cm)                      R : pellet outer Radius (cm)</p>	GEAP - 13788

MATERIAL : UO<sub>2</sub> (3)

項 目	計 算 式	參 照 文 獻																
YIELD STRESS	<table border="1"> <thead> <tr> <th>温 度 (°C)</th> <th>引 張</th> </tr> </thead> <tbody> <tr><td>25</td><td>1200</td></tr> <tr><td>1200</td><td>1370</td></tr> <tr><td>1300</td><td>1100</td></tr> <tr><td>1400</td><td>900</td></tr> <tr><td>1500</td><td>715</td></tr> <tr><td>1600</td><td>530</td></tr> <tr><td>1700</td><td>430</td></tr> </tbody> </table> <p style="text-align: center;">KG/cm<sup>2</sup></p>	温 度 (°C)	引 張	25	1200	1200	1370	1300	1100	1400	900	1500	715	1600	530	1700	430	
温 度 (°C)	引 張																	
25	1200																	
1200	1370																	
1300	1100																	
1400	900																	
1500	715																	
1600	530																	
1700	430																	
ULTIMATE TENSILE STRESS	<table border="1"> <thead> <tr> <th>温 度 (°C)</th> <th></th> </tr> </thead> <tbody> <tr><td>25</td><td>1200.</td></tr> <tr><td>1400</td><td>1400.</td></tr> <tr><td>1500</td><td>900.</td></tr> <tr><td>1600</td><td>650.</td></tr> <tr><td>1700</td><td>500.</td></tr> </tbody> </table> <p style="text-align: center;">KG/cm<sup>2</sup></p>	温 度 (°C)		25	1200.	1400	1400.	1500	900.	1600	650.	1700	500.					
温 度 (°C)																		
25	1200.																	
1400	1400.																	
1500	900.																	
1600	650.																	
1700	500.																	

MATERIAL : Zry 2 (1)

項 目	計 算 式	參 照 文 獻
THERMAL EXPANSION	$\alpha = 5.62 \times 10^{-6} + 3.162 \times 10^{-9} T$ $\alpha : 1 / ^\circ\text{C} \quad T : ^\circ\text{C}$	ORNL - 3281

MATERIAL : Zry 2 (2)

項 目	計 算 式	参 照 文 献																		
THERMAL CONDUCTIVITY	$K = 4.135 \times 10^{-3} \times 0.95 [ 7.23 + 2.41 \times 10^{-3} T + 1.3 \times 10^{-5} T^2 ]$ K : cal/sec·cm·°C    T : °F	WAPT - TM - 757 FIGRO P. 7																		
SPECIFIC HEAT	<table border="1"> <thead> <tr> <th>温度 (°C)</th> <th>C<sub>p</sub> (cal/gr·°C)</th> </tr> </thead> <tbody> <tr><td>50</td><td>0.0692</td></tr> <tr><td>100</td><td>0.0704</td></tr> <tr><td>200</td><td>0.0716</td></tr> <tr><td>300</td><td>0.0774</td></tr> <tr><td>400</td><td>0.0796</td></tr> <tr><td>500</td><td>0.0824</td></tr> <tr><td>600</td><td>0.0848</td></tr> <tr><td>700</td><td>0.0868</td></tr> </tbody> </table>	温度 (°C)	C <sub>p</sub> (cal/gr·°C)	50	0.0692	100	0.0704	200	0.0716	300	0.0774	400	0.0796	500	0.0824	600	0.0848	700	0.0868	J. Nucl. Mater. 18 (1966) 233.
温度 (°C)	C <sub>p</sub> (cal/gr·°C)																			
50	0.0692																			
100	0.0704																			
200	0.0716																			
300	0.0774																			
400	0.0796																			
500	0.0824																			
600	0.0848																			
700	0.0868																			
YOUNG'S MODULUS	Transverse $E = -6.667 \times 10^2 T + 10.833 \times 10^5$ Longitudinal $E = -6.582 \times 10^2 T + 9.869 \times 10^5$ E : kg/cm <sup>2</sup> , T : °C	ORNL - 3281																		
POISSON'S RATIO	$\nu = 0.36 + 0.4 \times 10^{-3} T$ T : °C	ASTM STP 314																		
STRAIN HARDENING	$\bar{\sigma} = C (\alpha + \bar{\epsilon})^n$ $n = 0.03$ $\alpha = \sigma_Y / E$ $\sigma_Y$ : Yield STRESS, E = YOUNG'S MODULUS $\sigma_Y = c \alpha^n$ $\downarrow b$ $c = \sigma_Y / \alpha^n$																			

MATERIAL : Zry 2 (3)

項 目	計 算 式	参 照 文 献
<p>CREEP CORRELATION</p>	$\dot{\epsilon} = B \phi^{0.85} \exp(-Q/RT) \sinh(S_c \cdot \sigma) \times \{ 1 + \alpha k \exp(-k\tau) \}$ <p> <math>\dot{\epsilon} : 1 / \text{hr}</math>  <math>B = 9.5 \times 10^{-13}</math>  <math>S_c = 1.7 \times 10^{-4}</math>  <math>\alpha = 900</math>  <math>k = 0.006</math>  <math>\phi = \text{neutron flux (n/cm}^2\text{-sec)} = 1 \times 10^{13} \text{ fix}</math>  <math>\tau = \text{Time (hour)}</math>  <math>T : ^\circ\text{K}</math>  <math>Q = 16980</math>  <math>= 16980 - 76.2(T - T_c)</math>  <math>T_c = 640 - 0.001\sigma</math>  <math>T : ^\circ\text{K}</math>  <math>\sigma : \text{equivalent Stress (PSI)}</math> </p>	<p>BNWL - B - 253 BUCKLE</p>

## Appendix B データ入力法

FEMF3, FREB4およびPLOT Fの各プログラムについてその入力法を表にまとめて示す。Table B.1はFEMF3, Table B.2はFREB4, Table B.3はPLOT Fについてのデータ入力法の説明である。

Table B.1 FEMF3入力データ説明

カード番号	カラム	内 容	単 位	FORTRAN SYMBOL
1 (20A4)	1-80	タイトルカード, 出力頁の先頭にプリントする。		NTITL(20)
2 (10I5)	1-5	R-方向の格子数 最大20		NROW
	6-10	Z-方向の格子数 最大9		NCOL
	11-15	ベレットを示す材質番号, カード番号7 <sup>+</sup> のカラム16-20で与える材質番号と一致しなければならない。		MP EL
	16-20	被覆管を示す材質番号, カード番号7 <sup>+</sup> のカラム16-20で与える材質番号と一致しなければならない。		MCLD
	21-25	熱歪を計算するか否かのオプション =0 計算しない >0 計算する		M THERM
	26-30	塑性歪を計算するか否かのオプション =0 計算しない >0 計算する		M PLAST
	31-35	クリープ歪を計算するか否かのオプション =0 計算しない >0 計算する		M CREEP
	36-40	クラックを考慮するか否かのオプション =0 クラックさせない >0 クラックを考慮する		M CRACK
	41-45	クラックヒーリングを考慮するか否かのオプション =0 考慮しない >0 考慮する		M HEAL
46-50	プロットプログラムPLOT F用データを掃き出すか否かのオプション =0 掃き出さない >0 掃き出す		M PLOT	





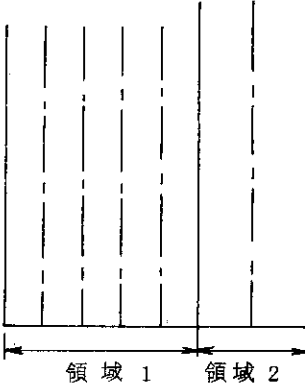
カード番号	カラム	内 容	単 位	FORTTRAN SYMBOL
7+ (F10.0, 2I5)	1-10 11-15 16-20	<p>等分割される Region<sup>(注1)</sup> の外半径。 分割数 (ND等分) その領域の材質番号, 負値はGapを示す。 (注1)</p>  <p>図例だと 領域1は5等分 ND=5 領域2は2等分 ND=2</p> <p>現在, ギャップエレメントは使用していないため, ギャップ空間の分割数は任意でよい。RR&lt;0によって, このデータ群の終了を示す。 ここで定義される径方向格子総数はカード番号2のNROWと一致しなければならない。</p>	cm	RR ND MAT
8+ (8F8.0, 2F4.0)	1-8 9-16 17-24 25-32 33-40 41-48 49-56 57-64 65-68 69-72	<p>燃料の照射履歴を与えるカード群 積算照射時間<math>T_n</math> (負値のときこのデータ群の終了) 線出力密度 (以下積算時間<math>T_n</math>での各値を入力) 冷却材圧力 冷却材温度 ギャップコンダクタンス 冷却材-被覆管 熱伝達率 ギャップガス圧力 (内圧) 中心孔内圧力 (もし中心孔があれば) 未使用 プリントアウト制御。n=HIST(10, )としたとき, 1タイムステップ内をm回で計算されると, n回毎にプリントアウトされる。n=0のときはn=1 (毎回プリント)となる。又, n&gt;mの場合はm=1のときのみプリント。又, HIST(10, )の正, 負によって応力, 歪に関して要約又は詳細なプリントが得られる。 HIST(10,n)&lt;0 積算応力, 歪値 (要約) HIST(10,n)&gt;0 増分及び積算応力, 歪値 (詳細)</p>		HIST(1, n) HIST(2, n) HIST(3, n) HIST(4, n) HIST(5, n) HIST(6, n) HIST(7, n) HIST(8, n) HIST(9, n) HIST(10, n)

Table B.2 FREB 4入力データ説明

カード番号	カラム	内 容	単 位	FORTRAN SYMBOL
1 (18A4)	1-72	タイトルカード		MTITL(18)
2 (16I5)	1-5	節点総数	最大 200	NODE
	6-10	要素総数	最大 250	NELM
	11-15	入力履歴ステップ数	最大 100	NSTP
	16-20	被覆管表面熱伝達辺の数	最大 100	NFIM
	21-25	熱伝達率データテーブルの数	最大 5	NFTB
	26-30	ギャップベアの数	最大 100	NGAP
	31-35	ギャップ熱伝達率データテーブル数	最大 5	NGTB
	36-40	変位拘束点の数		NFIX
	41-45	内外圧を受ける辺の数	最大 100	NPRS
	46-50	内外圧データテーブルの数	最大 5	NPTB
	51-55	平面応力/平面歪オプション (1/2/3:平面応力/平面歪/ミックス)		NCND
	56-60	プロットデータ掃出しオプション (0/1; no/yes)		NPLT
	61-65	プリント・コントロール・オプション (0/1; no/各ステージ毎に各要素の物性値を プリントする)		NOUT
	66-70	塑性計算オプション(0/1; no/yes)		NPLA
	71-75	クリープ計算オプション(0/1; no/yes)		NCRP
	76-80	クラック計算オプション(0/1; no/yes)		MCRK
3 <sup>+</sup>		節点座標の入力 (i) Format (2I5, 2F10.0, I5, 2F10.0, I5) or (ii) Format (7I5, 2F10.0)  (i) M, N, X1, Y1, K, X2, Y2, L (ii) M, K1, K2, K3, K4, K5, K6, X2, Y2  M =1 or 2のときは (i) のタイプで入力  M =3 のときは (ii) のタイプで入力   M =1 節点Nの座標は (X1, Y1)  M =2 節点N (X1, Y1)とK (X2, Y2) との間にL点直線内挿。このときの節 点番号増分は (K-N)/(L+1), 作られる節点は L+2個	cm	内容中に示す。

カード番号	カラム	内 容	単 位	FORTRAN SYMBOL
3 <sup>+</sup> (つづき)		<p><math> M  = 3</math> 節点K1からK2(節点番号増分K3)までの座標は, 節点K4からK5(増分K6)の座標に対して節点座標増分(X2, Y2)で作られる。このとき</p> $\frac{K2-K1}{K3} + 1 = \frac{K5-K4}{K6} + 1$ <p><math> M  = 0</math> データの終り。 (注) <math>M &lt; 0</math> のときは, 上記(X, Y)は, (R, <math>\theta</math>)とみなし, 座標変換する。</p>		
4 <sup>+</sup>		<p>要素データ入力 Format (16I5) M, NI, NJ, KI, KJ, KK, KM, LI, LJ, NBR, NBT M=1 要素NIは材質番号NJで(KI, KJ, KK, KM)より構成された径方向クラックに関するシグナルはNBR, 円周方向クラックに関するシグナルはNBT。(注参照) 3角形要素のときはKM=0 M=2 要素NIからNJは増分(KI, KJ, KK, KM)としてLIからLJ番目の要素より作成し, 材質番号はLI~LJと同じ。このときNBR, NBTもまた増分である。 この操作を<math>k = \frac{NJ-NI+1}{LJ-LI+1}</math> 回くり返す。 M=0 データの終り。 (注) NBR, NBTが零のときはその要素が破壊条件を満たしてもクラックさせない。或る要素に径方向クラックが入ったとき, 同じNBRをもつ要素すべてにクラックを入れる。(円周方向クラックのときは同じNBT)</p>		内容中に示す。
5 <sup>+</sup> (2F10.0, 2I5)	<p>1-10 11-20 21-25 26-30</p>	<p>積算照射時間<math>T_n</math> 線出力密度(積算時間<math>T_n</math>における値) タイムステップ分割数 計算タイムステップとしてSTEP(n-1)とSTEP(n)間をKSTH(n)分割する。 なお, <math>n=1</math>のときはKSTP(1)=1とする。 計算結果のプリントコントロール STEP(n-1)とSTEP(n)間でKSTP(n)ステップの計算に対して, KOUT(n)=0 のとき毎回プリント KOUT(n)=m のときm回おきにプリント このデータはカード番号2のカラム11-15で指定したNSTP枚入力する。</p>	<p>Hour W/cm</p>	<p>STEP(n) POWR(n) KSTP(n) KOUT(n)</p>





カード番号	カラム	内 容	単 位	FORTTRAN SYMBOL
		<p>カード11・3    Format (8F10.0)  TIN(i) に対応して内外圧をNST  個入力する。</p> <p>カード11・3 を NPTB (カード1) 回繰り返し入力。  このとき対応するデータテーブル番号は入力順。</p>		
12 <sup>+</sup> (4I5)		<p>変位を拘束する節点のデータ  I1, IN, ID, IV  節点 I1 より増分 ID として IN 個の節点の拘束条件  は IV。</p> <p>IV = 1    ;    x 方向固定  IV = 2    ;    y 方向固定  IV = 3    ;    xy 方向固定</p> <p>データは I1 = 0 のカードで終る。  ここで定義された拘束節点の数は NFIX (カード1)  と等しくなければならない。</p>		KFIX(n)
13 <sup>+</sup> (4I5)		<p>平面応力, 平面歪オプションデータ。  このデータはカード1 で指定した NCND が 3 のときに  のみ入力する。</p> <p>I1, IN, ID, IV  要素 I1 より増分 ID として IN 個の要素に対して  IV で指定したオプションにする。</p> <p>IV = 0    ;    平面応力場  IV = 1    ;    平面歪場</p>		KCND(n)



カード番号	カラム	内 容	単 位	FORTRAN SYMBOL	
4 (1615)	1-5	NNEL  は作図の対象となるべき要素数。 NNEL<0のときは前ケースと同じ要素群。		NNEL	
	6-10	NGEO=0 形状図は描かない。 =1 変形前の形状図を描く。 =2 変形後の形状図を描く。		NGEO	
	11-15	NELM=0 要素番号は描かない。 =1 変形前の要素に番号を描く。 =2 変形後の要素に番号を描く。		NELM	
	16-20	NPOI=0 節点番号は描かない。 =1 変形前の節点に番号を描く。 =2 変形後の節点に番号を描く。		NPOI	
	21-25	NCIN=0 形状輪郭図は描かない。 =1 変形前の輪郭図を描く。 =2 変形後の輪郭図を描く。		NCIN	
	26-30	NTEMP=0 温度値は描かない。 =1 変形前の要素に温度値を描く。 =2 変形後の要素に温度値を描く。		NTEMP	
	31-35	NSTR=0 応力図は描かない。 =1 要素図心に応力図を描く。		NSTR	
	36-40	NEPS=0 歪図は描かない。 =1 要素図心に歪図を描く。			
	41-45	NCON=0 等高線図は描かない。 =1 温度 の等高線を描く。 =2 $\sigma_x (\sigma_r)$ " " =3 $\sigma_y (\sigma_\theta)$ " " =4 $\sigma_z$ " " =5 $\tau_{xy} (\tau_{rz})$ " " =6 $\sigma_e$ " " =7 $\sigma_1$ " " =8 $\sigma_2$ " " =9 $\epsilon_x (\epsilon_r)$ " " =10 $\epsilon_y (\epsilon_\theta)$ " " =11 $\epsilon_z$ " " =12 $\gamma_{xy} (\gamma_{rz})$ " " =13 $\epsilon_e$ " " =14 $\epsilon_1$ " " =15 $\epsilon_2$ " " =16 $u_x (u_r)$ " " =17 $u_y (u_z)$ " "		NCON	
			カッコ内は軸対称モデル (FEMF3) の場合。		



カード番号	カラム	内 容	単 位	FORTTRAN SYMBOL
4 (つづき)	46-50	MCON  は基本等高線の数。 MCON > 0 のときは描くべき等高線の値を入力する。 (カード6参照) MCON < 0 のときはプログラムで等高線値を決定する。		MCON
	51-55	サブ等高線の数。		MCOM
	56-60	等高線サーチのときの要素内分割数。 NX ≤ 1 のときはプログラム中で NX = 2 とする。		NX
	61-65	NPLA = 0 降伏マークは書かない。 = 1 変形前の要素図心に降伏マークを描く。 = 2 変形後の要素図心に降伏マークを描く。 降伏マークは Y, 大きさは XN (カード3)		NPLA
	66-70	NCRK = 0 クラックマークは描かない。 = 1 変形前の要素図心にクラックマークを描く。 = 2 変形後の要素図心にクラックマークを描く。 マークの大きさは XN (カード3) クラックマーク: C <sub>1</sub> ; Radial crack C <sub>2</sub> ; Circumferencial crack C <sub>3</sub> ; Transversal crack C <sub>nmℓ</sub> ; mix 1 ≤ n, m, ℓ ≤ 3		
5 (3I5)	1- 5	要素群の最初の番号。		I 1
	6-10	要素群の最後の番号。		I 2
	11-15	増分。 I 1 = 0 のカードでデータ入力終了。		I 3
6 <sup>+</sup> (8F 10.0)	1-10	描くべき等高線の値を MCON 個だけ入力する。		CNVAL(1)
	11-20			CNVAL(2)
	21-30			CNVAL(3)
	⋮			⋮
	⋮			CNVAL(MCON)
7 (2I5, F10.0)	1- 5	データテーブル中の対象となるステップ番号。		NCAS
	6-10	同一グラフに描かれるデータ指定数。		NGRF
	11-20	指定座標値 ・ NTYPE = 2 のとき 半径 = PVAL に固定して FEMF3 では軸方向分布図, FREB4 では径方向分布図を描く。		PVAL

カード番号	カラム	内 容	単 位	FORTTRAN SYMBOL																		
7 (つづき)		<p>・ NTYPE = 3 のとき</p> <p>FEMF3 では軸座標 = PVAL に固定して半径方向分布図を描き, FREB4 では角度 = PVAL に固定して半径方向分布図を描く。</p> <p>単位は, 半径, 軸座標のときは cm, 角度のときは度である。</p>																				
8 (215)	1-5 6-10	<p>指定要素番号。</p> <p>同一グラフに描くデータ指定数。</p>		NOELM NGRF																		
9 <sup>+</sup> (1615)		<p>グラフに描くデータ指定番号群を NGRF 個指定する。</p> <p>データ指定番号に対する物理量は,</p> <table style="width: 100%; border: none;"> <tr> <td>1. 温 度</td> <td>10. <math>\epsilon_y (\epsilon_\theta)</math></td> </tr> <tr> <td>2. <math>\sigma_x (\sigma_r)</math></td> <td>11. <math>\epsilon_z</math></td> </tr> <tr> <td>3. <math>\sigma_y (\sigma_\theta)</math></td> <td>12. <math>r_{xy} (r_{rz})</math></td> </tr> <tr> <td>4. <math>\sigma_z</math></td> <td>13. <math>\epsilon_e</math></td> </tr> <tr> <td>5. <math>\tau_{xy} (\tau_{rz})</math></td> <td>14. <math>\epsilon_1</math></td> </tr> <tr> <td>6. <math>\sigma_e</math></td> <td>15. <math>\epsilon_2</math></td> </tr> <tr> <td>7. <math>\sigma_1</math></td> <td>16. <math>u_x (u_r)</math></td> </tr> <tr> <td>8. <math>\sigma_2</math></td> <td>17. <math>u_y (u_z)</math></td> </tr> <tr> <td>9. <math>\epsilon_x (\epsilon_r)</math></td> <td></td> </tr> </table> <p>カッコ内は軸対称モデル (FEMF3) の場合。</p> <p>同一単位をもつ物理量についてのみ複数個指定できる。</p>	1. 温 度	10. $\epsilon_y (\epsilon_\theta)$	2. $\sigma_x (\sigma_r)$	11. $\epsilon_z$	3. $\sigma_y (\sigma_\theta)$	12. $r_{xy} (r_{rz})$	4. $\sigma_z$	13. $\epsilon_e$	5. $\tau_{xy} (\tau_{rz})$	14. $\epsilon_1$	6. $\sigma_e$	15. $\epsilon_2$	7. $\sigma_1$	16. $u_x (u_r)$	8. $\sigma_2$	17. $u_y (u_z)$	9. $\epsilon_x (\epsilon_r)$			NGRF(i)
1. 温 度	10. $\epsilon_y (\epsilon_\theta)$																					
2. $\sigma_x (\sigma_r)$	11. $\epsilon_z$																					
3. $\sigma_y (\sigma_\theta)$	12. $r_{xy} (r_{rz})$																					
4. $\sigma_z$	13. $\epsilon_e$																					
5. $\tau_{xy} (\tau_{rz})$	14. $\epsilon_1$																					
6. $\sigma_e$	15. $\epsilon_2$																					
7. $\sigma_1$	16. $u_x (u_r)$																					
8. $\sigma_2$	17. $u_y (u_z)$																					
9. $\epsilon_x (\epsilon_r)$																						
10 (5F 10.0)	1-10 11-20 21-30 31-40 41-50	<p>指定データをグラフ化したときインデックスの文字の大きさ。入力しなければ 2.5 mm をセットする。</p> <p>横方向目盛の最小値。</p> <p>横方向目盛の最大値。</p> <p><math>VXMIN \geq VXMAX</math> のときは自動スケールにより <math>VXMIN</math>, <math>VXMAX</math> を決める。</p> <p>縦方向目盛の最小値。</p> <p>縦方向目盛の最大値。</p> <p><math>VYMIN \geq VYMAX</math> のときは自動スケールにより <math>VYMIN</math>, <math>VYMAX</math> を決める。</p> <p>単位は, それぞれグラフに描く物理を考慮して決める。</p>	mm	XLEN3  VXMIN VXMAX  VYMIN VYMAX																		

## Appendix C プログラムリスト

マイクロフィッシュで収録した。巻末に添付する。

## Appendix D サンプル問題出力

マイクロフィッシュで収録した。巻末に添付する。